



# 熱交換器熱流設計

王啟川, PhD, 國立交通大學機械工程系特聘教授

Fellow ASME, Fellow ASHRAE

*e-Mail* : [ccwang@mail.nctu.edu.tw](mailto:ccwang@mail.nctu.edu.tw)

Tel: 03-571212 ext. 55105

Sep. 3, 2013



# 課程大綱：

1. 基本流力、熱傳 (1 hr)
2. 熱交換器型式
3. UA-LMTD-F設計法 (1.5 hr)
4.  $\epsilon$ -NTU 設計法 (1.5 hr)
5. 案例設計分析 (1 hr)
6. 學員實際演練 (1 hr)



# 課前說明

- 感謝工研院廖建順提供部分教材
- 主要教材來源：『熱交換設計』，王啟川，五南出版社，2007。
- 隨時提問
  - “There are no foolish questions and no man becomes a fool until he has stopped asking questions”
    - Charles P. Steinmetz quotes (Prussian Engineer and Inventor, 1865-1923)



基本熱流計算的目的：教導讀者正確的使用這熱流方程式觀念，一些較為深入的流力熱傳理論將不會在這個章節中敘述。

- 壓降的計算
- 基本熱傳
- 熱傳係數與總熱傳係數



## 壓降的計算

- 推動流體的元件 – 流體機械 (風扇、壓縮機、泵)  
需要外加的動力能源
  - 風扇- 提供較小的靜壓提升 – (氣體)
  - 壓縮機 - 提供較大的靜壓提升 – (氣體)
  - 泵 - 提供液體的靜壓提升

流體機械(以泵為例)的消耗功率如下：

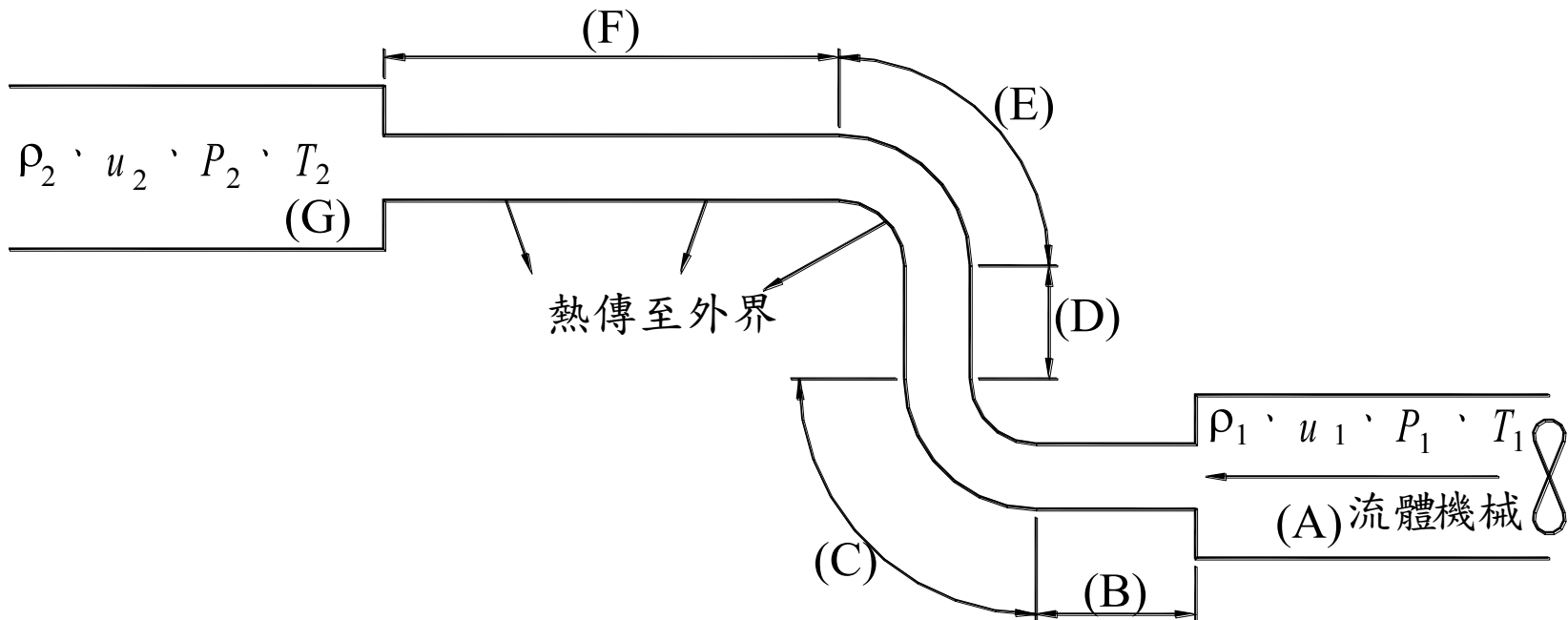
$$W_p = \frac{1}{\eta_p} \frac{V}{\rho} \Delta P$$

因此壓降的估算資料與流體機械的選擇息息相關

# 壓力變化與管路高度、長度與管徑的關係示意圖

● 由圖可知需要直管、突擴、驟縮 所造成壓降的計算，以本例而言：

$$\Delta P_{\text{總壓降}} = \Sigma \Delta P = \Delta P_A + \Delta P_B + \Delta P_C + \Delta P_D + \Delta P_E + \Delta P_F + \Delta P_G$$



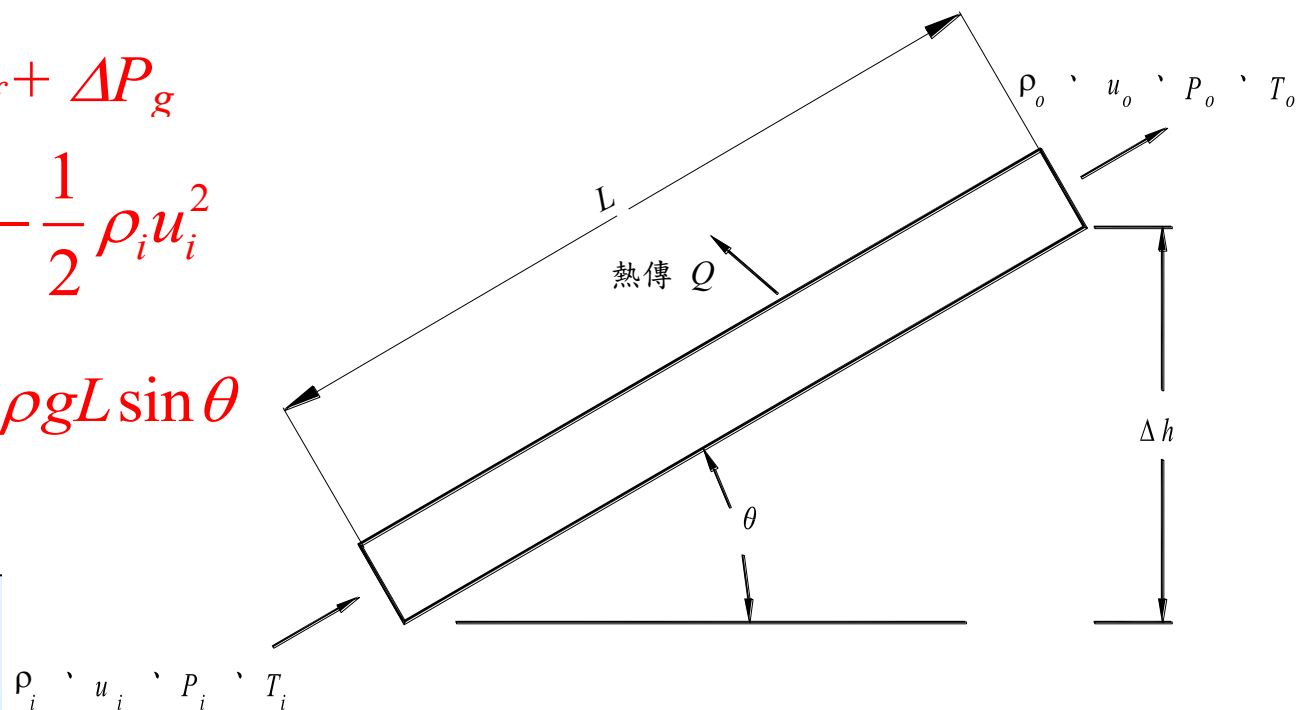
# 直管壓降的估算

- 其中  $\Delta P_a$  為速度變化造成的壓降， $\Delta P_f$  為工作流體於管內的摩擦壓降，而  $\Delta P_g$  為工作流體因高度變化所造成的壓降

$$\Delta P = \Delta P_a + \Delta P_f + \Delta P_g$$

$$\therefore \Delta P_a = \frac{1}{2} \rho_o u_o^2 - \frac{1}{2} \rho_i u_i^2$$

$$\therefore \Delta P_g = \rho g \Delta h = \rho g L \sin \theta$$



## 摩擦壓降的計算

- $\Delta P_f$  為摩擦造成的壓降，在一般管線中， $\Delta P_f$  所佔的比重約略可超過85%，因此，一般快速計算管線內的壓降，可以由  $\Delta P_f$  概算得知；  
可以想見摩擦壓降  $\Delta P_f$  應與流體的速度  $u$ 、流體的密度  $\rho$ 、流體的黏滯係數  $\mu$ 、管路直徑大小  $d_i$  與管路表面的粗糙度  $e$  有關

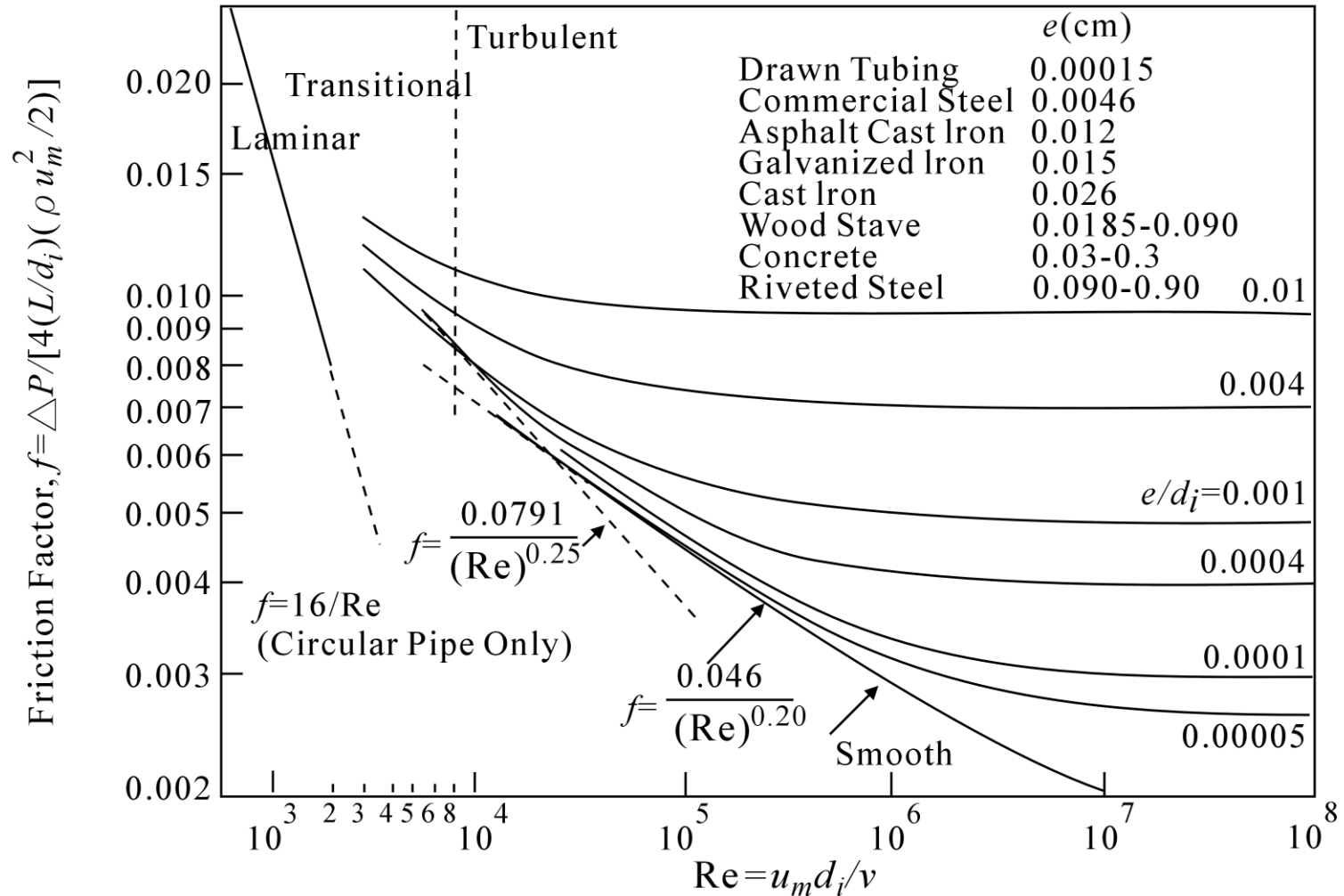
假設  $\Delta P_f$  與管路長度成正比  $\rightarrow \frac{\Delta P_f}{L} = F_{cn}(u, \rho, d_i, e, \mu)$

經過無因次化的分析後，可以得到一個新的無因次參數 - 摩擦係數  $f$ ，且摩擦係數  $f$  與  $Re$  等參數關係如下：

$$f \equiv \frac{\Delta P}{4 \left( \frac{L}{d_i} \right) \left( \frac{\rho u^2}{2} \right)} = F_{cn} \left( \frac{\rho u d_i}{\mu}, \frac{e}{d_i} \right) = F_{cn} \left( Re, \frac{e}{d_i} \right)$$



# 單相流動管內壓損的估算-Moody Diagram





例：如下圖所示，水量30 L/min流進一長為10公尺的水平直管中，假設水入口溫度為 $T = 20^\circ\text{C}$ ，試估算通過管路的壓降：

在計算過程中，建議讀者養成使用標準SI單位的習慣，如此可避免單位換算的錯誤(尤其是無因次參數，一定要用標準單位)

$$d_i = 2 \text{ cm} = 0.02 \text{ m}$$

$$L = 10 \text{ m}$$

$$\dot{Q} = 30 \text{ L/min} = \frac{30 \text{ L}}{60 \text{ s}} = 0.5 \text{ L/s} = 0.0005 \text{ m}^3/\text{s}$$

$$\text{管內的截面積 } A_c = \frac{\pi}{4} d_i^2 = \frac{\pi}{4} (0.02)^2 = 0.000314 \text{ m}^2$$

$$\therefore \dot{Q} = A_c \cdot u$$

$$0.0005 \text{ m}^3/\text{s} = (0.000314 \text{ m}^2) \times u$$

$$\therefore u = 1.59 \text{ m/s}$$

水在 $20^\circ\text{C}$ 的黏度、密度如下(見附錄資料)

$$\mu = 1002 \times 10^{-6} \text{ N}\cdot\text{s}/\text{m}^2$$

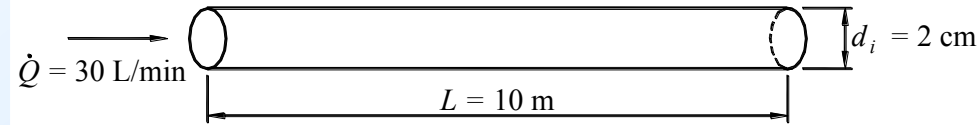
$$\rho = 998.2 \text{ kg}/\text{m}^3$$

∴ 雷諾數

$$\text{Re} = \frac{998.2 \times 1.59 \times 0.02}{1002 \times 10^{-6}} = 31680$$

由圖1-3來估算  $f$  值，由於本例為平滑管且 $\text{Re} = 31680$ ，故可估出  $f$  約為0.0058

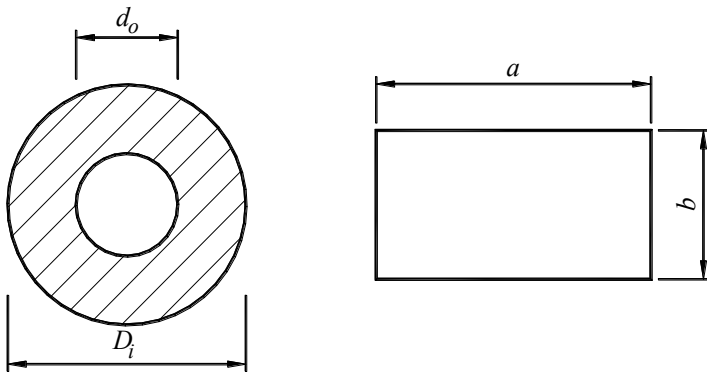
$$\therefore \Delta P = \frac{4L}{d_i} \cdot f \cdot \frac{1}{2} \rho u^2 = \frac{4 \times 10}{0.02} \times 0.0058 \times \frac{1}{2} \times 998.2 \times (1.59)^2 = 14636.6 \text{ Pa}$$



# 如果不是圓管...

● 可使用水力直徑(類似等效直徑)，水力直徑 (hydraulic diameter)的定義為：

$$D_h = \frac{4A_c}{P} = \frac{4(\text{淨截面面積})}{\text{截面周長}}$$

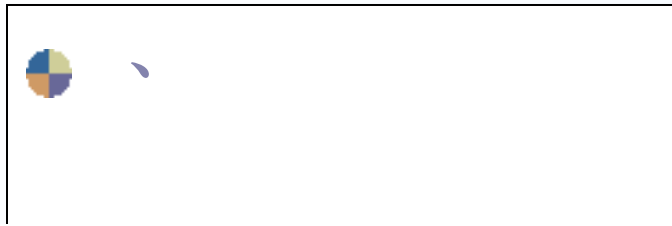


$$D_{h, \text{圓環}} = \frac{4 \times \left( \frac{\pi}{4} D_i^2 - \frac{\pi}{4} d_o^2 \right)}{\pi D_i + \pi d_o} = D_i - d_o$$

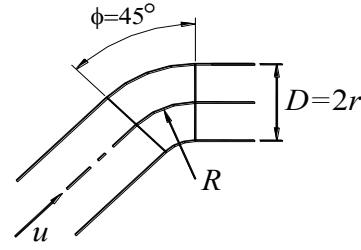
$$D_{h, \text{方管}} = \frac{4 \times (a \times b)}{2a + 2b} = \frac{2ab}{a + b}$$



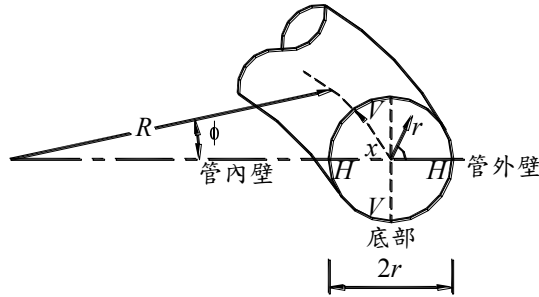
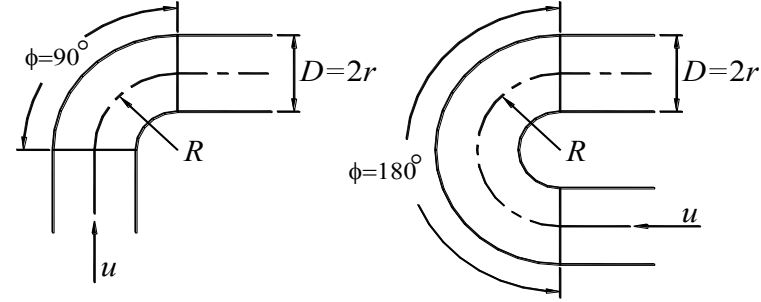
# 螺旋管、渦管與彎管



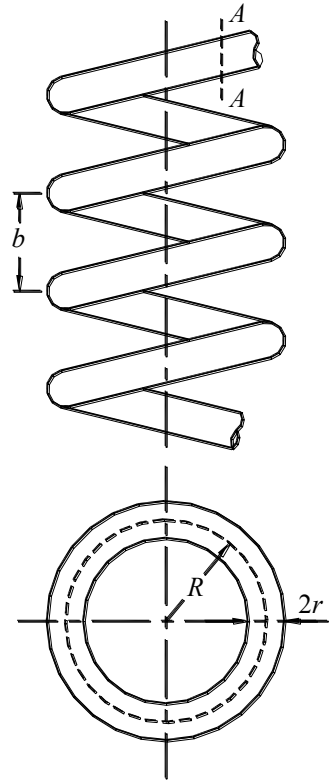
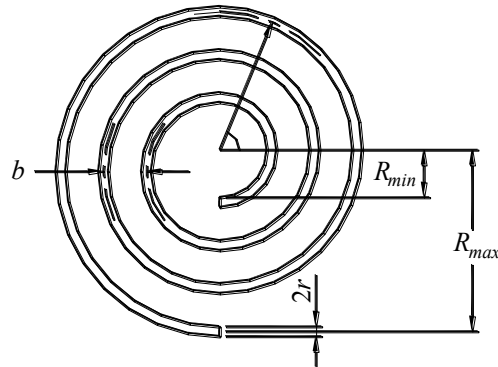
(a) 螺旋管



(b) 渦管

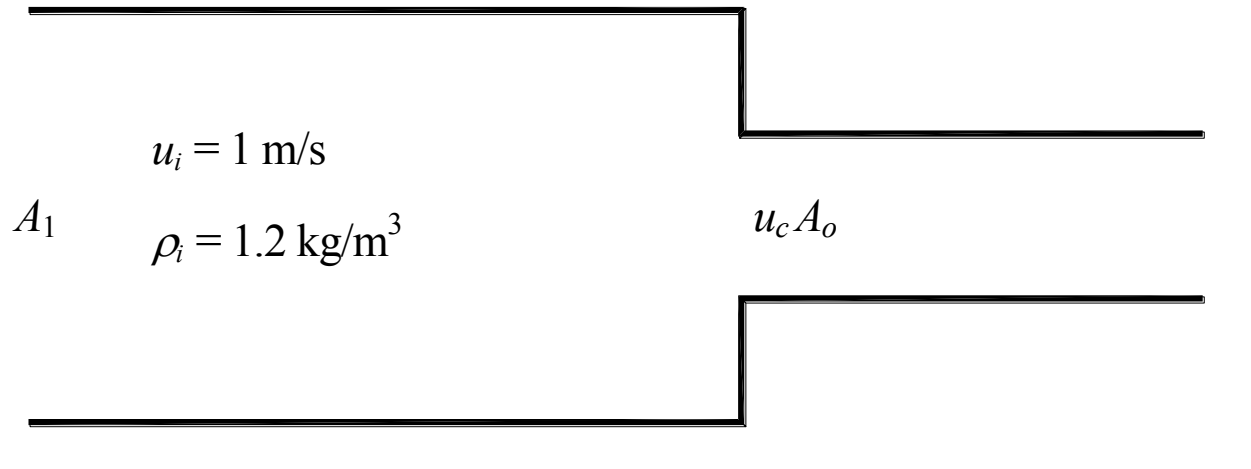


Section AA  
HH-Horizontal plane  
VV-Vertical plane





例1-1-1：如下圖所示， $A_1/A_0=4$ ，空氣之進入驟縮段前的風速為1 m/s，空氣的密度為 $1.2 \text{ kg/m}^3$ ，通過驟縮段後產生的壓降為何？



### 1-1-1 解：

驟縮後的工作流體速度會增加，由於流體為不可壓縮，所以：

$$\frac{A_1}{A_0} = \frac{u_c}{u_i}$$

$$A_1/A_0 = 4$$

所以  $u_c = 4 \text{ m/s}$

$C_o$ 由表1-1可知為0.41

$$\text{故 } \Delta P_i = 0.41 \times \frac{1.2 \times 4^2}{2} = 3.9 \text{ Pa}$$



# 多片組合彎管 (常用於風管)

表1-4 90°多片組合型式之轉彎之全壓損失係數的  $C_o$  (適用圓管)

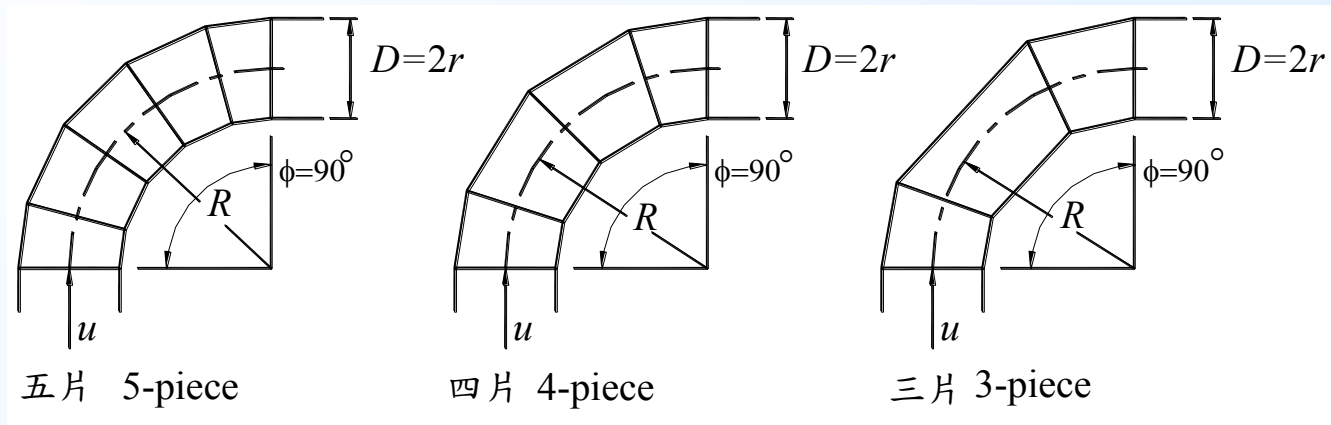


圖1-7 多片組合型式之彎管

彎頭組成片數	$R/D$				
	0.5	0.75	1.0	1.5	2.0
5	--	0.46	0.33	0.24	0.19
4	--	0.50	0.37	0.27	0.24
3	0.90	0.54	0.42	0.34	0.33



# 擴張管的壓降

表 1-3 擴張段的全壓損失係數的  $C_o$  (適用圓管)

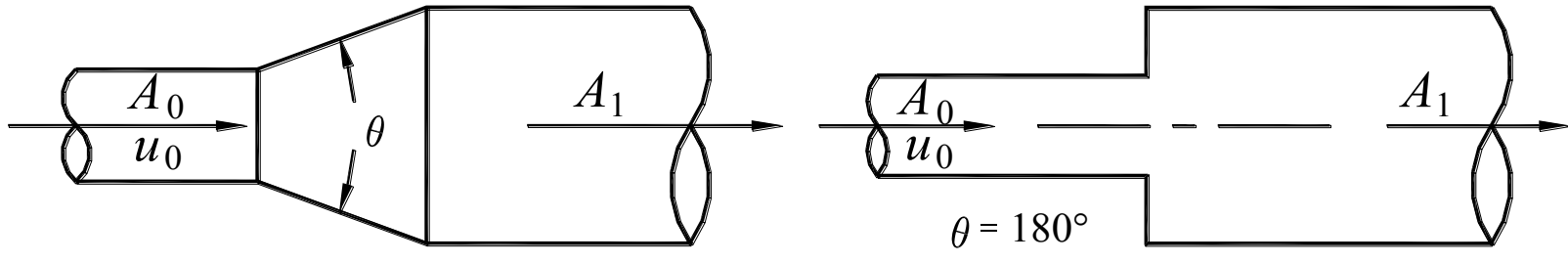


圖 1-6 擴張段示意圖

角度  $\theta$ , 度

$A_1/A_0$	8	12	16	20	30	45	60	90	120	180
2	0.11	0.11	0.14	0.19	0.32	0.33	0.33	0.32	0.31	0.30
4	0.15	0.17	0.23	0.30	0.46	0.61	0.68	0.64	0.63	0.62
6	0.17	0.20	0.27	0.33	0.48	0.66	0.77	0.74	0.73	0.72
10	0.19	0.23	0.29	0.38	0.59	0.76	0.80	0.83	0.84	0.83
16	0.19	0.22	0.31	0.38	0.60	0.84	0.88	0.88	0.88	0.88

資料參考來源：ASHRAE Handbook，Fundamentals，1997，32章

# 常用單相管內壓損計算方程式

表 1-2 紊流流動下等溫摩擦係數方程式

資料來源	方程式 <sup>a</sup>	適用範圍
(參考 Kakaç and Liu 1998一書)		
Blasius	$f = 0.0791 \text{Re}^{-0.25}$	$3 \times 10^3 < \text{Re} < 10^5$
Drew, Koo, and McAdams	$f = 0.00140 + 0.125 \text{Re}^{-0.32}$	$3 \times 10^3 < \text{Re} < 5 \times 10^6$
Karman-Nikuradse	$\frac{1}{\sqrt{f}} = 1.737 \ln(\text{Re} \sqrt{f}) - 0.4$ 或 $\frac{1}{\sqrt{f}} = 4 \log_{10}(\text{Re} \sqrt{f}) - 0.4$ 可近似為： $f = 0.46 \text{Re}^{-0.2}$	$3 \times 10^3 < \text{Re} < 3 \times 10^6$
Filonenko	$f = (3.64 \log_{10} \text{Re} - 3.28)^{-2}$	$3 \times 10^4 < \text{Re} < 10^6$

<sup>a</sup> 計算時以流體的混和溫度為基準 (bulk temperature)

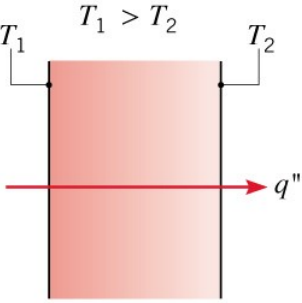
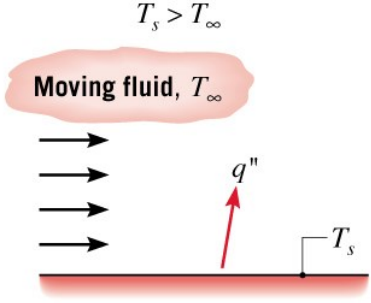
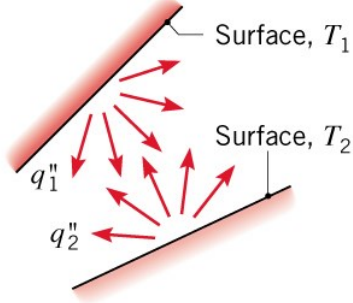


# 基本熱傳學簡介

- 能量可以不同型態貯存，也可以藉由**熱傳遞**和**做功方式**來進行彼此的交換。
- 一當存在有溫度梯度(**temperature gradient**)時，能量以熱能的方式來傳遞；當有作用力加在物體上，且使物體有沿著作用力方向位移時，則能量以功的方式進行傳遞。
- 當系統和其外界周圍存在有溫度差異時，就會有發生能量的交換，此能量即就是熱量(**heat**)或稱為熱能(**thermal energy**)。熱傳遞模式為**熱傳導 (heat conduction)**、**熱對流(heat convection)**和**熱輻射(thermal radiation)**
- 一**熱傳導**為固體或靜止流體分子的熱擴散行為，**熱對流**則以流體分子的熱擴散和運動行為來進行熱量的傳遞；至於**熱輻射**則不需要藉助任何介質做媒介，它是以電磁波方式進行熱量交換。
- ※熱傳量單位為焦耳(J)或仟焦耳(kJ)，每單位質量所具有的能量為kJ/kg
- **$1 \text{ Joule} = 1 \text{ N} \cdot \text{m}$**
- 單位時間所做的功，稱為功率(**power**)，單位為瓦特(Watts)。
- **$1 \text{ W} = \text{Joule}/\text{sec}$**



# 熱傳模式

Conduction through a solid or a stationary fluid	Convection from a surface to a moving fluid	Net radiation heat exchange between two surfaces
		

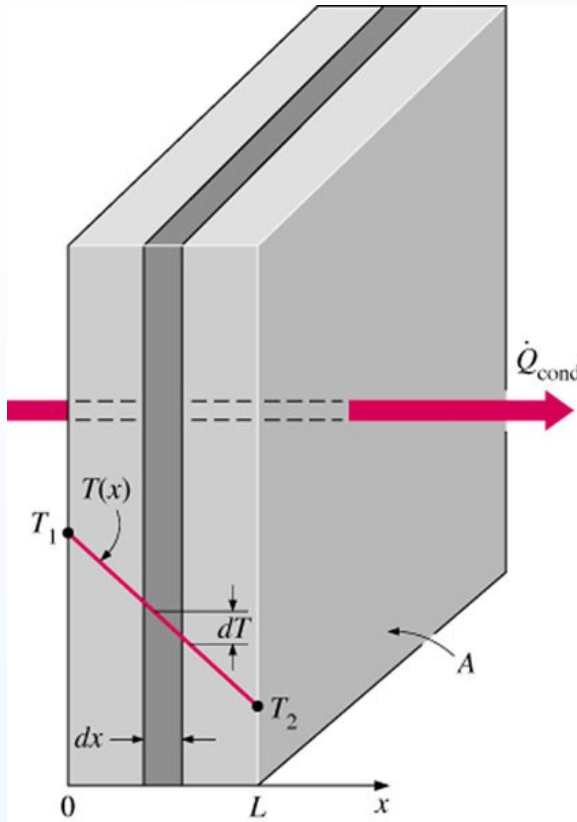
**Conduction:** Heat transfer in a solid or a stationary fluid (gas or liquid) due to the random motion of its constituent atoms, molecules and/or electrons.

**Convection:** Heat transfer due to the combined influence of bulk and random motion for fluid flow over a surface.

**Radiation:** Energy that is emitted by matter due to changes in the electron configurations of its atoms or molecules and is transported as electromagnetic waves (or photons).

- Conduction and convection require the presence of temperature variations in a material medium.
- Although radiation originates from matter, its transport does not require a material medium and occurs most efficiently in a vacuum.

# 熱傳導(heat conduction)

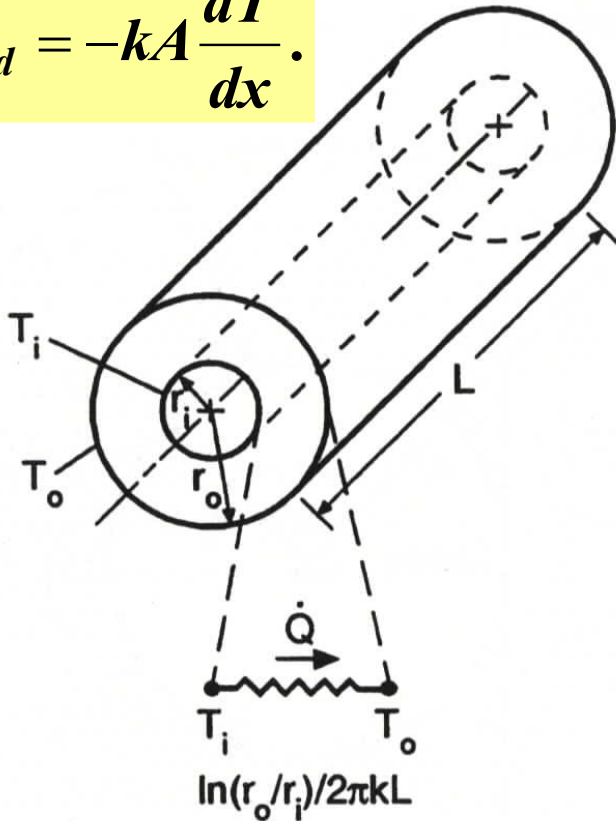


$$\dot{Q}_{\text{cond,wall}} = \frac{kA}{L} (T_1 - T_2)$$

$k$  = thermal conductivity (W/m.°C)

# 熱阻抗觀念(Thermal Resistance)

$$\dot{Q}_{cond} = -kA \frac{dT}{dx}$$

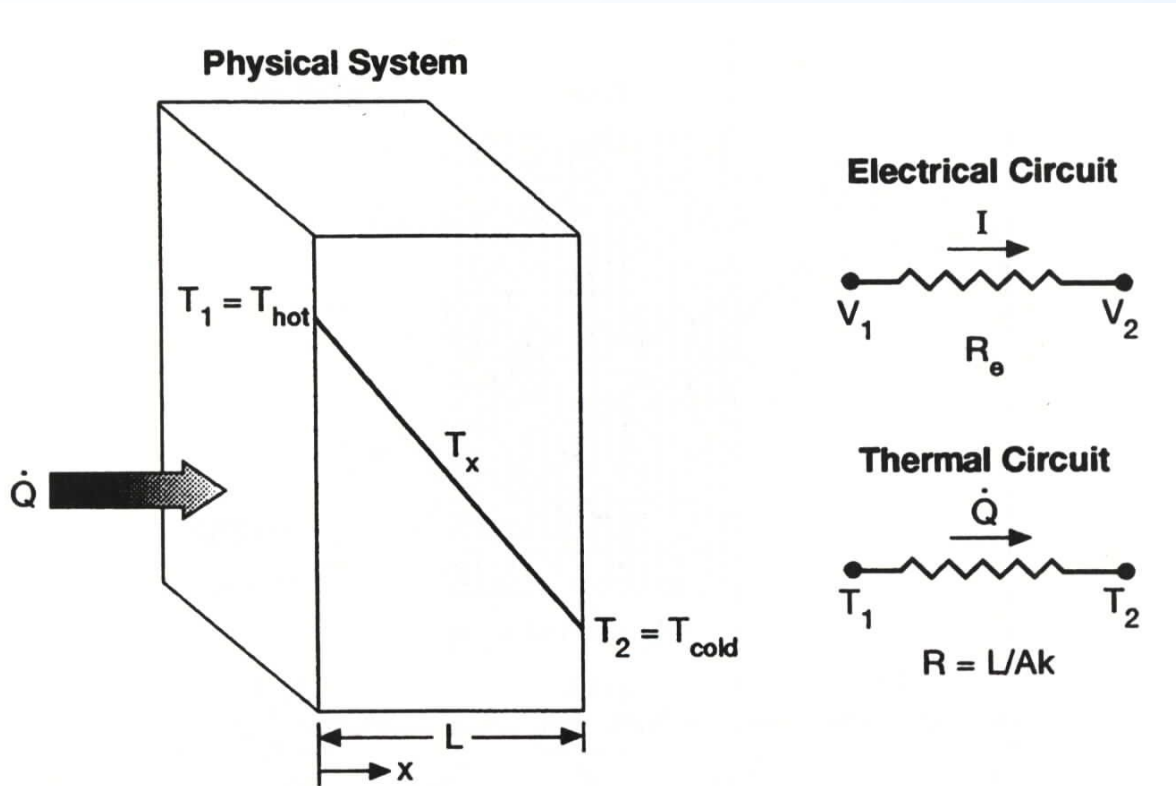


$$\dot{Q}_{cond} = -k(2\pi rL) \frac{dT}{dr}$$

$$\begin{aligned} \dot{Q}_{cond} \int_{r_i}^{r_o} \frac{dr}{r} &= -2\pi kL \int_{T_i}^{T_o} dT \\ \Rightarrow \dot{Q}_{cond} \ln\left(\frac{r_o}{r_i}\right) &= 2\pi kL(T_i - T_o) \\ \Rightarrow \dot{Q}_{cond} &= \frac{T_i - T_o}{\frac{\ln\left(\frac{r_o}{r_i}\right)}{2\pi kL}} \end{aligned}$$

$$R = \frac{\ln\left(\frac{r_o}{r_i}\right)}{2\pi kL}$$

# 熱阻抗觀念 (Thermal Resistance)



$$I = \frac{V}{R}$$

$$\dot{Q} = \frac{\Delta T}{\frac{L}{kA}}$$

管壁內熱傳導溫度變化示意圖

Fourier's Law  $\Rightarrow \dot{Q}_{cond} = -kA \int_{T_1,0}^{T_2,L} \frac{dT}{dx} = kA \frac{T_1 - T_2}{L}$ .

$$R_{thermal} = \frac{L}{kA}$$

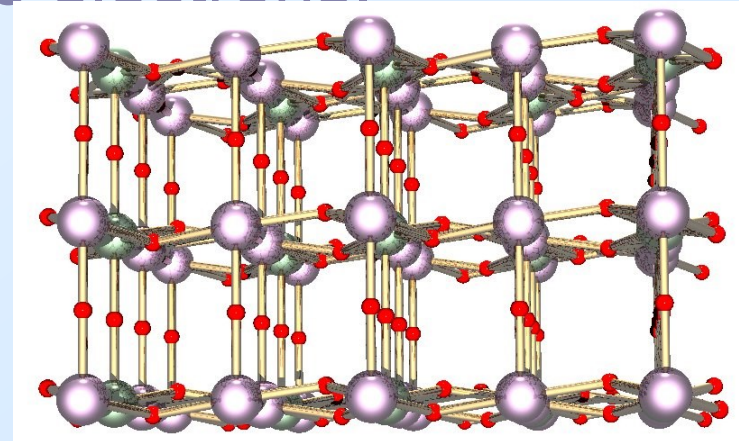


材質	熱傳導係數 k,(W/m.K)
銀, Silver (pure)	410
銅, Copper (pure)	385
鋁, Aluminum (pure)	202
鎳, Nickel (pure)	93
鐵, Iron (pure)	73
碳鋼, Carbon steel, 1%C	43
鉛, Lead (pure)	35
鎳鉻合金, Chrome-nickel steel (18%Cr, 8% Ni)	16.3



# More on Conduction

- Conduction is regarded as the energy transfer from more energetic molecules to less energetic molecules
  - Applicable to solid & fluid
- In solid, the energy transfer is in the form of lattice wave induced by atomic motion. In electrical conductor, an additional mechanism is via translational motion of free electrons.

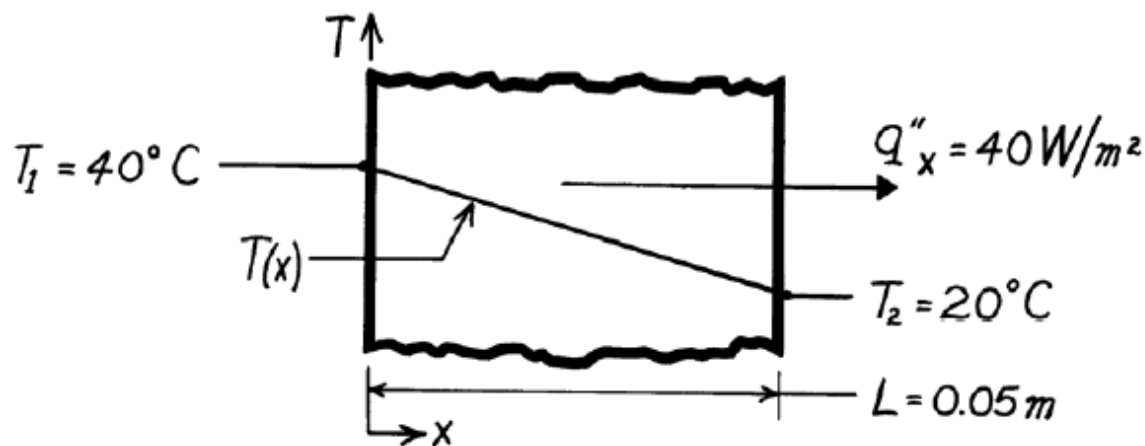




**KNOWN:** Heat flux and surface temperatures associated with a wood slab of prescribed thickness.

**FIND:** Thermal conductivity,  $k$ , of the wood.

**SCHEMATIC:**



**ASSUMPTIONS:** (1) One-dimensional conduction in the  $x$ -direction, (2) Steady-state conditions, (3) Constant properties.

**ANALYSIS:** Subject to the foregoing assumptions, the thermal conductivity may be determined from Fourier's law, Eq. 1.2. Rearranging,

$$k = q''_x \frac{L}{T_1 - T_2} = 40 \frac{\text{W}}{\text{m}^2} \frac{0.05\text{ m}}{(40 - 20)^\circ\text{C}}$$

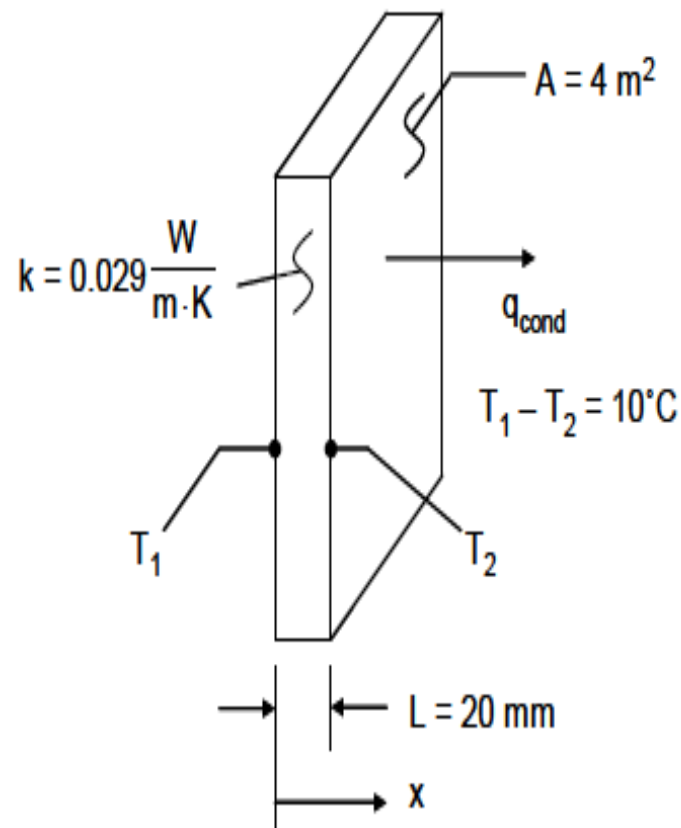
$$k = 0.10\text{ W/m}\cdot\text{K}.$$



**KNOWN:** Thermal conductivity, thickness and temperature difference across a sheet of rigid extruded insulation.

**FIND:** (a) The heat flux through a  $2\text{ m} \times 2\text{ m}$  sheet of the insulation, and (b) The heat rate through the sheet.

**SCHEMATIC:**





**ASSUMPTIONS:** (1) One-dimensional conduction in the x-direction, (2) Steady-state conditions, (3) Constant properties.

**ANALYSIS:** From Equation 1.2 the heat flux is

$$q_x'' = -k \frac{dT}{dx} = k \frac{T_1 - T_2}{L}$$

Solving,

$$q_x'' = 0.029 \frac{\text{W}}{\text{m} \cdot \text{K}} \times \frac{10 \text{ K}}{0.02 \text{ m}}$$

$$q_x'' = 14.5 \frac{\text{W}}{\text{m}^2} \quad <$$

The heat rate is

$$q_x = q_x'' \cdot A = 14.5 \frac{\text{W}}{\text{m}^2} \times 4 \text{ m}^2 = 58 \text{ W} \quad <$$

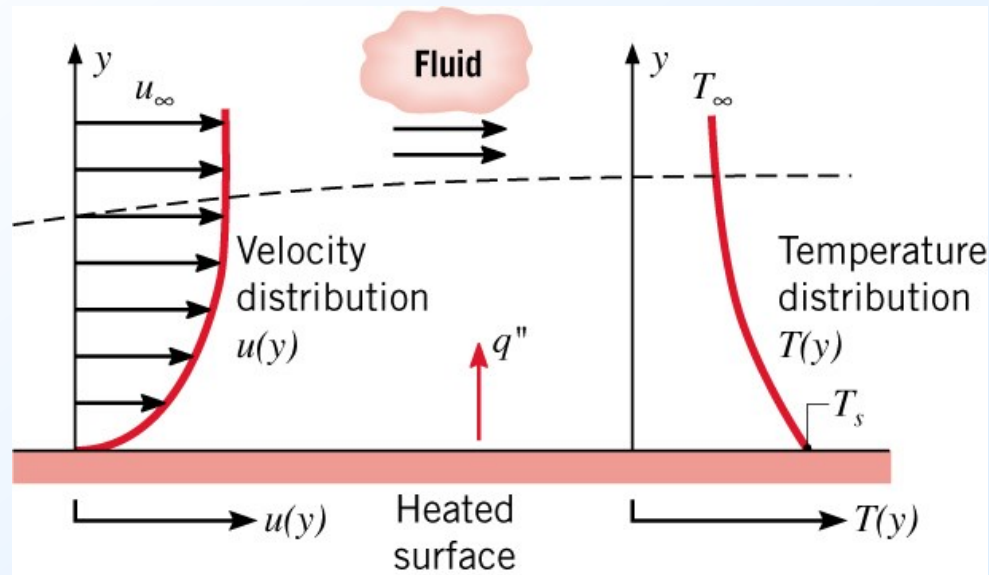
**COMMENTS:** (1) Be sure to keep in mind the important distinction between the heat flux ( $\text{W}/\text{m}^2$ ) and the heat rate (W). (2) The direction of heat flow is from hot to cold. (3) Note that a temperature *difference* may be expressed in kelvins or degrees Celsius.



# Heat Transfer Rates

## Convection

Relation of convection to flow over a surface and development of velocity and thermal boundary layers:



Newton's law of cooling:

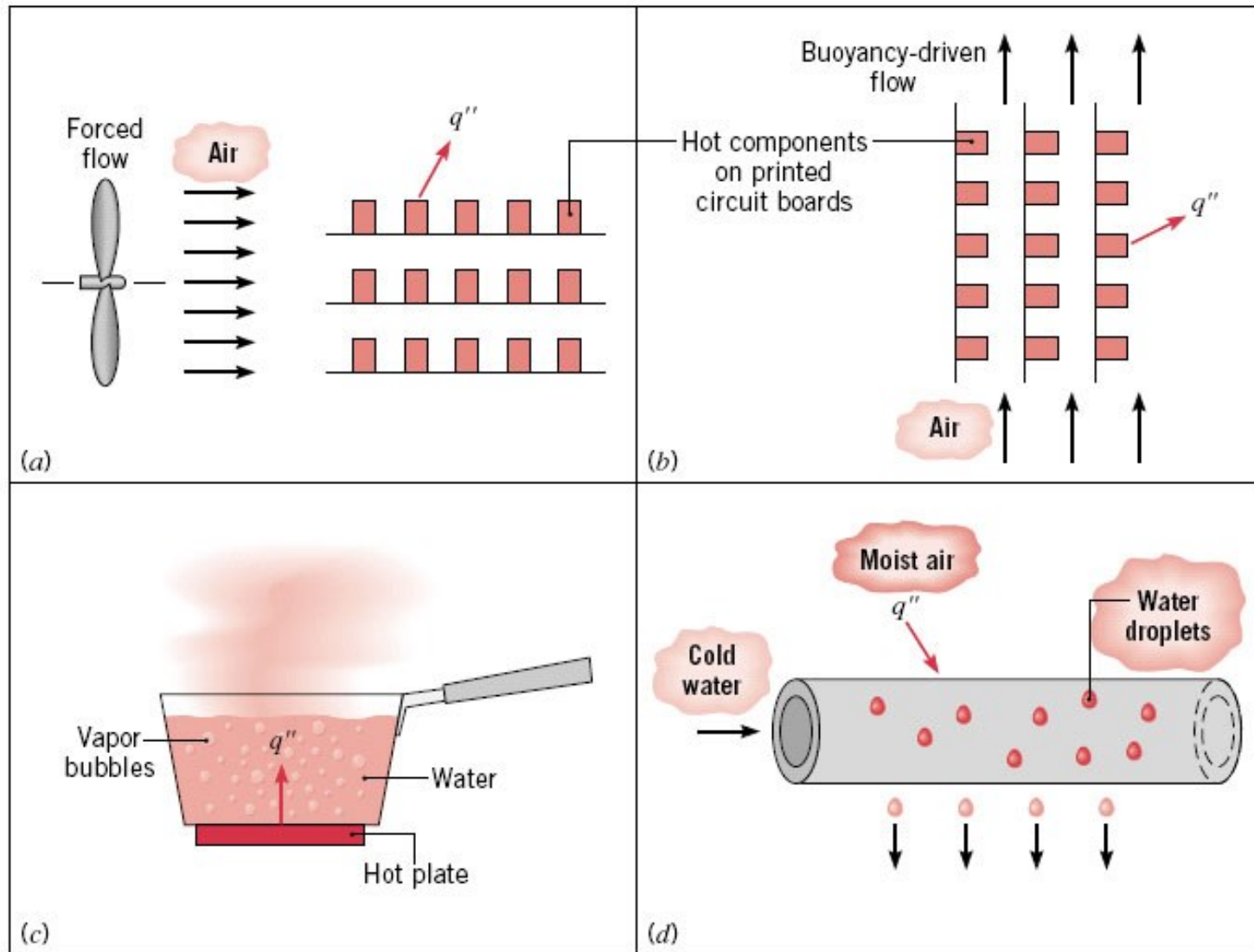
$$q'' = h(T_s - T_\infty)$$

$h$ : Convection heat transfer coefficient ( $\text{W/m}^2 \cdot \text{K}$ )



**TABLE 1.1** Typical values of the convection heat transfer coefficient

Process	$h$ (W/m <sup>2</sup> · K)
Free convection	
Gases	2–25
Liquids	50–1000
Forced convection	
Gases	25–250
Liquids	100–20,000
Convection with phase change	
Boiling or condensation	2500–100,000



**FIGURE 1.5** Convection heat transfer processes. (a) Forced convection. (b) Natural convection. (c) Boiling. (d) Condensation.

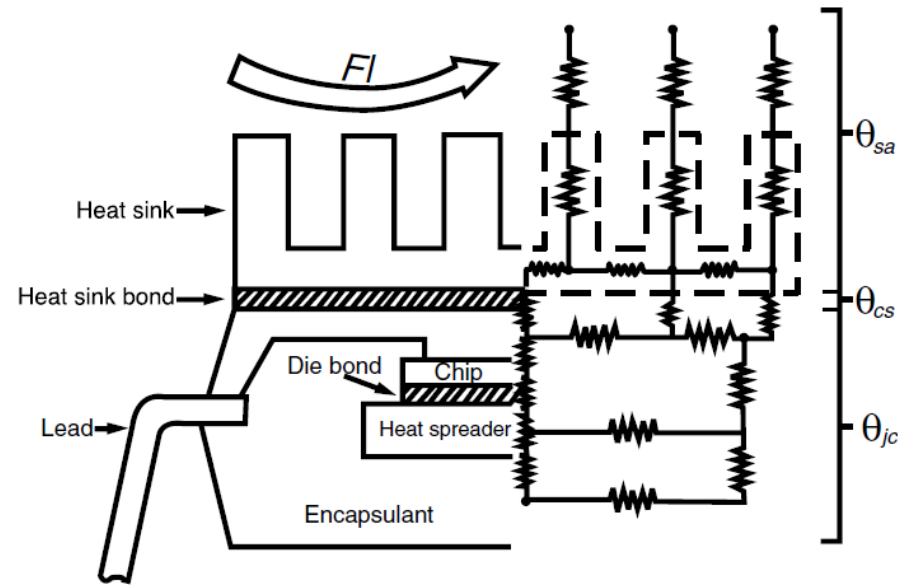


FIGURE 1.2 Primary thermal resistances in a chip/heat sink assembly.  $\theta_{jc}$  is resistance from the die junction to the device case.  $\theta_{cs}$  is resistance from the device case to the heat sink.  $\theta_{sa}$  is resistance from the heat sink to the ambient air. (Adapted from Kraus, A. D. and Bar-Cohen, A., *Design and Analysis of Heat Sinks*, John Wiley & Sons, New York, 1995. With permission.)

**FIGURE 1.11**

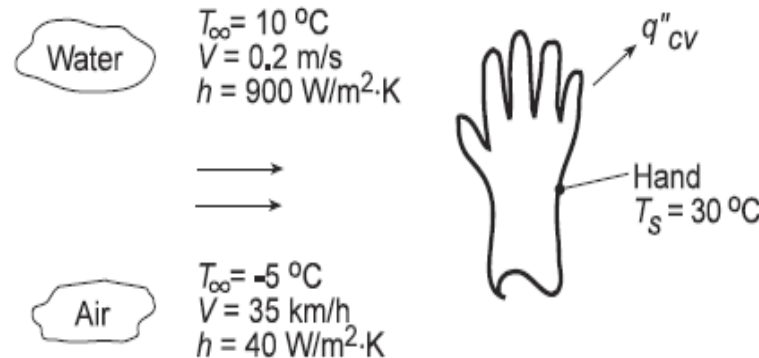
A finned heat sink and fan assembly (left) and microprocessor (right).



**KNOWN:** Hand experiencing convection heat transfer with moving air and water.

**FIND:** Determine which condition feels colder. Contrast these results with a heat loss of  $30 \text{ W/m}^2$  under normal room conditions.

**SCHEMATIC:**



**ASSUMPTIONS:** (1) Temperature is uniform over the hand's surface, (2) Convection coefficient is uniform over the hand, and (3) Negligible radiation exchange between hand and surroundings in the case of air flow.

**ANALYSIS:** The hand will feel colder for the condition which results in the larger heat loss. The heat loss can be determined from Newton's law of cooling, Eq. 1.3a, written as

$$q'' = h(T_s - T_{\infty})$$

For the air stream:

$$q''_{\text{air}} = 40 \text{ W/m}^2 \cdot \text{K} [30 - (-5)] \text{ K} = 1,400 \text{ W/m}^2 \quad <$$

For the water stream:

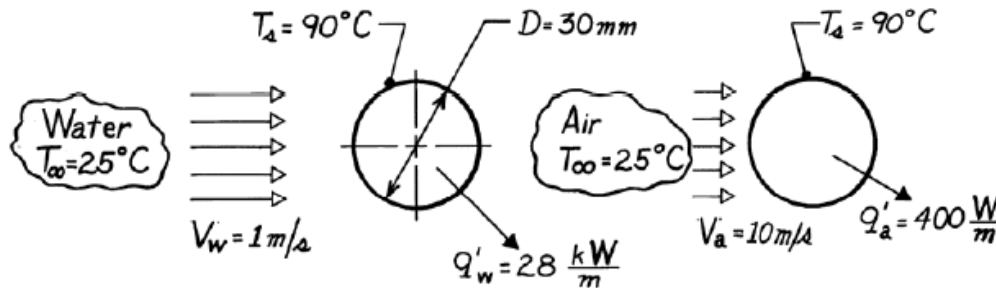
$$q''_{\text{water}} = 900 \text{ W/m}^2 \cdot \text{K} (30 - 10) \text{ K} = 18,000 \text{ W/m}^2 \quad <$$



**KNOWN:** Long, 30mm-diameter cylinder with embedded electrical heater; power required to maintain a specified surface temperature for water and air flows.

**FIND:** Convection coefficients for the water and air flow convection processes,  $h_w$  and  $h_a$ , respectively.

**SCHEMATIC:**



**ASSUMPTIONS:** (1) Flow is cross-wise over cylinder which is very long in the direction normal to flow.

**ANALYSIS:** The convection heat rate from the cylinder per unit length of the cylinder has the form

$$q' = h(\pi D) (T_s - T_\infty)$$

and solving for the heat transfer convection coefficient, find

$$h = \frac{q'}{\pi D (T_s - T_\infty)}$$

Substituting numerical values for the water and air situations:

$$\text{Water} \quad h_w = \frac{28 \times 10^3 \text{ W/m}}{\pi \times 0.030\text{m} (90-25)^\circ \text{C}} = 4,570 \text{ W/m}^2 \cdot \text{K} <$$

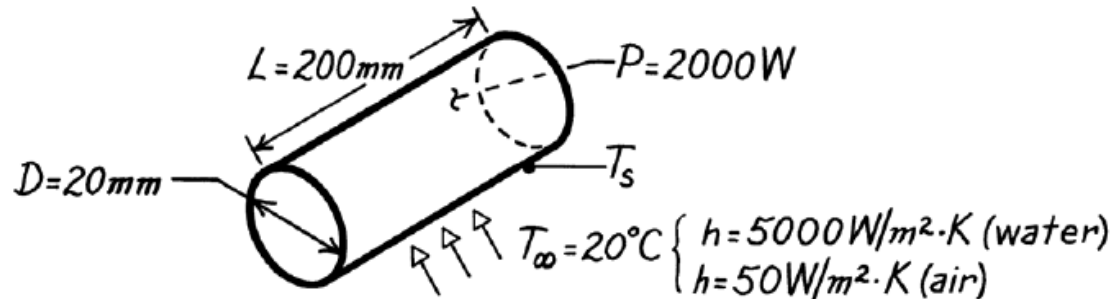
$$\text{Air} \quad h_a = \frac{400 \text{ W/m}}{\pi \times 0.030\text{m} (90-25)^\circ \text{C}} = 65 \text{ W/m}^2 \cdot \text{K} <$$



**KNOWN:** Dimensions of a cartridge heater. Heater power. Convection coefficients in air and water at a prescribed temperature.

**FIND:** Heater surface temperatures in water and air.

**SCHEMATIC:**



**ASSUMPTIONS:** (1) Steady-state conditions, (2) All of the electrical power is transferred to the fluid by convection, (3) Negligible heat transfer from ends.

**ANALYSIS:** With  $P = q_{\text{conv}}$ , Newton's law of cooling yields

$$P = hA(T_s - T_\infty) = h\pi DL(T_s - T_\infty)$$

$$T_s = T_\infty + \frac{P}{h\pi DL}$$

In water,

$$T_s = 20^\circ \text{C} + \frac{2000 \text{ W}}{5000 \text{ W/m}^2 \cdot \text{K} \times \pi \times 0.02 \text{ m} \times 0.200 \text{ m}}$$

$$T_s = 20^\circ \text{C} + 31.8^\circ \text{C} = 51.8^\circ \text{C} \quad <$$

In air,

$$T_s = 20^\circ \text{C} + \frac{2000 \text{ W}}{50 \text{ W/m}^2 \cdot \text{K} \times \pi \times 0.02 \text{ m} \times 0.200 \text{ m}}$$

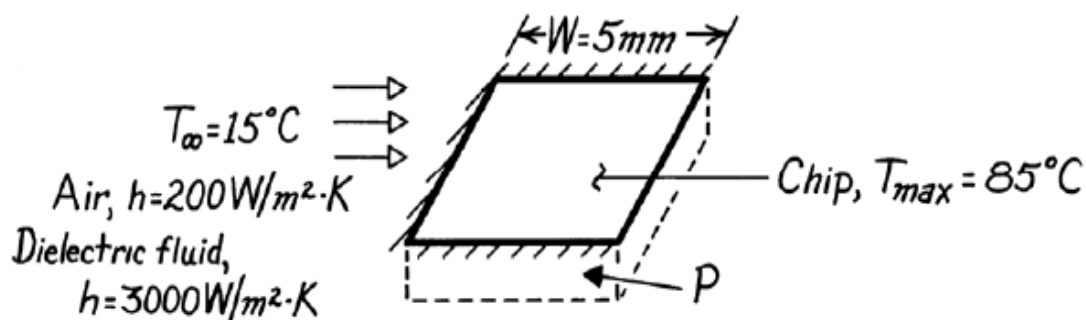
$$T_s = 20^\circ \text{C} + 3183^\circ \text{C} = 3203^\circ \text{C} \quad <$$



**KNOWN:** Chip width and maximum allowable temperature. Coolant conditions.

**FIND:** Maximum allowable chip power for air and liquid coolants.

**SCHEMATIC:**



**ASSUMPTIONS:** (1) Steady-state conditions, (2) Negligible heat transfer from sides and bottom, (3) Chip is at a uniform temperature (isothermal), (4) Negligible heat transfer by radiation in air.

**ANALYSIS:** All of the electrical power dissipated in the chip is transferred by convection to the coolant. Hence,

$$P = q$$

and from Newton's law of cooling,

$$P = hA(T - T_{\infty}) = hW^2(T - T_{\infty}).$$

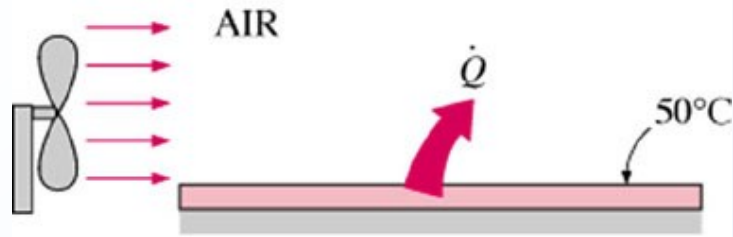
In *air*,

$$P_{\max} = 200 \text{ W/m}^2 \cdot \text{K} (0.005 \text{ m})^2 (85 - 15) \text{ }^{\circ}\text{C} = 0.35 \text{ W.} <$$

In the *dielectric liquid*

$$P_{\max} = 3000 \text{ W/m}^2 \cdot \text{K} (0.005 \text{ m})^2 (85 - 15) \text{ }^{\circ}\text{C} = 5.25 \text{ W.} <$$

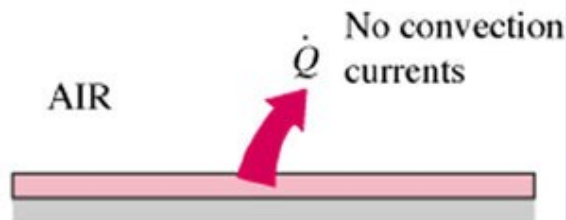
# 熱對流(heat convection)



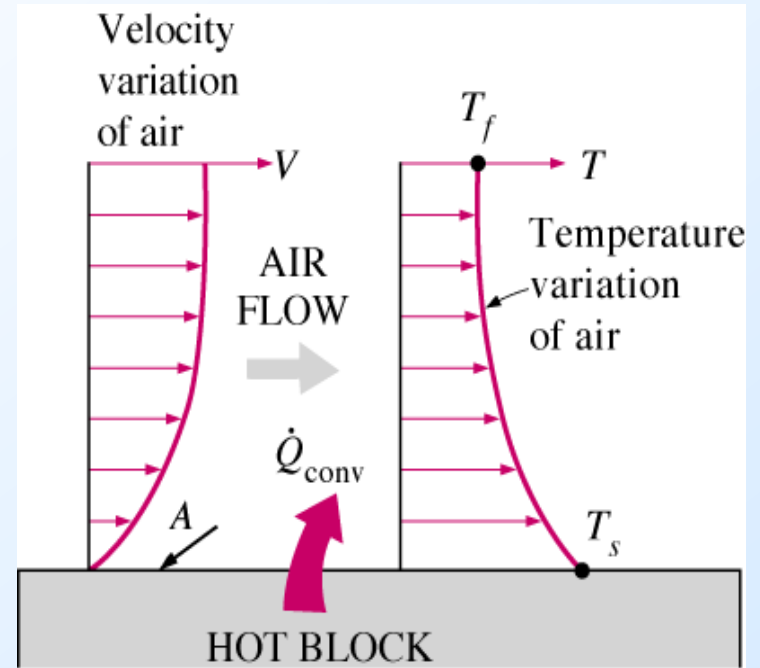
(a) Forced convection



(b) Free convection



(c) Conduction

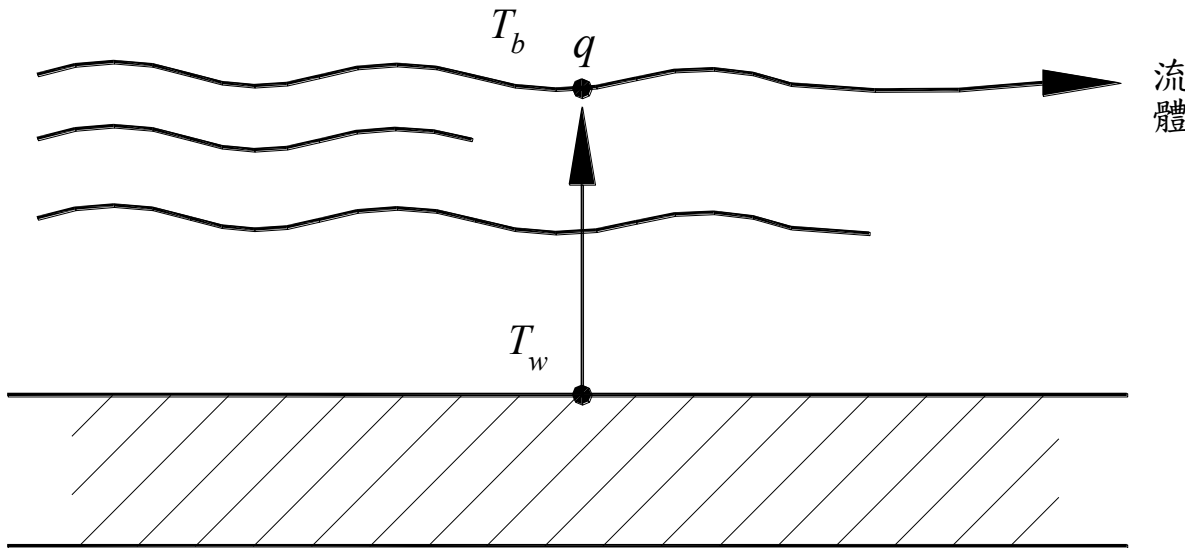


$$\dot{Q}_{\text{conv}} = hA(T_s - T_f)$$

$h$  = heat transfer coefficient ( $\text{W}/\text{m}^2 \cdot ^\circ\text{C}$ )



# 熱阻抗觀念 (Thermal Resistance)



熱對流熱傳示意圖

Newton's Law of Cooling  $\Rightarrow$

$$\dot{Q}_{convection} = hA(T_w - T_b).$$

$$\dot{Q} = \frac{\Delta T}{\frac{1}{hA}}$$



$$R_{thermal} = \frac{1}{hA}$$



## 熱交換器原理介紹(Cont.)

一些常見的流體熱傳係數(heat transfer coefficient)

fluid	state	$h$ , W/m <sup>2</sup> .K
Gas	1 bar	80 - 125
Gas	10 bar	250 - 400
Water	Single phase	5000 - 7500
Water	Boiling < 5 bar	3000 - 10000
Steam	Condensation 1 Bar	10000 - 15000



## 熱交換器原理介紹(Cont.)

### 一些常見的流體熱傳係數(heat transfer coefficient)

fluid	$h$ , $W/m^2.K$
Air (Natural Convection)	5-25
Air/ superheated steam (Forced Convection)	20-300
Oil (Forced Convection)	60-1800
Water (Forced Convection)	300-6000
Water (Boiling)	3000-60000
Steam (Condensing)	6000-120,000



# 常用單相管內熱傳計算方程式 (直管)

表1-7 單相常用熱傳方程式

編號	方程式	適用範圍說明
1.	$Nu = 0.023 Re^{0.8} Pr^{0.4}$ (被加熱的流體) $Nu = 0.023 Re^{0.8} Pr^{0.3}$ (被冷卻的流體)	$Re > 10^4$ , Dittus-Boelter 方程式
2.	$Nu = \frac{\left(\frac{f}{2}\right)(Re-1000)Pr}{1.07 + 12.7\sqrt{\frac{f}{2}}(Pr^{2/3}-1)}$ $f = (1.58 \ln Re - 3.28)^{-2}$	$2300 < Re < 10^5$ Gnielinski 方程式
3.	$Nu = 0.022 Re^{0.8} Pr^{0.5}$	適用氣體且 $Re > 5000$



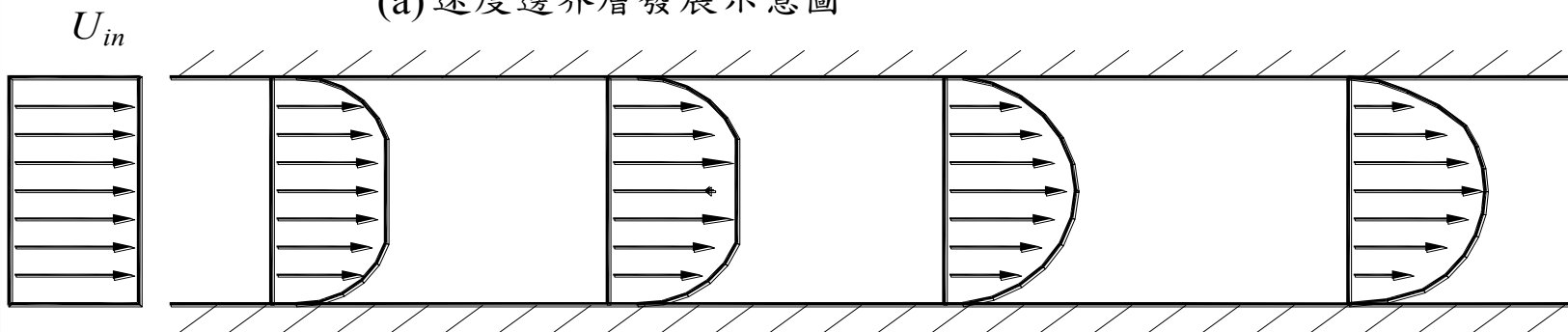
# 熱傳與壓降方程式選用注意事項

- 單位 (無因次方程式或有因次方程式)
- 特徵長度
- 邊界條件 (尤其是層流流動)
- 適用範圍
  - 溫度、壓力、工作流體
- 溫度效應的影響
- 流動條件 (入口效應)
- 幾何形狀變動

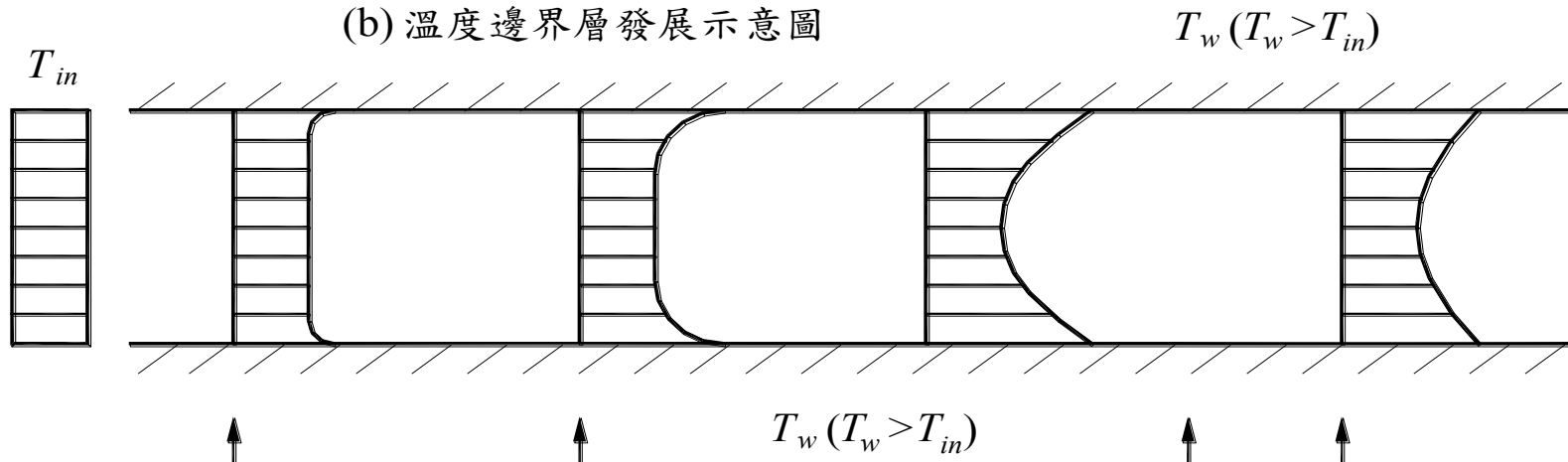


# 入口效應

(a) 速度邊界層發展示意圖

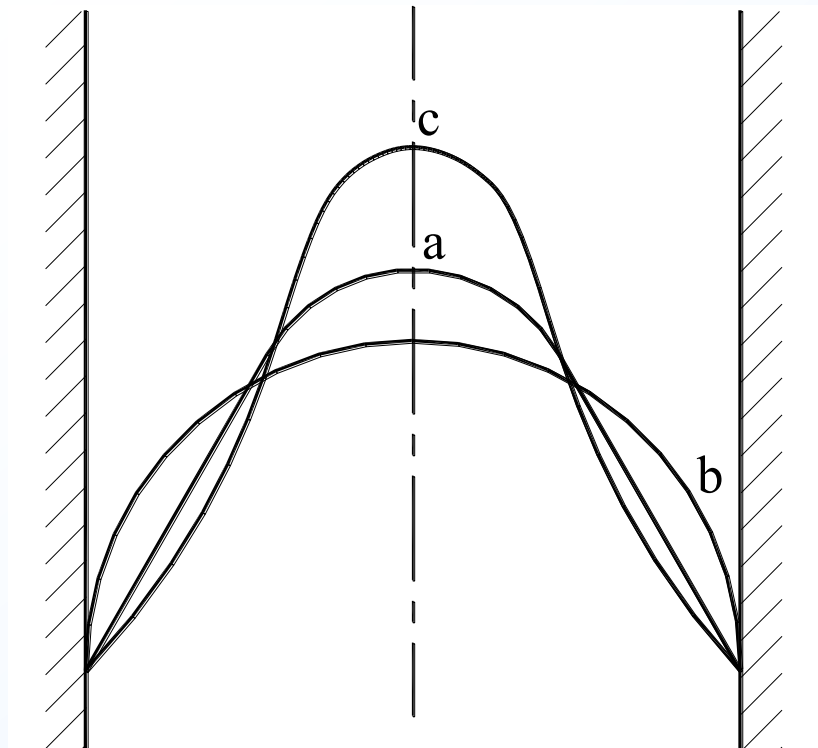


(b) 溫度邊界層發展示意圖





# 溫度效應



等溫條件下的流速分布為曲線 a；當溫度上升時，流體黏性變小，所以靠近壁面的速度會變快(曲線 b)，相反的，若流體將熱傳至外界降溫時，靠近壁面的流體速度會下降(曲線 c)，但中心的速度反而會變快。流體速度分布的變化當然也會影響熱傳係數

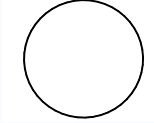
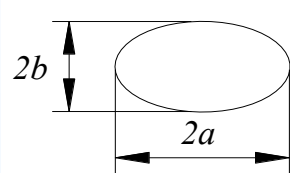
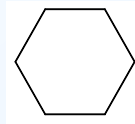
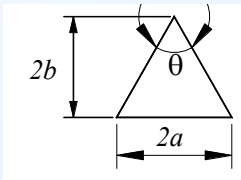
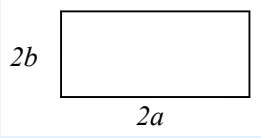
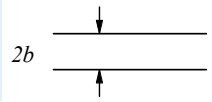
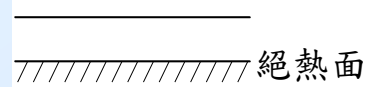
因此若要考慮溫度效應的影響，常用的方程式乘上一個修正係數

$$\left(\frac{\mu_b}{\mu_w}\right)^{0.14}$$

其中  $\mu_b$  為流體中心溫度的黏度(viscosity)  $\mu_w$  為壁面溫度下的流體黏度

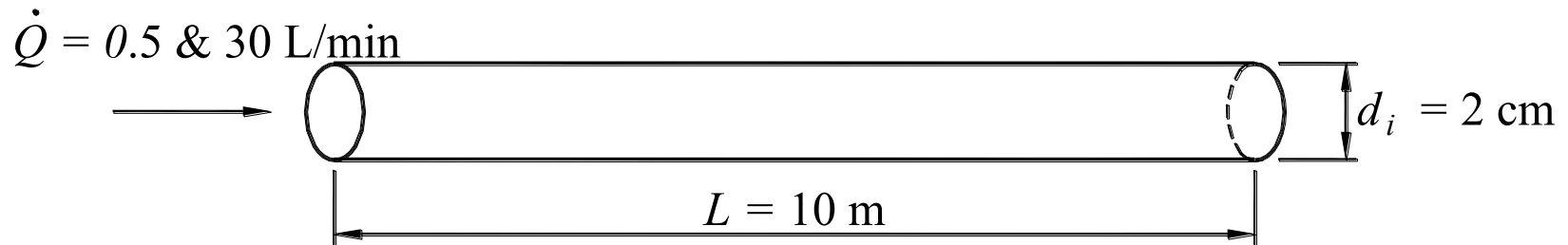


# 幾何形狀 變化的影 響

Geometry ( $L/D_h > 100$ , 完全發展)	$Nu_T$	$Nu_{H1}$	$Nu_{H2}$	$f \cdot Re$	
	3.657	4.364	4.364	16.00	
	$2b/2a = 0.5$	3.742	4.558	3.802	16.83
	$2b/2a = 0.25$	3.792	4.88	2.333	18.24
	$2b/2a = 0.125$	3.725	5.085	0.9433	19.146
	3.34	4.002	3.682	16.06	
	$\theta = 120^\circ, \frac{2b}{2a} = 0.289$	2.0	2.68	0.62	12.744
	$\theta = 90^\circ, \frac{2b}{2a} = \frac{1}{2}$	2.34	2.982	1.34	13.153
	$\theta = 60^\circ, \frac{2b}{2a} = \frac{\sqrt{3}}{2}$	2.47	3.111	1.892	13.333
	$\theta = 30^\circ, \frac{2b}{2a} = 1.866$	2.26	2.91	0.851	13.065
	$\frac{2b}{2a} = 1$	2.976	3.608	3.091	14.23
	$\frac{2b}{2a} = \frac{1}{2}$	3.391	4.123	3.017	15.55
	$\frac{2b}{2a} = \frac{1}{4}$	3.66	5.099	4.35	18.7
	$\frac{2b}{2a} = \frac{1}{8}$	5.597	6.490	2.904	20.59
	$\frac{2b}{2a} = 0$	7.541	8.235	8.235	24.0
	$\frac{b}{a} = 0$	4.861	5.385	--	24.0

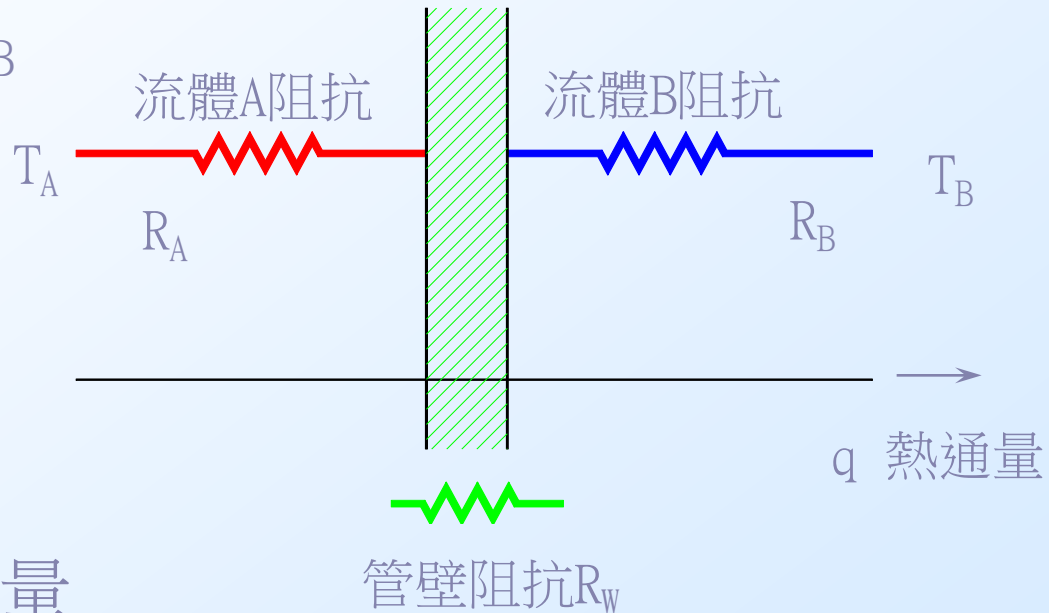
Question 1：如下圖所示，水量 $0.5 \text{ L/min}$ 流進一長為 $10$ 公尺的水平直管中，假設水入口溫度為 $T = 20^\circ\text{C}$ ，試估算通過管路的熱傳係數？

Question 2：如果水量為 $30 \text{ L/min}$ ，試估算通過管路的熱傳係數？



# 基本熱流介紹-熱交換原理

總阻抗： $R=R_A+R_W+R_B$



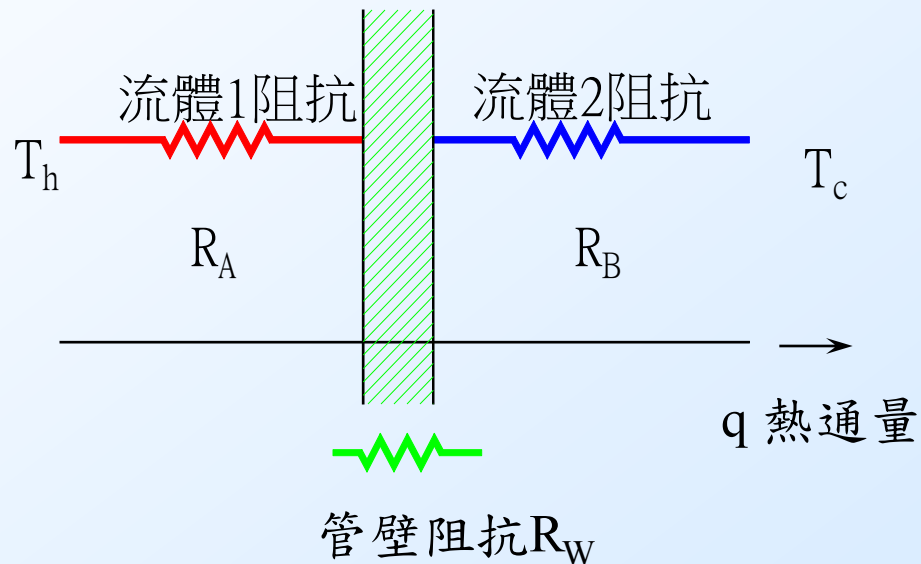
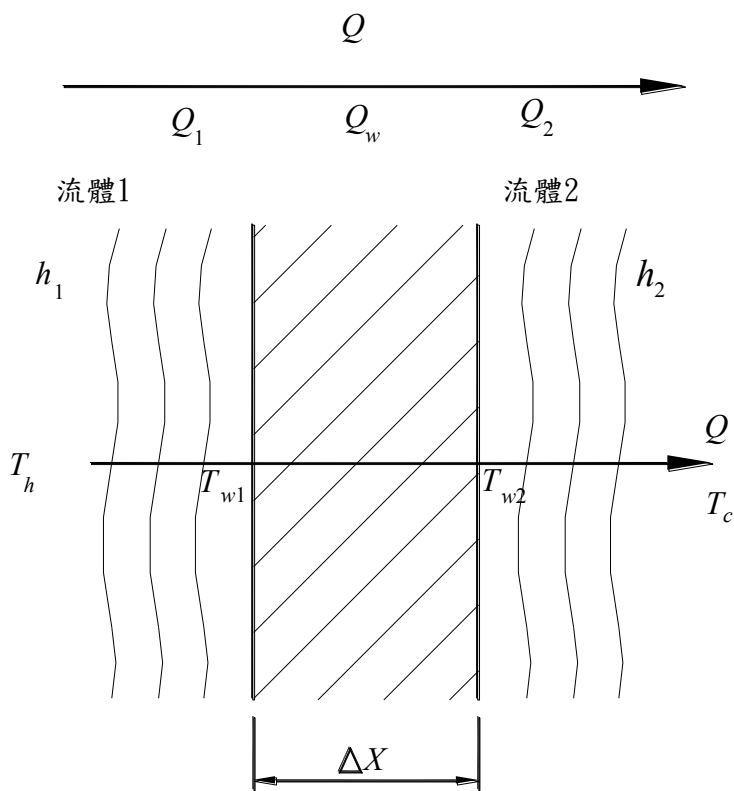
熱通量  $q$

$$q=(T_A-T_B)/R$$

$Q=q \cdot A \Rightarrow$  總熱傳量

因此若能確切掌握流體阻抗，即能精確設計熱交換器。

# 熱交換原理介紹(Cont.)



總阻抗： $R=R_A+R_W+R_B$

熱通量  $q=(T_h-T_c)/R$

$Q=q \cdot A \Rightarrow$  總熱傳量

Fig.熱交換器兩側熱對流熱傳示意圖

因此若能確切掌握流體阻抗，即能精確設計熱交換器



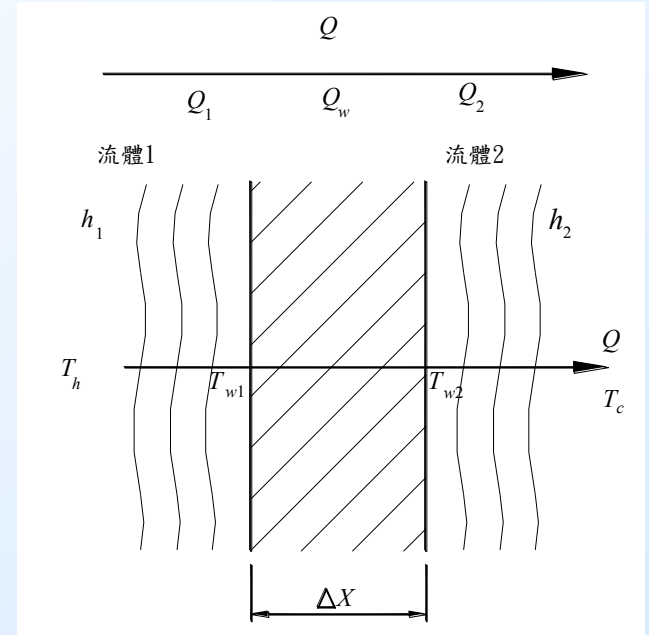
# 熱交換原理介紹(Cont.)

在穩定狀態(steady state)下熱傳量是平衡的，故  $Q_1 = Q_w = Q_2 = Q$

$$\dot{Q} = h_1 A_{w1} (T_h - T_{w,1}) \Rightarrow \frac{\dot{Q}}{h_1 A_{w1}} = T_h - T_{w,1}$$

$$\dot{Q} = kA \frac{(T_{w,1} - T_{w,2})}{\Delta X} \Rightarrow \frac{\dot{Q}}{kA} = T_{w,1} - T_{w,2}$$

$$\dot{Q} = h_2 A_{w2} (T_{w,2} - T_c) \Rightarrow \frac{\dot{Q}}{h_2 A_{w2}} = T_{w,2} - T_c$$



三式相加，得

$$\left( \frac{1}{h_1 A_{w1}} + \frac{1}{\frac{kA}{\Delta X}} + \frac{1}{h_2 A_{w2}} \right) \dot{Q} = T_h - T_c$$

$$\Rightarrow \dot{Q} = \frac{1}{\underbrace{\left( \frac{1}{h_1 A_{w1}} + \frac{1}{\frac{kA}{\Delta X}} + \frac{1}{h_2 A_{w2}} \right)}_{UA}} (T_h - T_c)$$



# 熱交換原理介紹(Cont.)

熱傳量  $Q$  表示成：

$$\therefore \dot{Q} = \underbrace{\frac{1}{\frac{1}{h_1 A_{w1}} + \frac{1}{\frac{kA}{\Delta X}} + \frac{1}{h_2 A_{w2}}}}_{UA} (T_h - T_c) \Rightarrow \dot{Q} = UA \Delta T_m$$

$$\left( \dot{Q} = \frac{\Delta T_m}{\frac{1}{UA}} = \frac{\Delta T_m}{R_t} \right)$$

其中  $U$  一般習稱為總熱傳係數(單位： $W/m^2.K$ )， $A$  為參考面積

$$\therefore \underbrace{\frac{1}{UA}}_{\text{總阻抗}} = \underbrace{\frac{1}{h_1 A_{w1}}}_{\text{熱側阻抗}} + \underbrace{\frac{\Delta X}{kA}}_{\text{管壁阻抗}} + \underbrace{\frac{1}{h_2 A_{w2}}}_{\text{冷側阻抗}} \Rightarrow R_t = R_1 + R_w + R_2$$

$$U_o A_o = U_i A_i = \frac{1}{R_t} = \frac{1}{\underbrace{\frac{1}{h_i A_i}}_{\text{冷媒側阻抗}} + \underbrace{\frac{X_p}{k_p A_p}}_{\text{管壁阻抗}} + \underbrace{\frac{1}{h_o A_o}}_{\text{空氣側阻抗}}}$$

管壁組抗

$$\left\{ \begin{aligned} R_w &= \frac{X_p}{k_p A_p} && \text{For plane wall} \\ R_w &= \frac{\ln(r_o / r_i)}{2\pi k_p L} && \text{For tube wall} \end{aligned} \right.$$



## 熱交換器原理介紹(Cont.)

For fin-and-tube HX →

$$U_o A_o = U_i A_i = \frac{1}{\underbrace{\frac{1}{h_i A_i}}_{\text{冷媒側阻抗}} + \underbrace{\frac{X_p}{k_p A_p}}_{\text{管壁阻抗}} + \underbrace{\frac{1}{h_o A_o \eta_s}}_{\text{空氣側阻抗}}}$$

其中  $U_o$  稱為總熱傳係數， $A_o$  和  $A_i$  為管外和管內側熱傳面積， $A_p$  為管壁平均面積， $k_p$  為管壁熱傳導係數， $\eta_s$  稱為鰭片表面有效度(fin surface effectiveness, 後續說明)， $h_o$  為空氣側之熱傳係數， $h_i$  為管內流體熱傳係數。

- ▶ 總熱傳係數  $U_o$  的計算，須先求得空氣側熱傳係數  $h_o$ 、管內流體熱傳係數  $h_i$ 、鰭片表面有效度  $\eta_s$  和熱傳面積  $A_o$  和  $A_i$ 。



## 熱交換器原理介紹(Cont.)

一些常見流體的總熱傳係數(overall heat transfer coefficient)

FLUID COMBINATION	$U(W/m^2.K)$
Water to water	850-1700
Water to oil	110-350
Steam condenser (water in tubes)	1000-6000
Ammonia condenser (water in tubes)	800-1400
Alcohol condenser (water in tubes)	250-700
Finned – tube heat exchanger (water in tubes, air in cross flow)	25-50



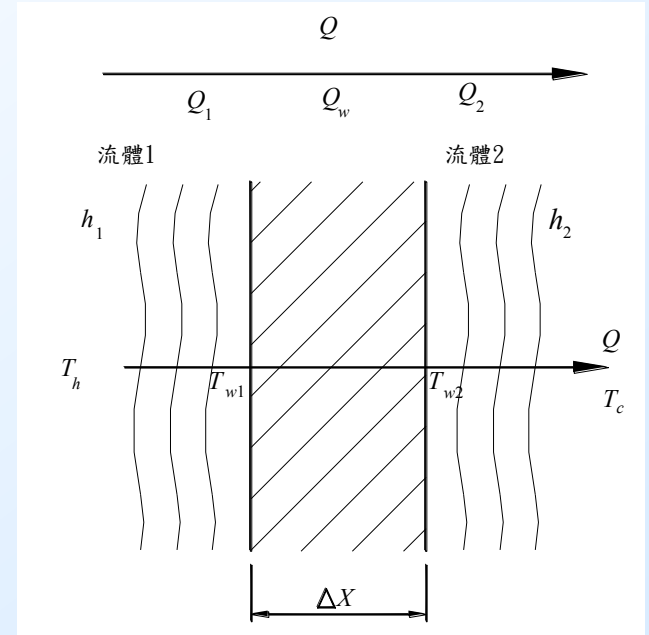
# 熱交換器原理介紹(Cont.)

在穩定狀態(steady state)下熱傳量是平衡的，故  $Q_1 = Q_w = Q_2 = Q$

$$\dot{Q} = h_1 A_{w1} (T_h - T_{w,1}) \Rightarrow \frac{\dot{Q}}{h_1 A_{w1}} = T_h - T_{w,1}$$

$$\dot{Q} = kA \frac{(T_{w,1} - T_{w,2})}{\Delta X} \Rightarrow \frac{\dot{Q}}{kA} = T_{w,1} - T_{w,2}$$

$$\dot{Q} = h_2 A_{w2} (T_{w,2} - T_c) \Rightarrow \frac{\dot{Q}}{h_2 A_{w2}} = T_{w,2} - T_c$$



三式相加，得

$$\left( \frac{1}{h_1 A_{w1}} + \frac{1}{\frac{kA}{\Delta X}} + \frac{1}{h_2 A_{w2}} \right) \dot{Q} = T_h - T_c$$

$$\Rightarrow \dot{Q} = \frac{1}{\underbrace{\left( \frac{1}{h_1 A_{w1}} + \frac{1}{\frac{kA}{\Delta X}} + \frac{1}{h_2 A_{w2}} \right)}_{UA}} (T_h - T_c)$$

# 熱交換器的功用

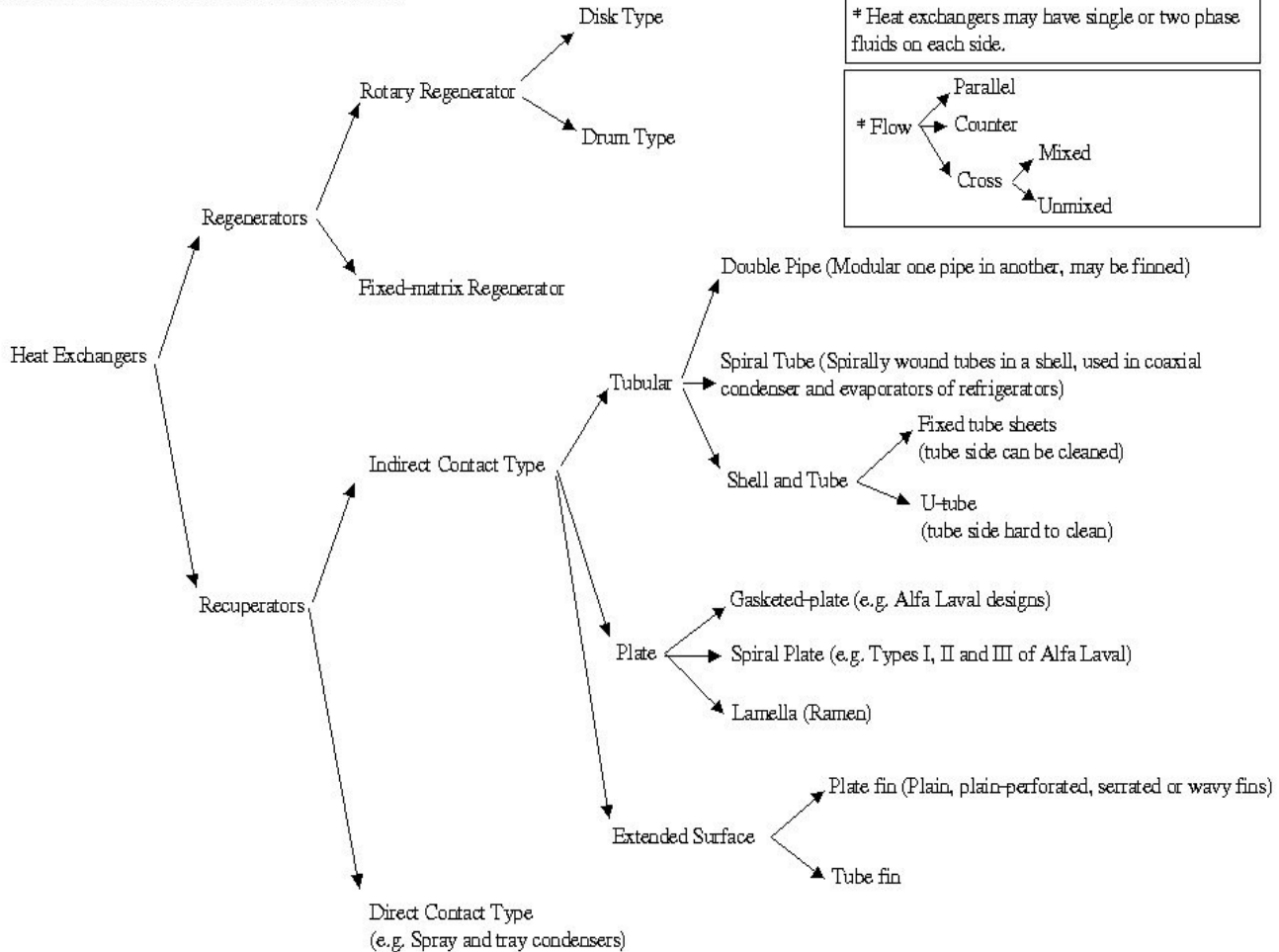
- 不同流體間的換熱
- 易於控制與使用
- 避免流體於熱交換過程的「汙染」



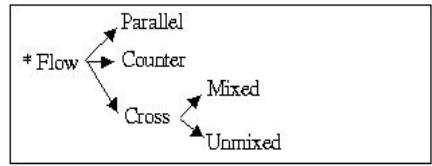


# 熱交換器的型式

## CLASSIFICATION OF HEAT EXCHANGERS



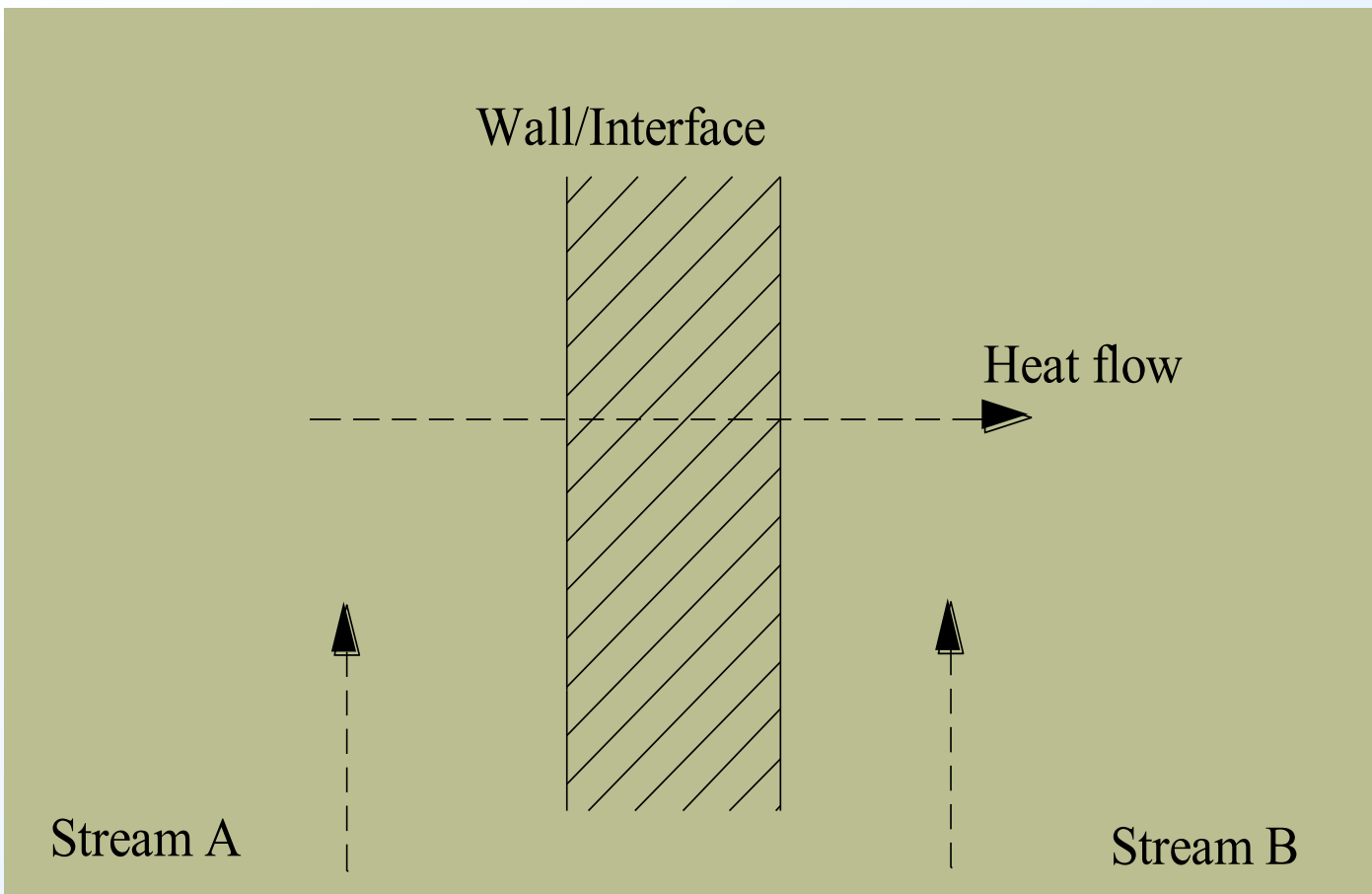
\* Heat exchangers may have single or two phase fluids on each side.



回覆式  
Recuperator  
→ 最普遍型式

再生式  
Regenerator  
直接接觸式

Direct Contact Heat Exchanger

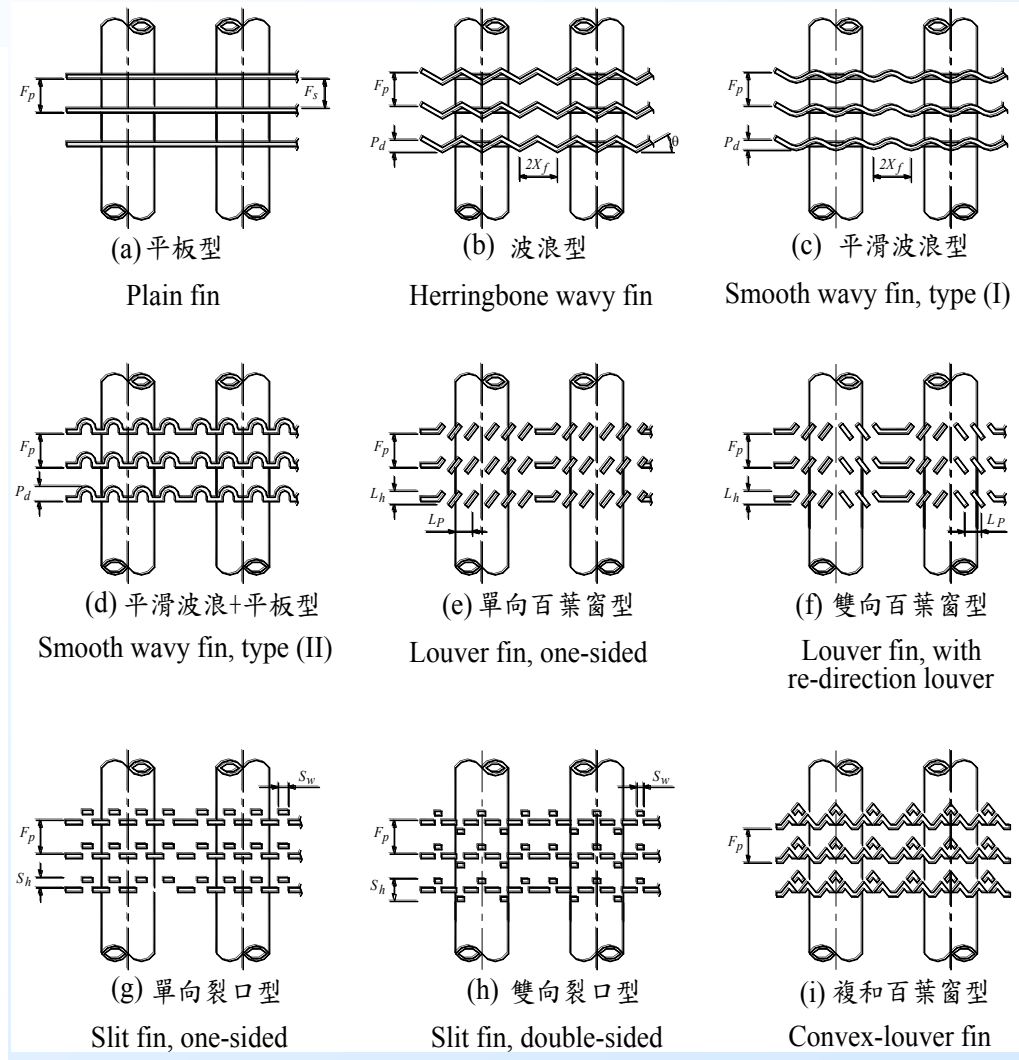
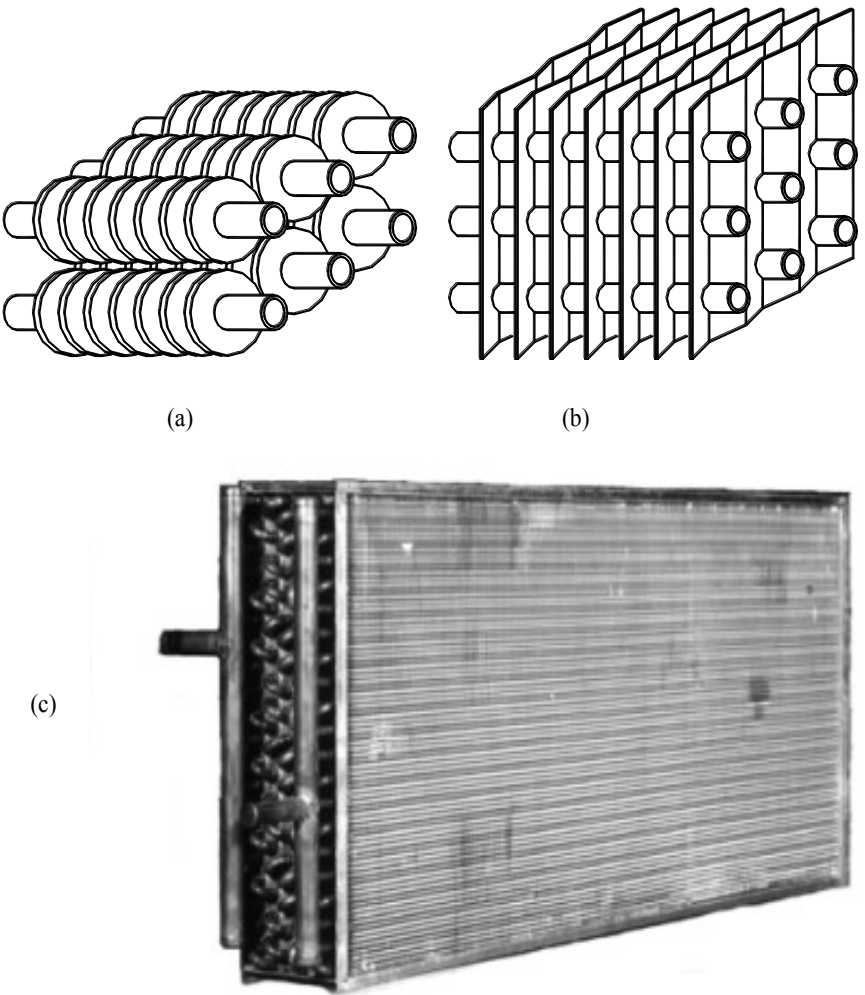


熱交換工作原理



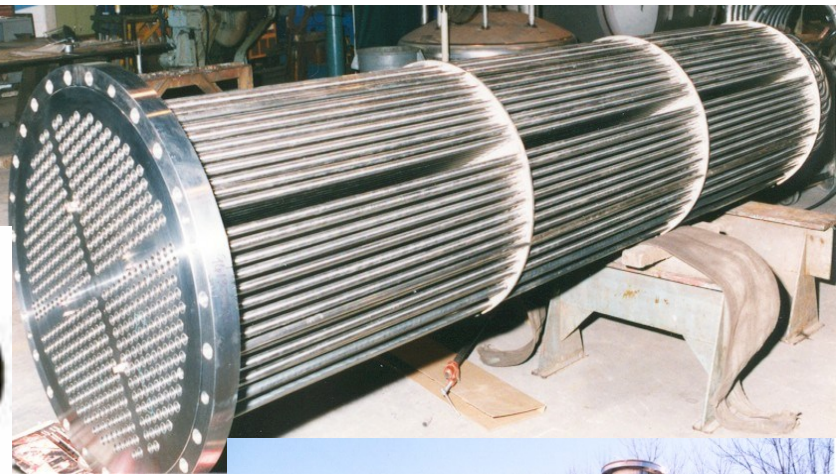
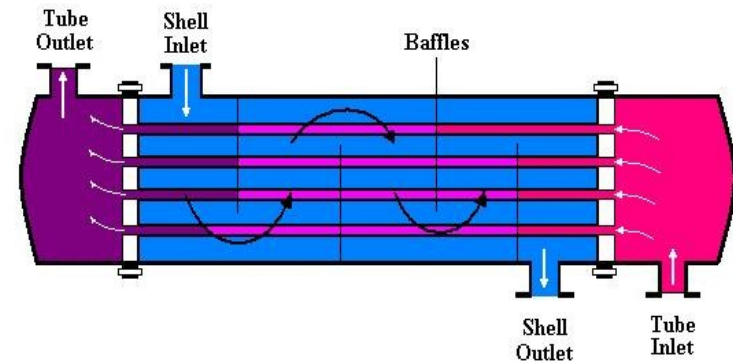
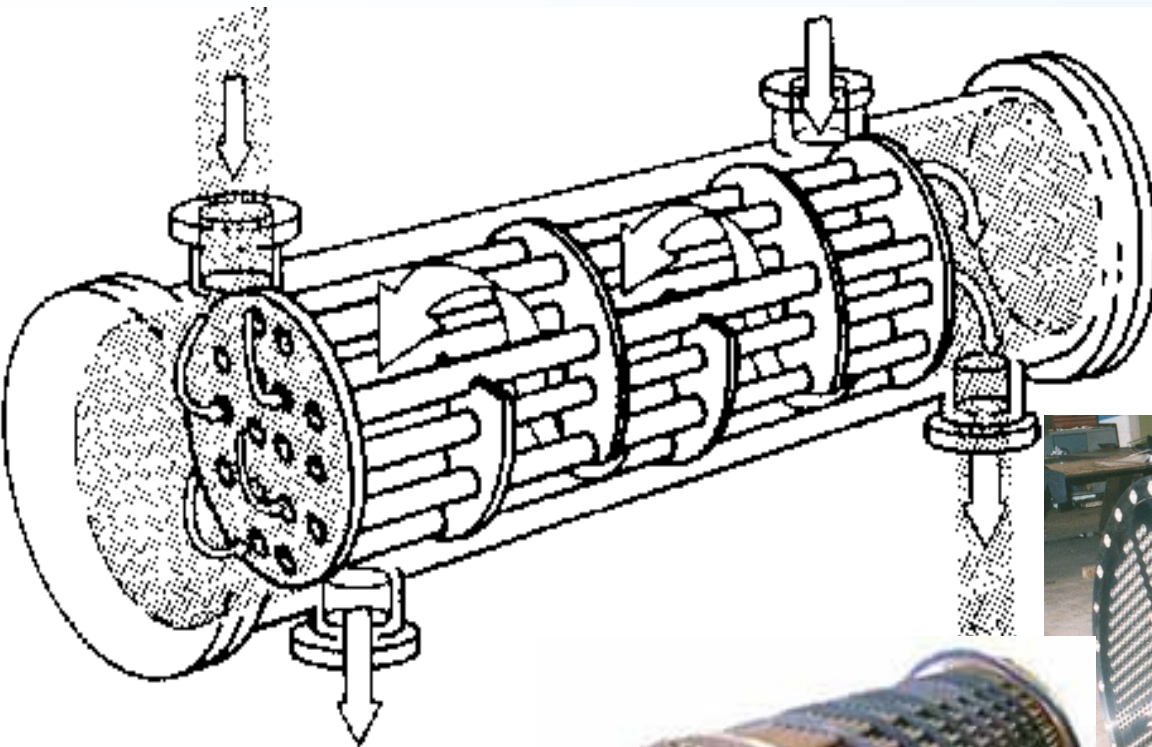
# 典型 Recuperator

- 鰭管式 (Fin-and-tube Heat Exchanger)
- 殼管式 (Shell and Tube Heat Exchanger)
- 板式 (Plate Heat Exchanger)
- 螺旋式 (Spiral Heat Exchanger)
- 套管式 (Tube in Tube Heat Exchanger)
- Cross flow Heat Exchanger



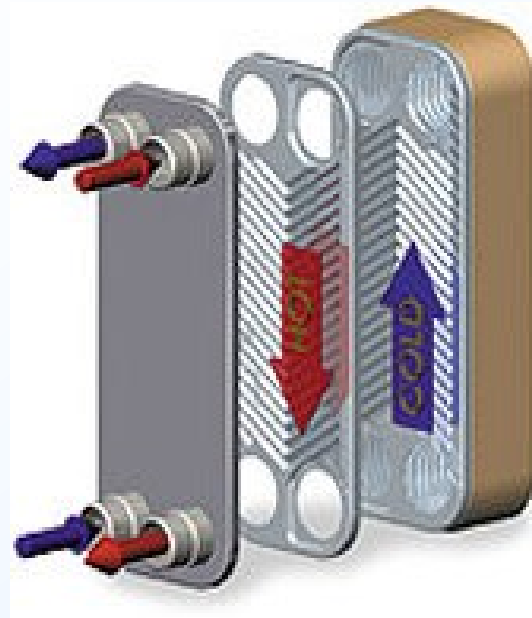
Typical fin-and-tube heat exchanger (a) individual circular fin; (b) continuous wavy fin; (c) conventional air-cooled heat exchanger

# 殼管式 Shell and Tube Heat Exchanger





(a)



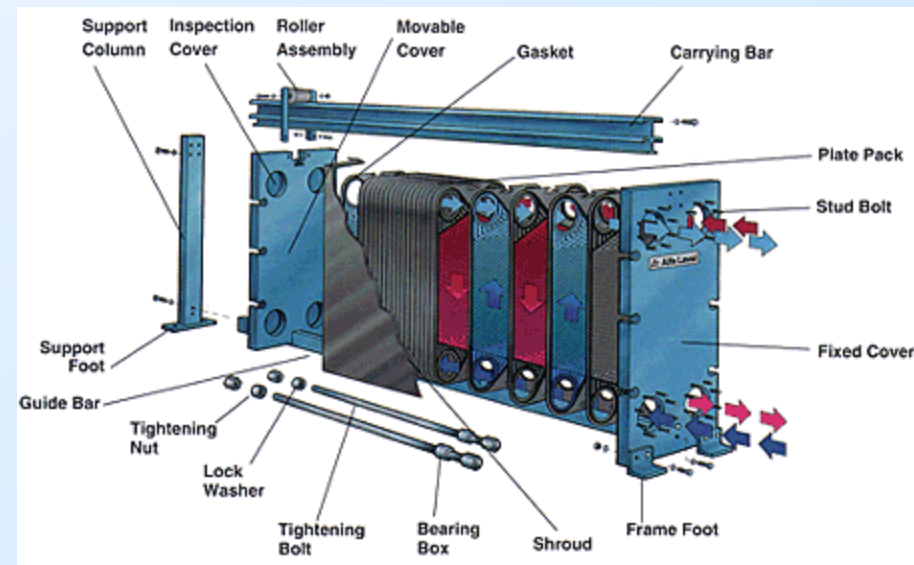
(b)



(c)

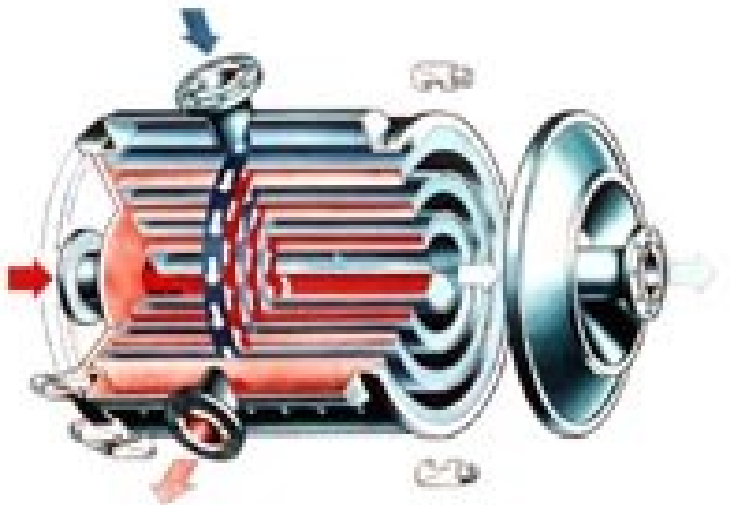
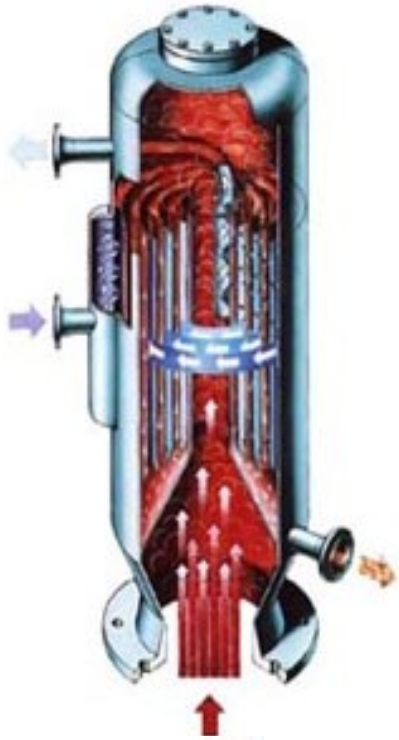
板式熱交換器 (a) brazed type;  
(b) working principle; (c) cross section

可拆卸式板式熱交換器



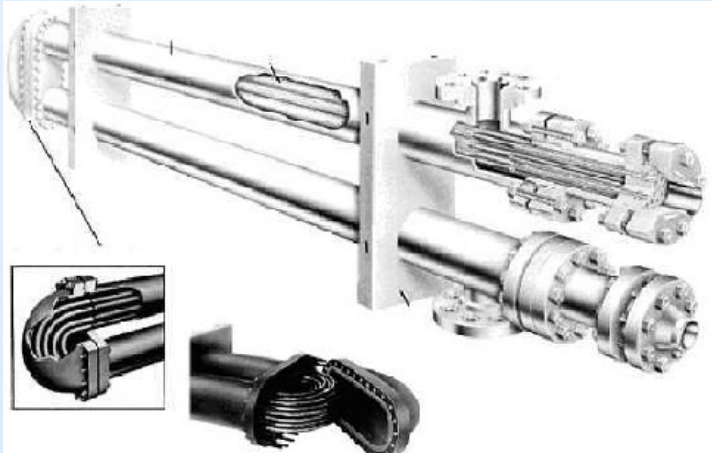
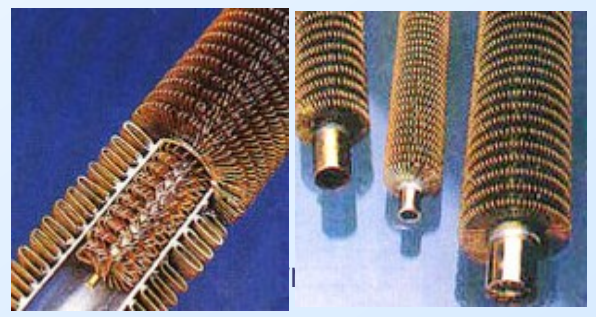
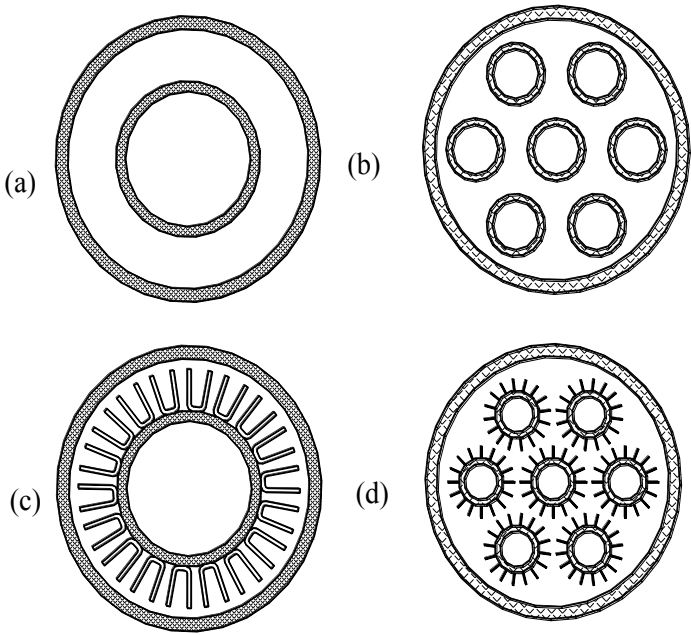


# Spiral Heat Exchanger



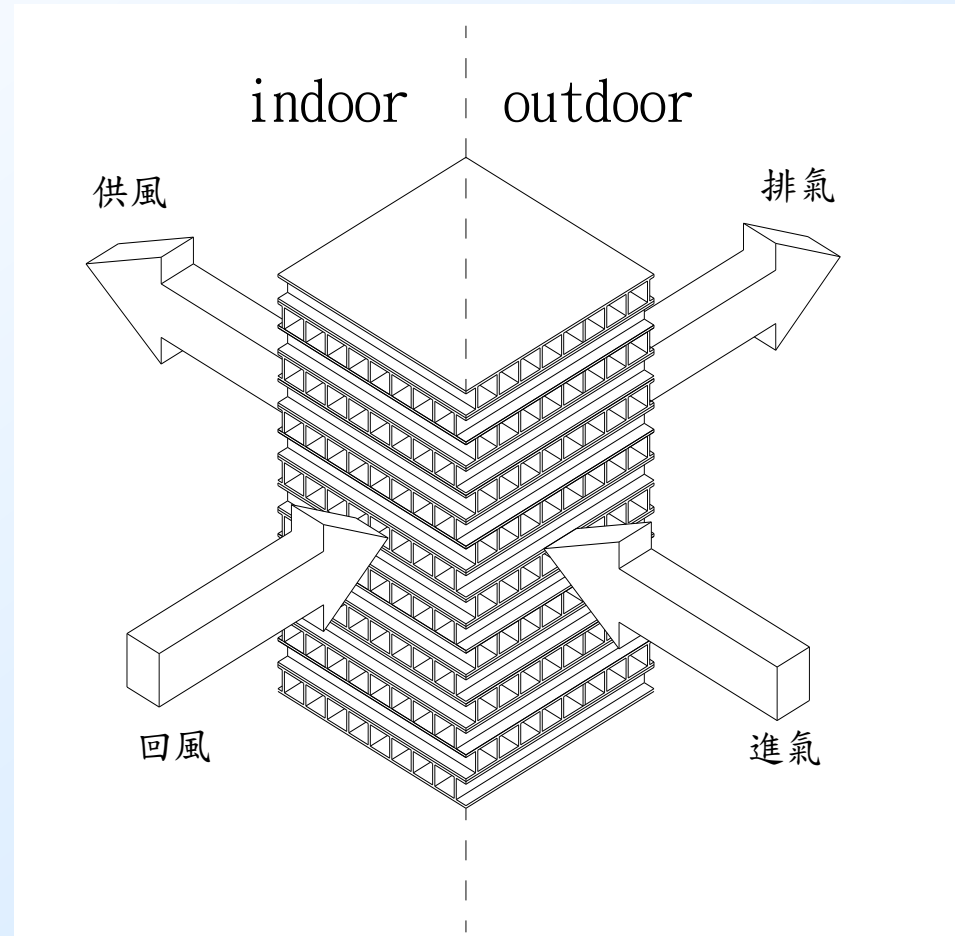
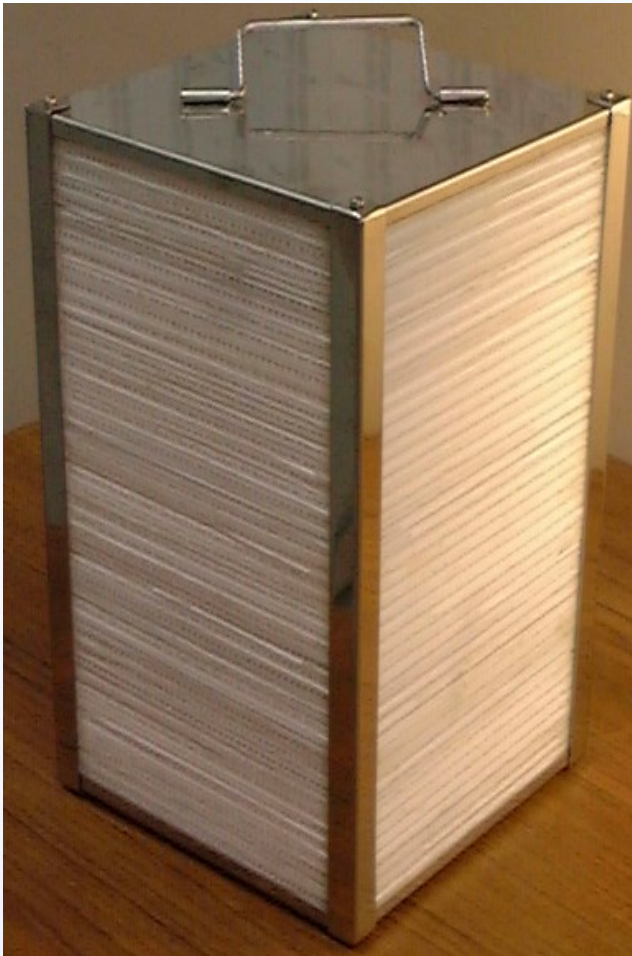


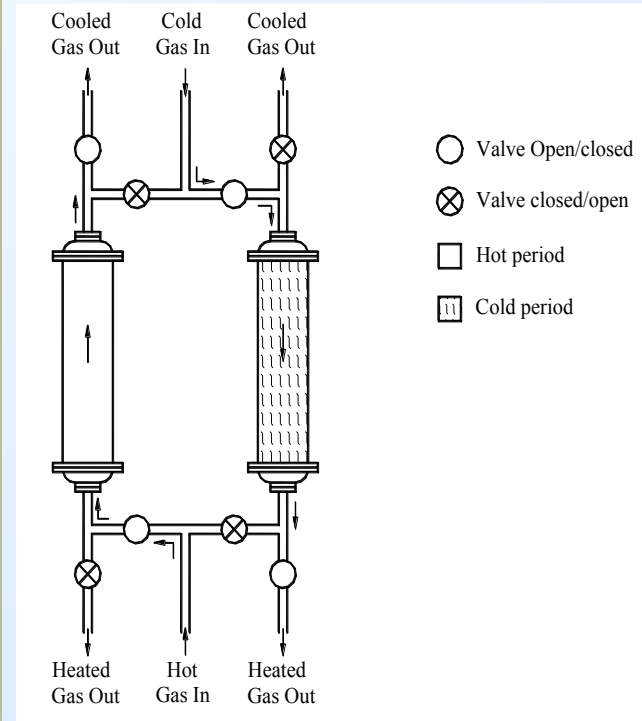
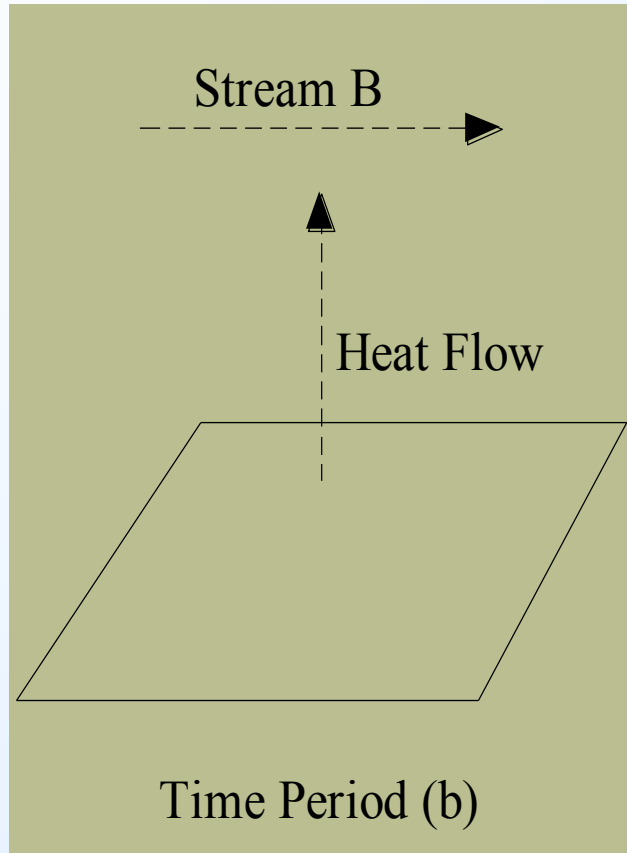
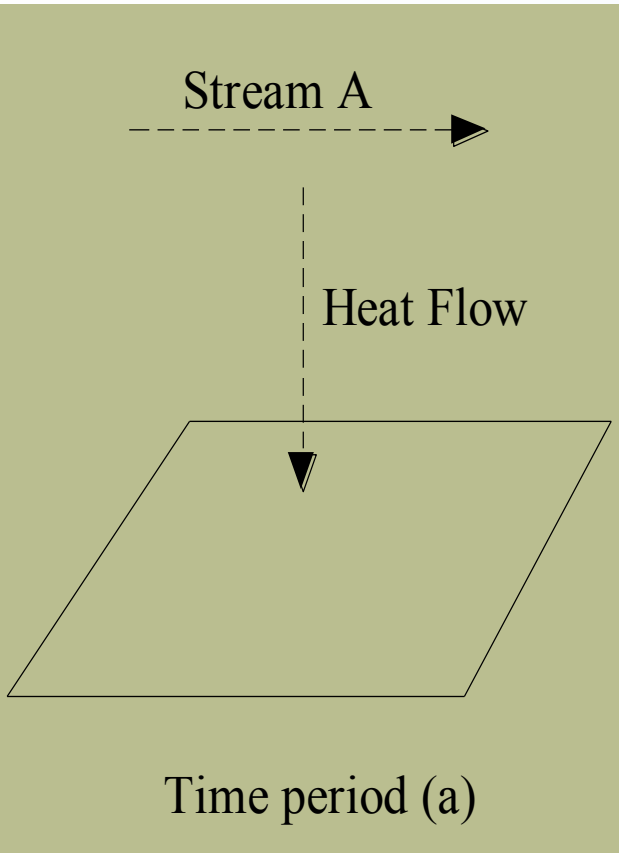
# 套管式 (Tube-in-Tube Heat Exchanger)



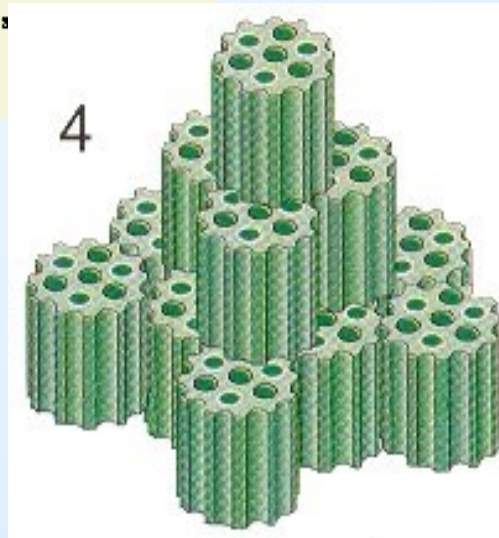
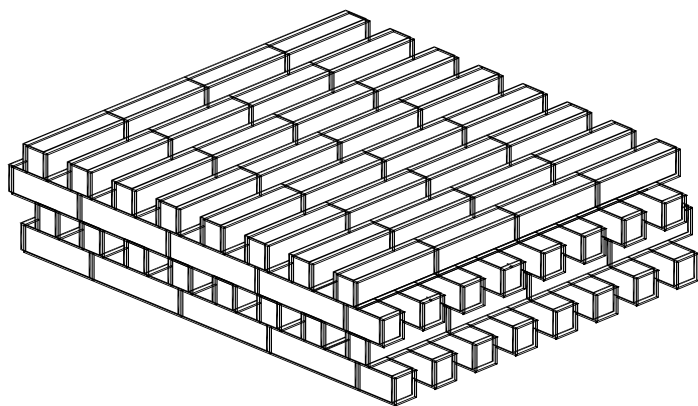
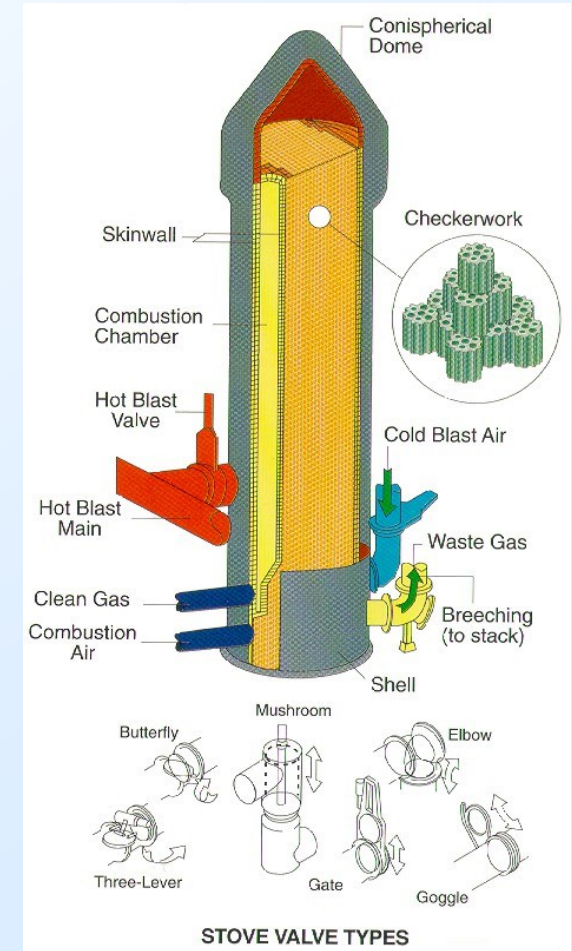
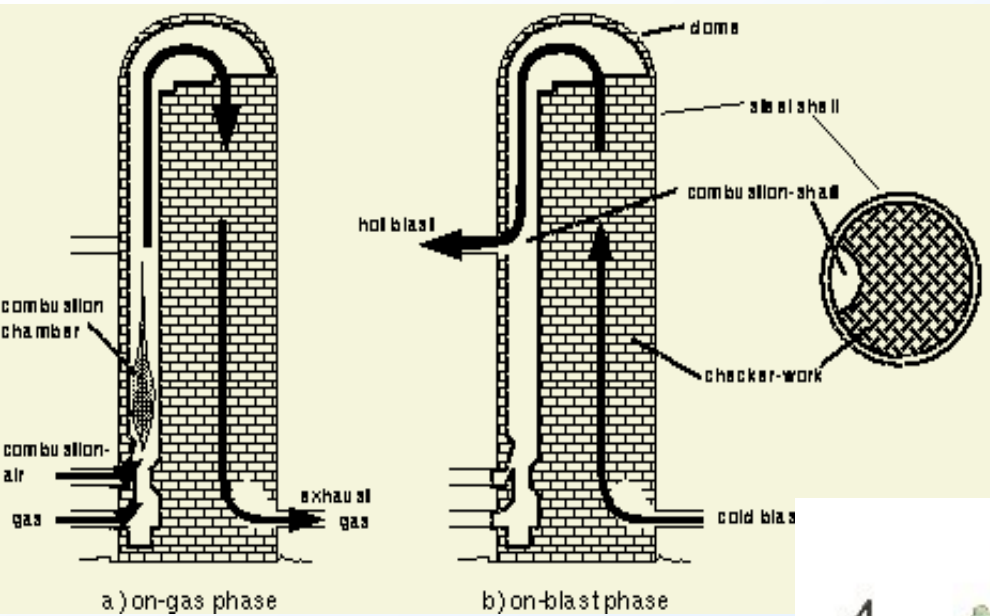
# 氣對氣交流式熱交換器

## Air-to-air Cross Flow Heat Exchanger

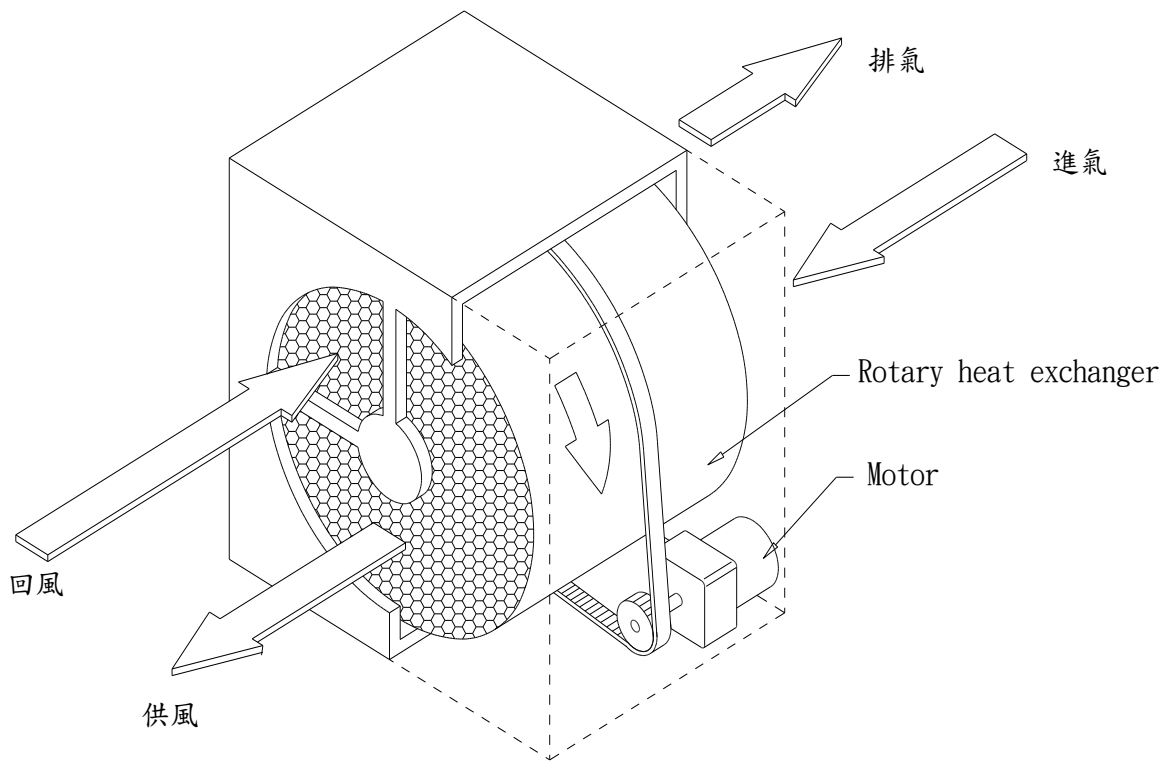




# 再生式熱交換器工作原理



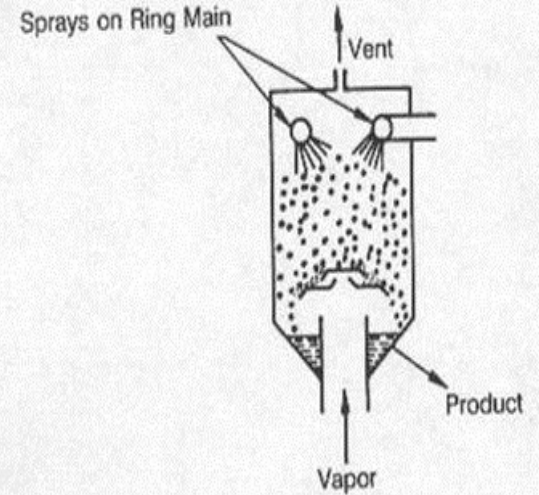
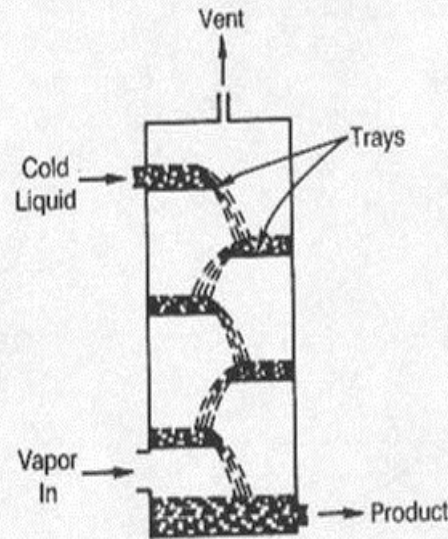
Hot blast stove Fixed Bed type regenerator



轉輪式再生式熱交換器 (a) Working Principle & (b) Rotary wheel

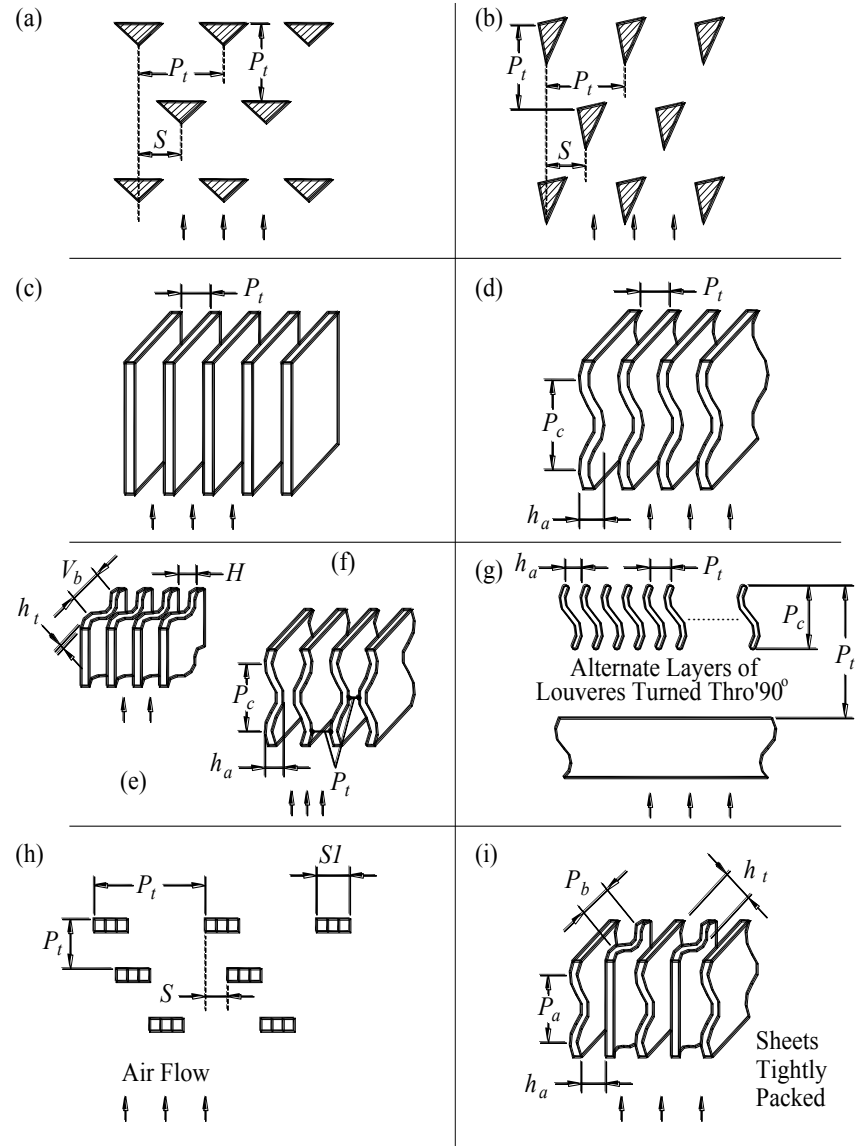
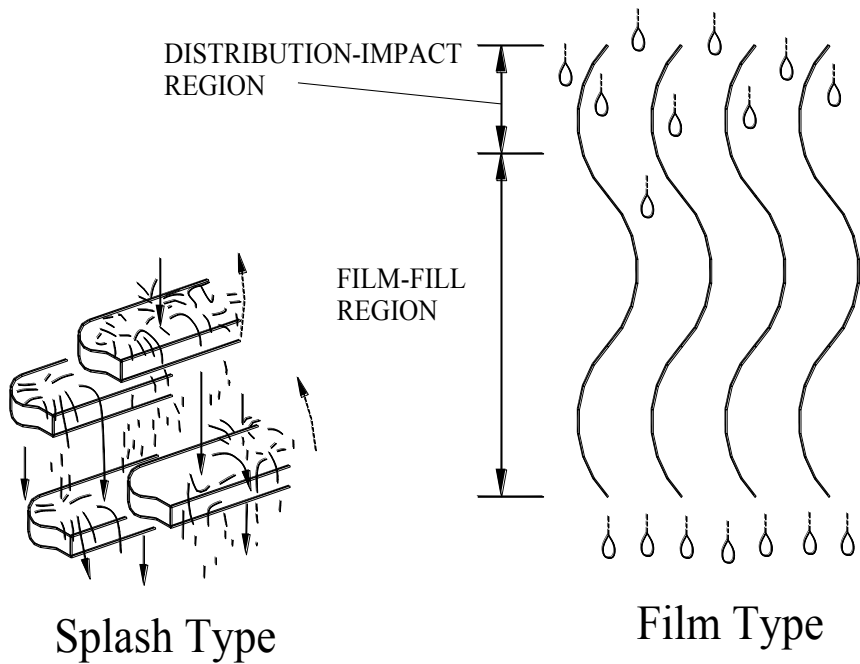


# Cooling Tower

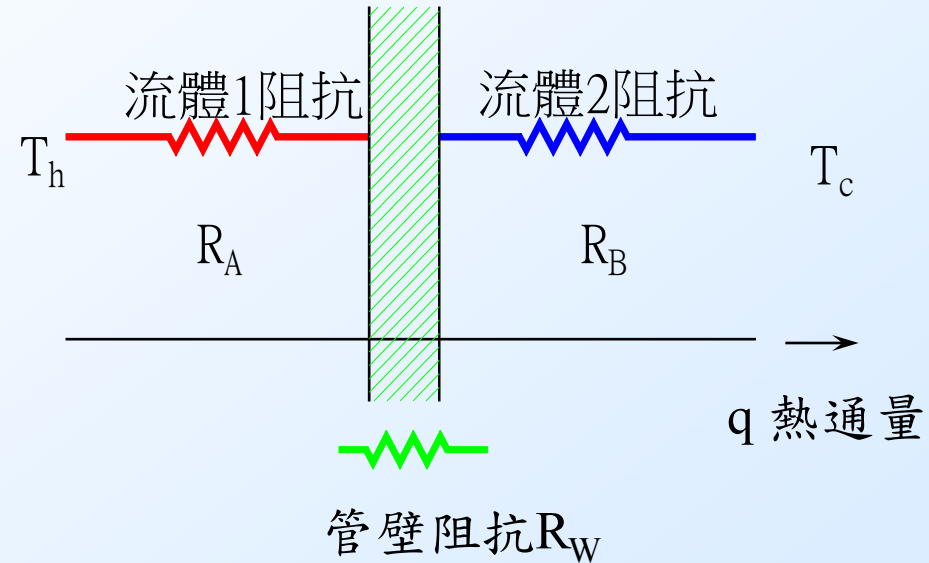
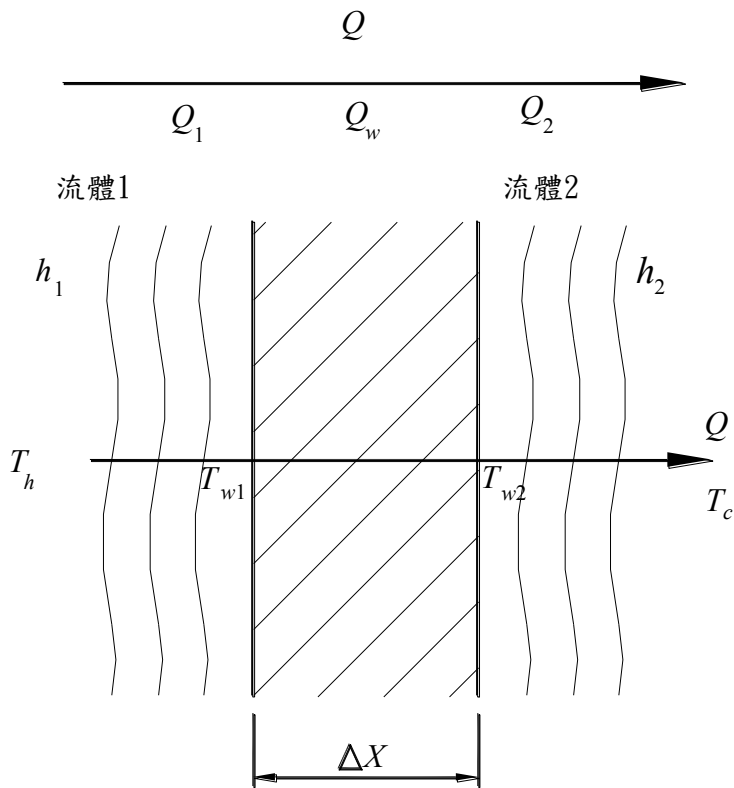


Tray-type direct HX & Spray condenser

# 典型填料形狀



# 熱交換器原理介紹(Cont.)



總阻抗： $R=R_A+R_W+R_B$

熱通量  $q=(T_h-T_c)/R$

$Q=q \cdot A \Rightarrow$  總熱傳量

Fig.熱交換器兩側熱對流熱傳示意圖

因此若能確切掌握流體阻抗，即能精確設計熱交換器

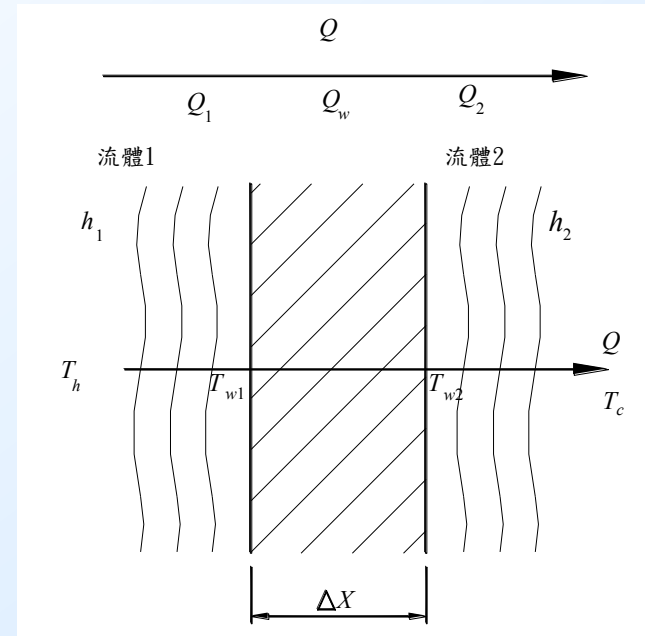
# 熱交換器原理介紹(Cont.)

在穩定狀態(steady state)下熱傳量是平衡的，故  $Q_1 = Q_w = Q_2 = Q$

$$\dot{Q} = h_1 A_{w1} (T_h - T_{w,1}) \Rightarrow \frac{\dot{Q}}{h_1 A_{w1}} = T_h - T_{w,1}$$

$$\dot{Q} = kA \frac{(T_{w,1} - T_{w,2})}{\Delta X} \Rightarrow \frac{\dot{Q}}{kA} = T_{w,1} - T_{w,2}$$

$$\dot{Q} = h_2 A_{w2} (T_{w,2} - T_c) \Rightarrow \frac{\dot{Q}}{h_2 A_{w2}} = T_{w,2} - T_c$$



三式相加，得

$$\left( \frac{1}{h_1 A_{w1}} + \frac{1}{\frac{kA}{\Delta X}} + \frac{1}{h_2 A_{w2}} \right) \dot{Q} = T_h - T_c$$

$$\Rightarrow \dot{Q} = \frac{1}{\underbrace{\left( \frac{1}{h_1 A_{w1}} + \frac{1}{\frac{kA}{\Delta X}} + \frac{1}{h_2 A_{w2}} \right)}_{UA}} (T_h - T_c)$$



# 熱交換器原理介紹(Cont.)

熱傳量  $Q$  表示成：

$$\therefore \dot{Q} = \underbrace{\frac{1}{\frac{1}{h_1 A_{w1}} + \frac{1}{\frac{kA}{\Delta X}} + \frac{1}{h_2 A_{w2}}}}_{UA} (T_h - T_c) \Rightarrow \dot{Q} = UA \Delta T_m$$

$$\left( \dot{Q} = \frac{\Delta T_m}{\frac{1}{UA}} = \frac{\Delta T_m}{R_t} \right)$$

其中  $U$  一般習稱為總熱傳係數(單位： $W/m^2.K$ )， $A$  為參考面積

$$\therefore \underbrace{\frac{1}{UA}}_{\text{總阻抗}} = \underbrace{\frac{1}{h_1 A_{w1}}}_{\text{熱側阻抗}} + \underbrace{\frac{\Delta X}{kA}}_{\text{管壁阻抗}} + \underbrace{\frac{1}{h_2 A_{w2}}}_{\text{冷側阻抗}} \Rightarrow R_t = R_1 + R_w + R_2$$

$$U_o A_o = U_i A_i = \frac{1}{R_t} = \frac{1}{\underbrace{\frac{1}{h_i A_i}}_{\text{冷媒側阻抗}} + \underbrace{\frac{X_p}{k_p A_p}}_{\text{管壁阻抗}} + \underbrace{\frac{1}{h_o A_o}}_{\text{空氣側阻抗}}}$$

管壁組抗

$$\left\{ \begin{aligned} R_w &= \frac{X_p}{k_p A_p} && \text{For plane wall} \\ R_w &= \frac{\ln(r_o / r_i)}{2\pi k_p L} && \text{For tube wall} \end{aligned} \right.$$



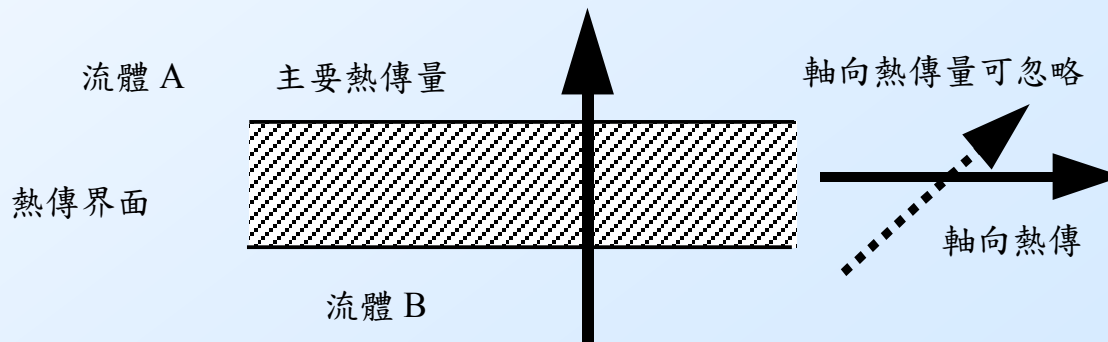
## 熱交換器原理介紹(Cont.)

一些常見流體的總熱傳係數(overall heat transfer coefficient)

FLUID COMBINATION	$U(W/m^2.K)$
Water to water	850-1700
Water to oil	110-350
Steam condenser (water in tubes)	1000-6000
Ammonia condenser (water in tubes)	800-1400
Alcohol condenser (water in tubes)	250-700
Finned – tube heat exchanger (water in tubes, air in cross flow)	25-50

# 熱交換器性能計算方法

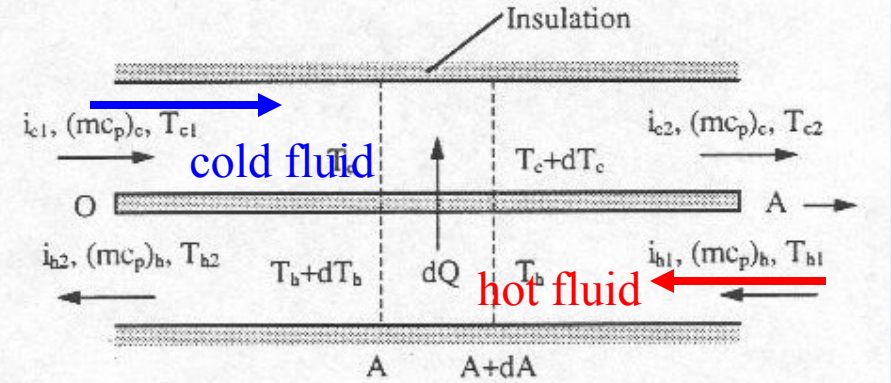
- 介紹兩種熱交換器熱傳設計基本方法，即  $UA-LMTD-F$  與  $\epsilon-NTU$  方法，這兩種設計方法作如下的一些基本的假設：
1. 熱交換過程是在一穩定狀態下進行（即與時間的改變無關）。
  2. 溫度、速度為一維分佈 (one-dimensional)，且流體無分層的現象。
  3. 流體的比熱為定值，且在操作時間內，整個熱交換器內部的比熱值 ( $C_p$ ) 不變。
  4. 總熱傳係數  $U$  值為固定。
  5. 熱交換器的軸向熱傳可忽略。
  6. 熱量損失到外界的部分可予以忽略。
  7. 熱交換器內並無產生熱量的裝置或反應(例如裝加熱器或化學反應等)。



能量平衡關係：

➤ 冷側或熱側的熱傳量

$$\dot{Q} = \dot{m}(i_2 - i_1)$$



➤ 冷側與熱側之間的能量平衡

$$\dot{Q} = \dot{m}_h (i_{h1} - i_{h2}) = \dot{m}_c (i_{c2} - i_{c1})$$

$$\dot{Q} = (\dot{m}C_{p,c})_c (T_{c,o} - T_{c,i}) = (\dot{m}C_{p,h})_h (T_{h,i} - T_{h,o})$$

其中  $C_h = (\dot{m}c_{p,h})_h$  and  $C_c = (\dot{m}c_{p,h})_c$



常用的熱交換器  
符號及其單位

符號	說明	單位
$A$	熱交換面積	$m^2$
$C_c$	冷側流體熱容量流率 $(\dot{m}c_p)_c$	W/K
$C_h$	熱側流體熱容量流率 $(\dot{m}c_p)_h$	W/K
$Q$	熱傳量	W
$Q_{max}$	最大熱傳量	W
$\varepsilon$	有效度 $(Q/Q_{max})$	無因次
$\dot{m}$	質量流率	kg/s
$c_p$	比熱	J/kg·K
$q$	熱通量 = $Q/A$	W/m <sup>2</sup> ·K
$C_{min}$	$C_c$ 與 $C_h$ 中較小者	W/K
$U$	總熱傳係數	W/m <sup>2</sup> ·K
$NTU$	傳遞單位, $UA/C_{min}$	無因次
$C^*$	$C_{min}/C_{max}$	無因次
$C_{max}$	$C_c$ 與 $C_h$ 中較大者	W/K
$T_{h,i}$	熱側流體進口溫度	°C, K
$T_{h,o}$	熱側流體出口溫度	°C, K
$T_{c,i}$	冷側流體進口溫度	°C, K
$T_{c,o}$	冷側流體出口溫度	°C, K
$F$	校正係數	無因次
$P$	溫度有效度, $(T_{c,o} - T_{c,i}) / (T_{h,i} - T_{c,i})$	無因次
$R$	$C_c/C_h$ , $(T_{h,i} - T_{h,o}) / (T_{c,o} - T_{c,i})$	無因次
$LMTD$	對數平均溫度差	°C, K
$\Delta_o$	熱交換器冷熱進口之最大溫差, $(T_{h,i} - T_{c,i})$	°C, K

# 熱交換器之流體流動型態

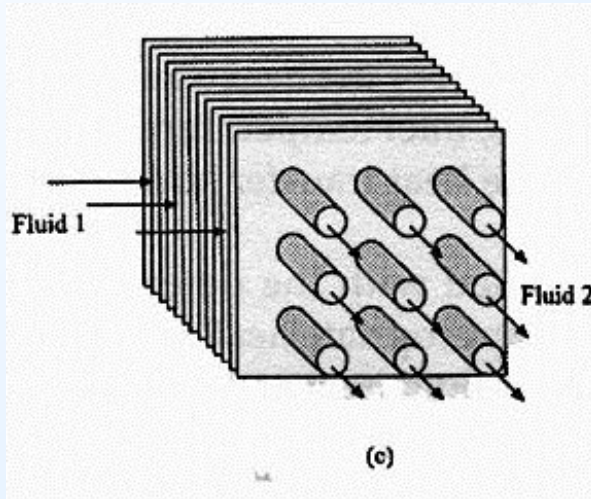
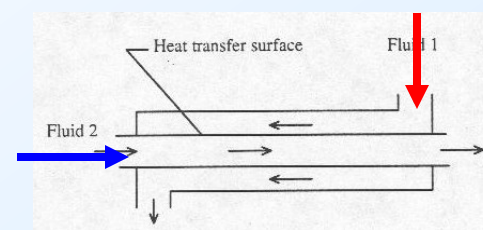
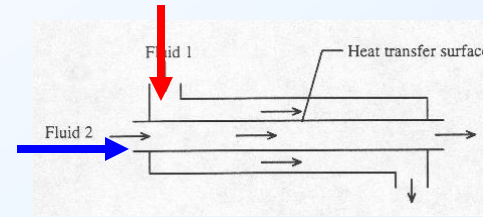
(1) 平行流(parallel flow)



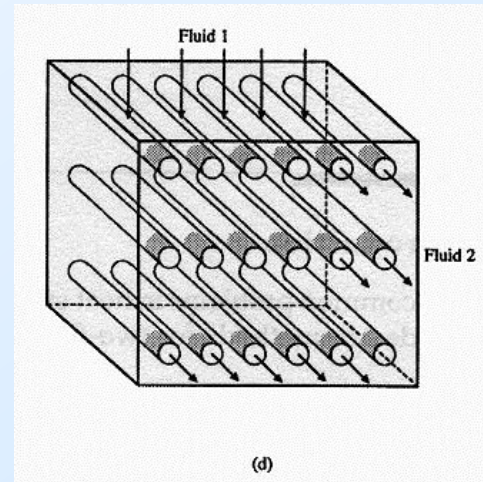
(2) 逆向流(counter flow)



(3) 交叉流(cross flow)



(a) fin with both fluid unmixed

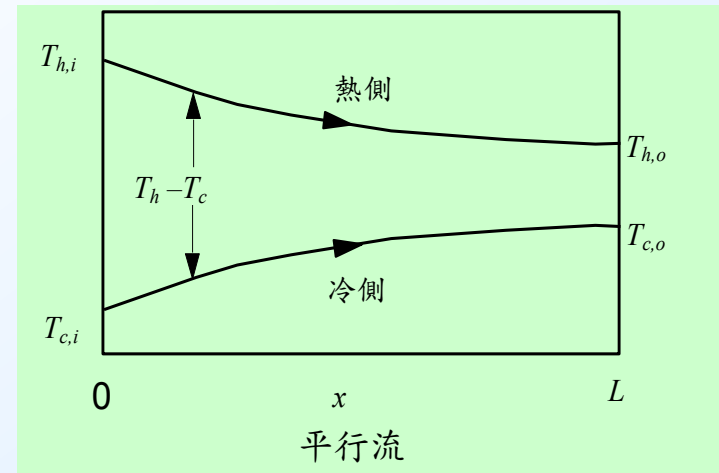


(b) unfin with one fluid mixed and the other unmixed

# 熱交換器之流體流動型態(Cont.)

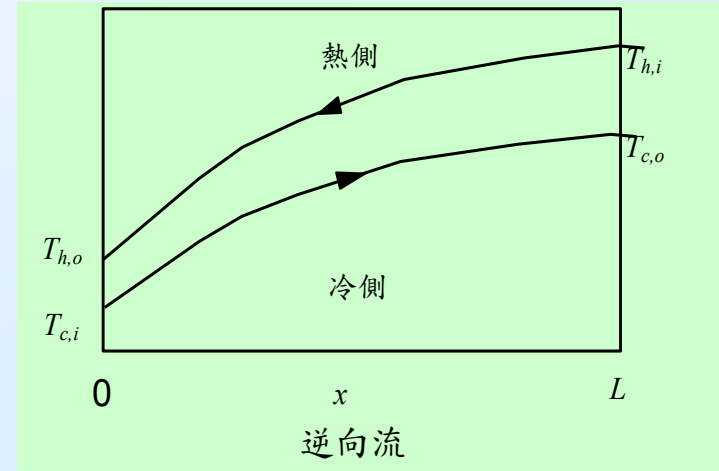
□熱交換器的流體流動型態，在設計安排上大致可分成下列的方式：

(1)平行流 (parallel flow)，此時的熱側與冷側進出口在同一處，典型的溫度變化如右圖所示：



平行流之流體流動方向示意圖

(2)逆向流 (counter flow)，此時熱側的進口與冷側的出口溫度在同一側，而熱側的出口與冷測的進口在同一側，典型的溫度變化如右圖所示：

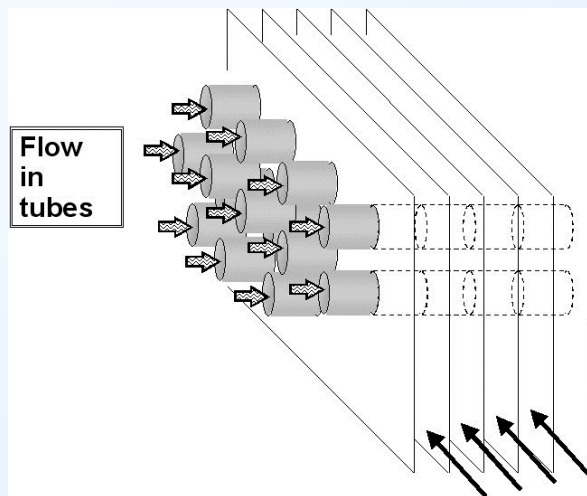


逆向流之流體流動方向示意圖

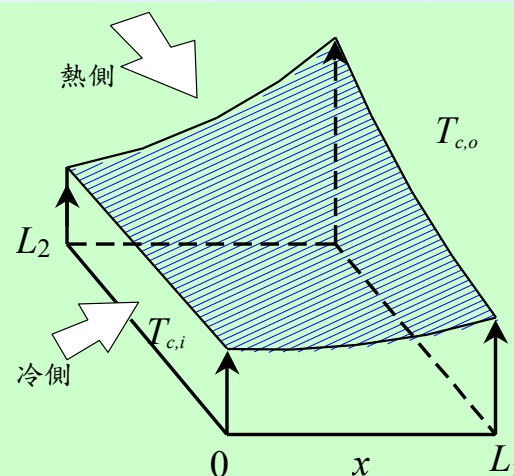
※逆向流冷側的出口溫度有可能高於熱側的出口溫度，但是平行流動下則不可能出現此一現象。

## 熱交換器之流體流動型態(Cont.)

(3)交錯流 (crossflow)，係熱側的進口與冷側的進口處剛好垂直，典型的溫度變化如所示，由右圖可知交錯流動下出口溫度呈現一較為複雜的變化。交錯流動時，有時候為了適度提升另一側的溫度差，管路的安排經常會由幾個回數 (pass) 所組成，它的另一個優點就是可將熱交換器較為緊密地安排，一些常見的熱交換器回數安排如後圖說明。



交錯流之流體流動方向示意圖

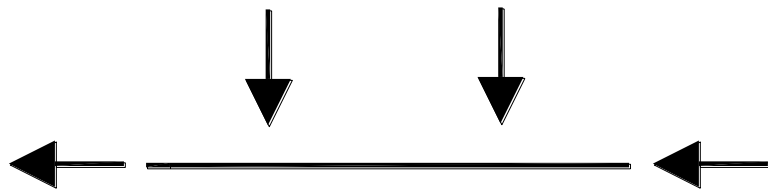


交錯流之溫度變化示意圖

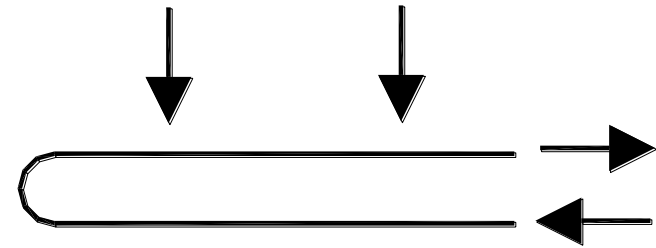
### (4)混合流動方式 (mixed flow)

，此時的流動型態係上述三者流動方式的綜合。

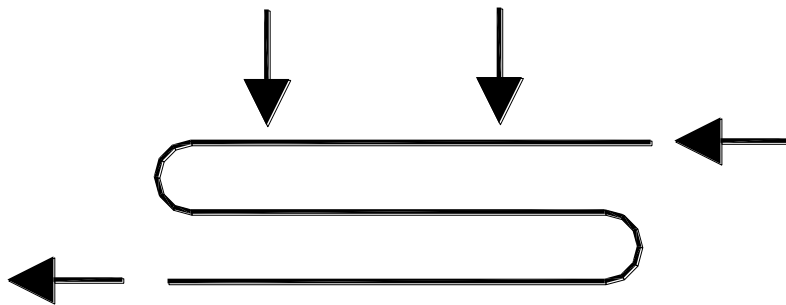
# 熱交換器之流體流動型態(Cont.)



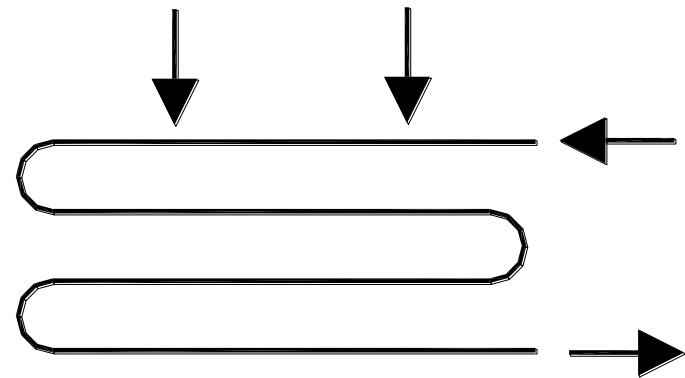
1 Pass (管側為一個回數)



2 Pass (管側為兩個回數)



3 Pass (管側為三個回數)



4 Pass (管側為四個回數)

熱交換器的回數安排示意圖



## 熱交換器之流體流動型態(Cont.)

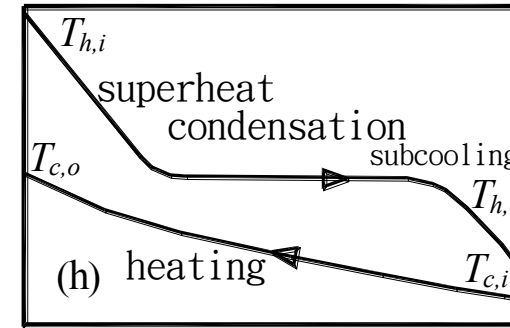
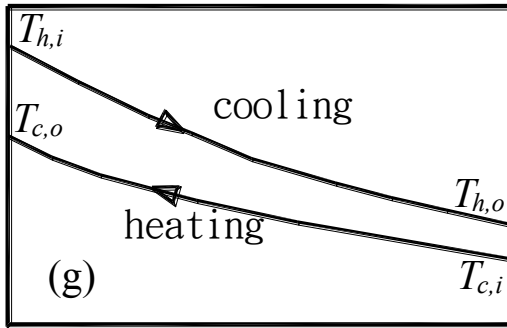
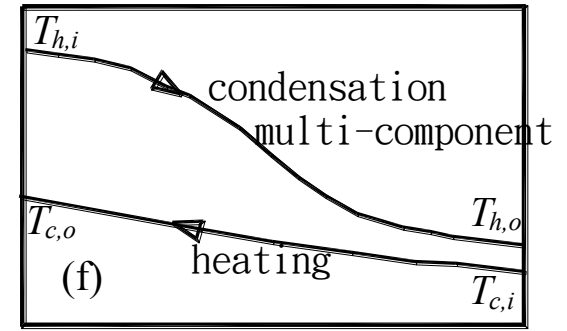
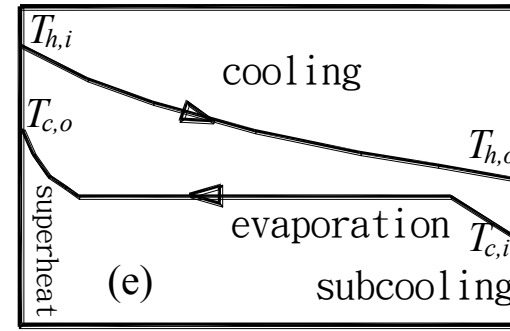
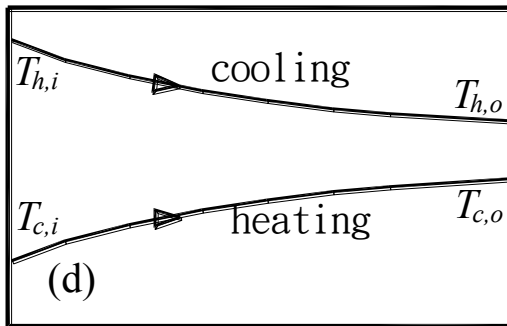
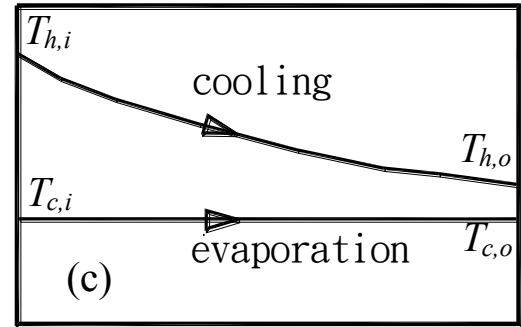
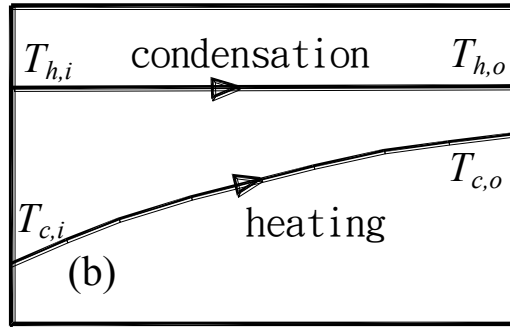
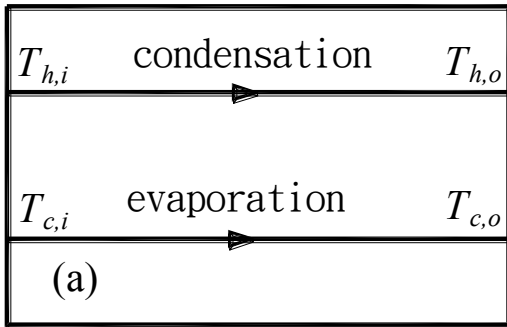
□ 上述流動型式在熱交換器設計上，所代表的意義可由  $\dot{Q} = UA\Delta T_m$  來說明，即由於增加熱交換性能的方法不外乎：

- (1) 增加總熱傳係數  $U$
- (2) 增加總熱傳面積  $A$
- (3) 增加有效溫度差  $\Delta T_m$

※ 流動型式在熱交換器設計上所扮演的角色即為調整有效溫度差，另外上述的流動型態中，以逆向流的安排具有最大的溫度差。這可從逆向流的出口溫度有可能高於熱側的出口溫度，但是平行流動下則不可能發生此現象看出。

※ 在逆向流動的熱交換器中，熱側與冷側流體的溫差保持的最為「均勻」，而平行流動時，熱側與冷側流體的溫差變化較大，以平均值而言，熱交換器內各處保有最為「均勻」溫差者，將會擁有最大的有效溫差。

# 熱交換器之流體流動型態(Cont.)



熱交換器之不同流動型態的溫度變化示意圖

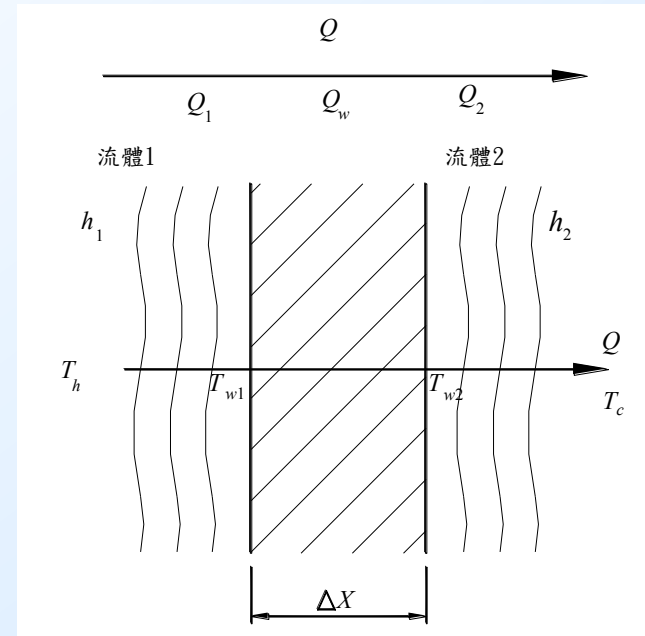
# 熱交換器原理介紹(Cont.)

在穩定狀態(steady state)下熱傳量是平衡的，故  $Q_1 = Q_w = Q_2 = Q$

$$\dot{Q} = h_1 A_{w1} (T_h - T_{w,1}) \Rightarrow \frac{\dot{Q}}{h_1 A_{w1}} = T_h - T_{w,1}$$

$$\dot{Q} = kA \frac{(T_{w,1} - T_{w,2})}{\Delta X} \Rightarrow \frac{\dot{Q}}{kA} = T_{w,1} - T_{w,2}$$

$$\dot{Q} = h_2 A_{w2} (T_{w,2} - T_c) \Rightarrow \frac{\dot{Q}}{h_2 A_{w2}} = T_{w,2} - T_c$$



三式相加，得

$$\left( \frac{1}{h_1 A_{w1}} + \frac{1}{\frac{kA}{\Delta X}} + \frac{1}{h_2 A_{w2}} \right) \dot{Q} = T_h - T_c$$

$$\Rightarrow \dot{Q} = \frac{1}{\underbrace{\left( \frac{1}{h_1 A_{w1}} + \frac{1}{\frac{kA}{\Delta X}} + \frac{1}{h_2 A_{w2}} \right)}_{UA}} (T_h - T_c)$$



## 如何進行熱交換器的Rating/Sizing?

- ▶ 性能計算(rating problem) : 已知熱交換器相關幾何尺寸和流體進口條件，計算其熱傳性能(熱傳量、壓損及流體出口狀態等)。
- ▶ 尺寸設計(sizing problem) : 已知熱交換器性能(熱傳量及流體進出口狀態)，計算其幾何尺寸(熱傳管有效長度或管排數)。
- ▶ 能量平衡方程式(Energy balance equation) :

$$\dot{Q} = \dot{m} \times C_p \times \Delta T \quad \Rightarrow \quad \dot{Q} = (\dot{m}C_{p,c})_c (T_{c,o} - T_{c,i}) = (\dot{m}C_{p,h})_h (T_{h,i} - T_{h,o})$$

- ▶ 一般熱交換器的熱量傳遞方程式均可寫成如下：

$$\dot{Q} = (UA)(\text{Driving Potential, 驅動勢})$$

$$\dot{Q} = U \times A \times \Delta T_m \quad , \quad \Delta T_m \text{ 為有效流體之溫度差}$$

問題：如何求得決定  $U$  &  $\Delta T_m$ ?

☐ 熱傳遞為顯熱變化，驅動力為乾球溫度差，驅動勢為平均溫差

— 若是逆向流，則

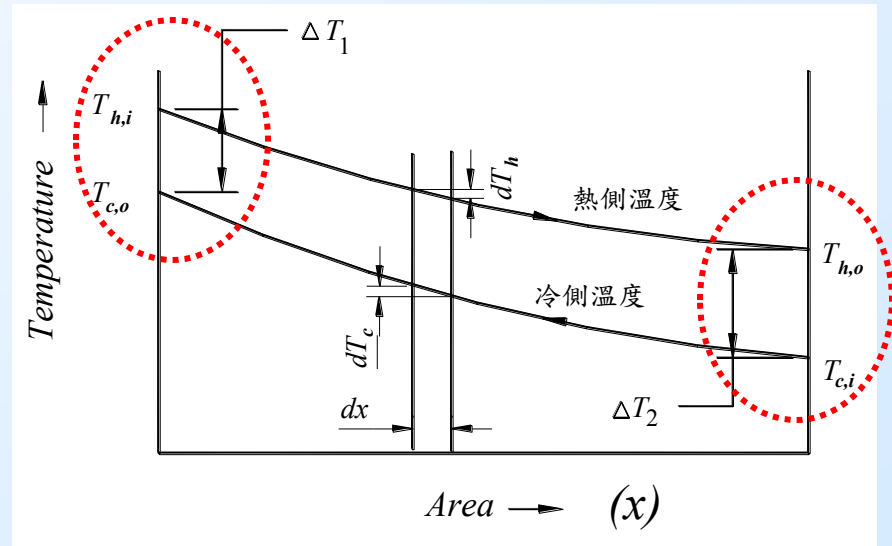
$$\dot{Q} = UA\Delta T_m$$

$$\Delta T_m = ?$$

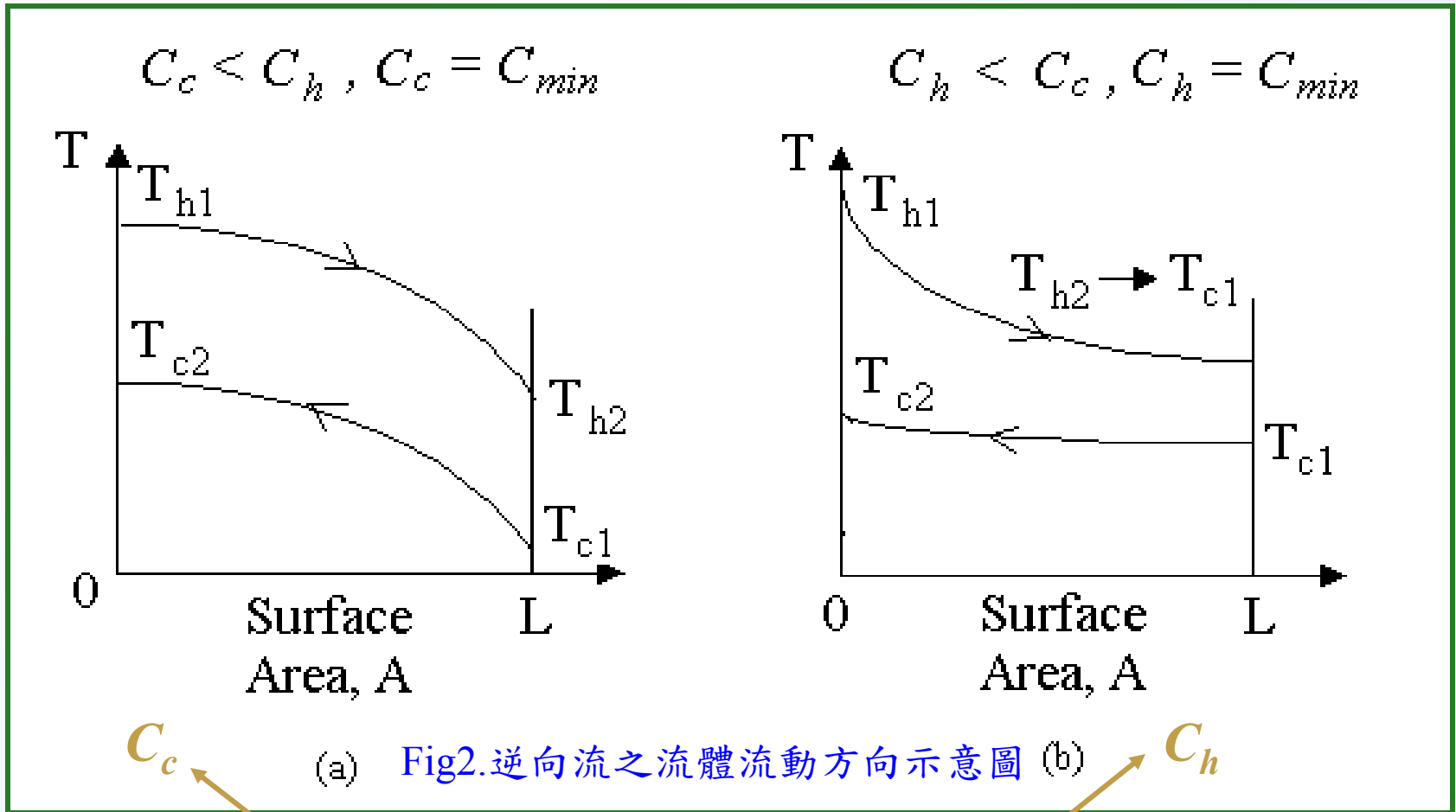
$$LMTD = \frac{(\Delta T_1 - \Delta T_2)}{\ln\left(\frac{\Delta T_1}{\Delta T_2}\right)} = \Delta T_m = \Delta T_{lm}$$

$$\Delta T_1 = (T_{h,i} - T_{c,o})$$

$$\Delta T_2 = (T_{h,o} - T_{c,i})$$



# Counter Flow heat exchanger



$C_c$

$C_h$

$$\dot{Q} = (\dot{m}C_{p,c})_c (T_{c,o} - T_{c,i}) = (\dot{m}C_{p,h})_h (T_{h,i} - T_{h,o})$$



➤ 定義 LMTD 
$$\Delta T_{lm} = \frac{\Delta T_1 - \Delta T_2}{\ln(\Delta T_1 / \Delta T_2)}$$

➤ The total heat transfer rate for all single-pass flow arrangements

$$\dot{Q} = UA\Delta T_{lm}$$

◆ 若是逆向流 (CF HX) ，且  $C_h = C_c$  ，

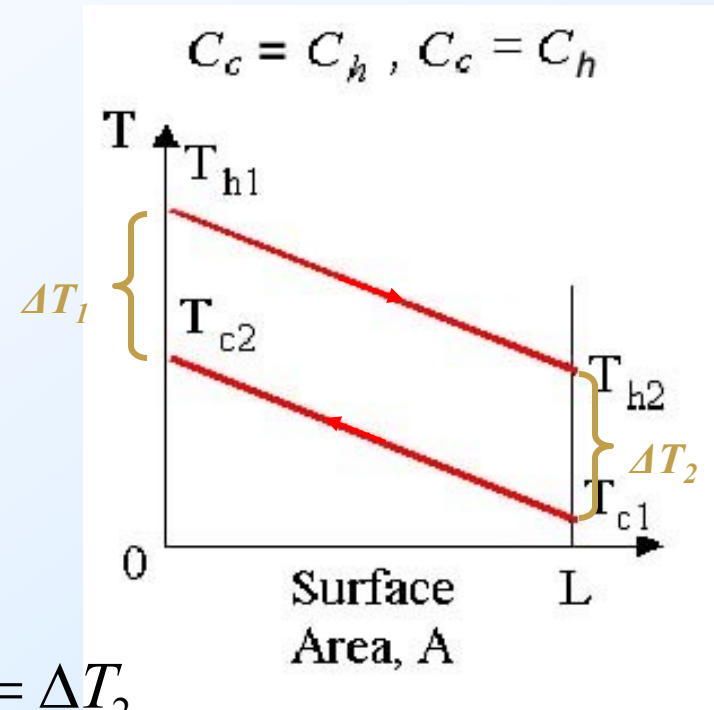
$$(T_{c,o} - T_{c,i}) = (T_{h,i} - T_{h,o}) \quad \text{and} \quad \Delta T_1 = \Delta T_2$$

因此熱傳量

$$\dot{Q} = UA(T_h - T_c) \quad \text{and} \quad (T_h - T_c) = \Delta T_1 = \Delta T_2$$

◆ 若是平行流 (PF HX)

$$\Delta T_1 = (T_{h,i} - T_{c,i}) \quad \Delta T_2 = (T_{h,o} - T_{c,o})$$



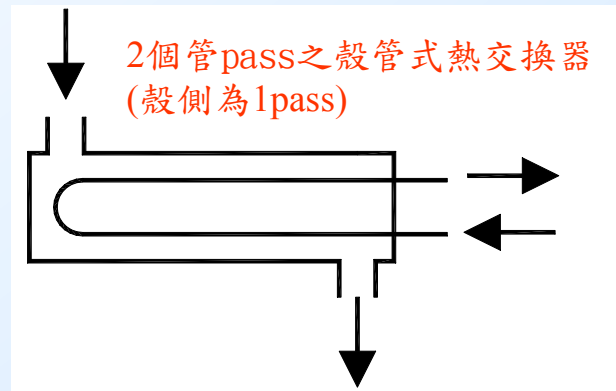
❑ 如果流動不是逆向流動時(例如 Multipass and Crossflow HX) ,  $\Delta T_m$  可證明等於  $\Delta T_{lm}$  再乘上一個校正係數  $F$  ,  $F$  值也可證明與流動型態及  $P$ 、 $R$  有關, 即  $F = F(\text{流動型態}, P, R)$

$$\dot{Q} = (UA)F(\Delta T_{lm,cf})$$

$$\Delta T_{lm,cf} = \frac{(T_{h,i} - T_{c,o}) - (T_{h,o} - T_{c,i})}{\ln\left(\frac{(T_{h,i} - T_{c,o})}{(T_{h,o} - T_{c,i})}\right)}$$

$$P = \frac{T_{c,o} - T_{c,i}}{T_{h,i} - T_{c,i}} = \frac{\Delta T_c}{\Delta T_{max}}$$

$$R = \frac{C_c}{C_h} = \frac{T_{h,i} - T_{h,o}}{T_{c,o} - T_{c,i}}$$



※  $F$  值小於 1  $\rightarrow$  for cross flow & multipass arrangement, 約為 0.9~1.0。

$F=1 \rightarrow$  For pure counterflow

# UA-LMTD-F Method(Cont.)

## F與P、R 間的關係圖

$$\begin{aligned} \dot{Q} &= (\dot{m}_c C_{pc})(T_{c,o} - T_{c,i}) \\ &= (\dot{m}_h C_{ph})(T_{h,i} - T_{h,o}) \end{aligned}$$

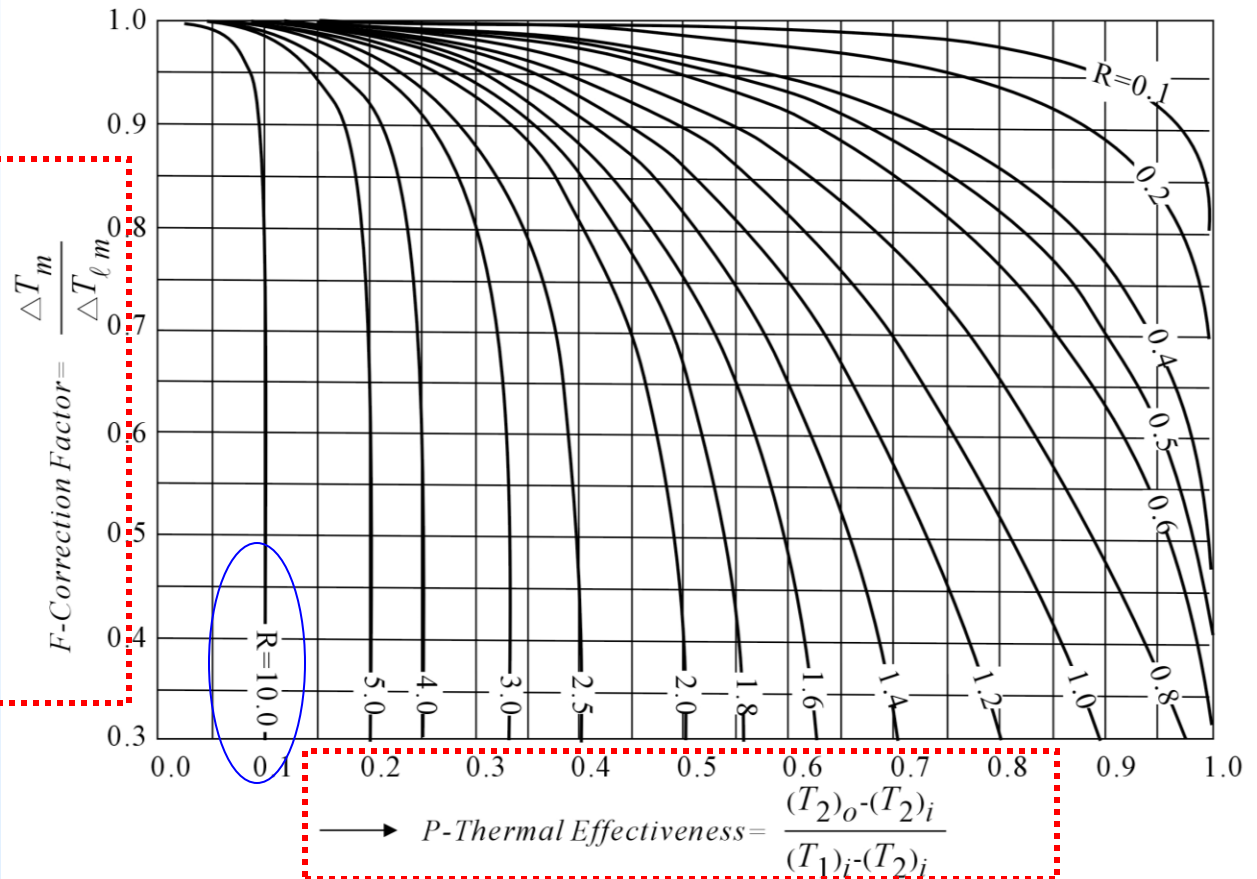
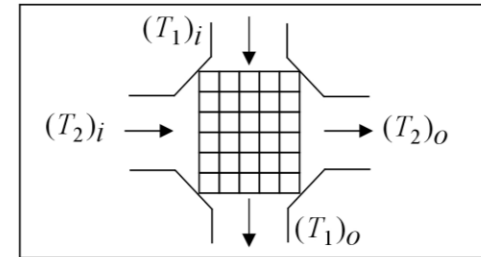
$$P = \frac{T_{c,o} - T_{c,i}}{T_{h,i} - T_{c,i}} = \frac{\Delta T_c}{\Delta T_{\max}}$$

$$R = \frac{C_c}{C_h} = \frac{T_{h,i} - T_{h,o}}{T_{c,o} - T_{c,i}}$$

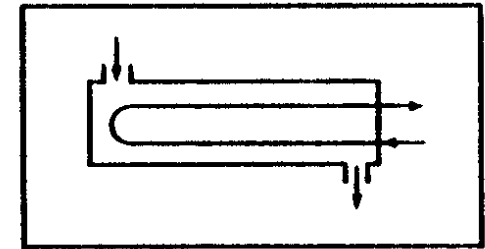
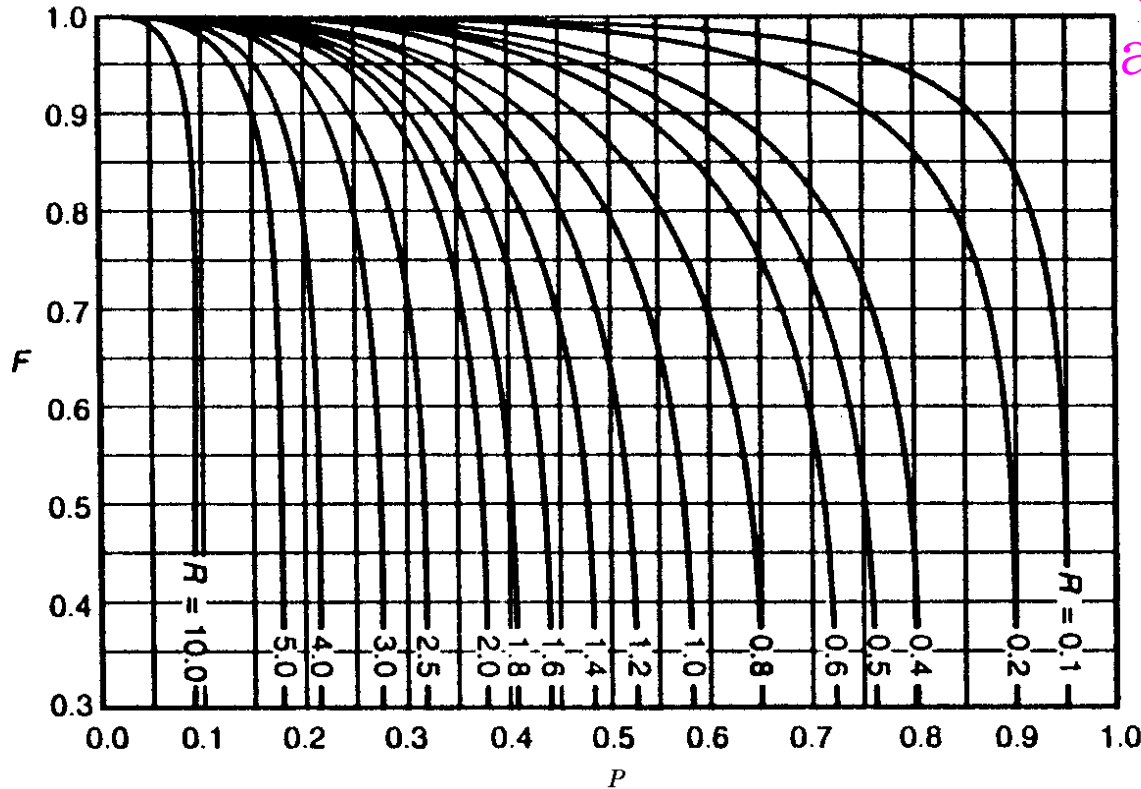
## F for Pure Cross Flow

$$R = \frac{C_2}{C_1} = \frac{(T_1)_i - (T_1)_o}{(T_2)_o - (T_2)_i}$$

$T_1$  and  $T_2$  are interchangeable



$F$ 與 $P$ 、 $R$  間的關係圖  
(one shell pass  
and two tube pass)



- LMTD correction factor  $F$  for a shell-and-tube heat exchanger – one shell pass and two or multiple of two tube passes

## $\varepsilon$ -NTU Method

- 首先定義熱流 (hot stream) 和冷流 (cold stream) 的熱容量 (heat capacity) :

$$C_h = (\dot{m}C_p)_h$$

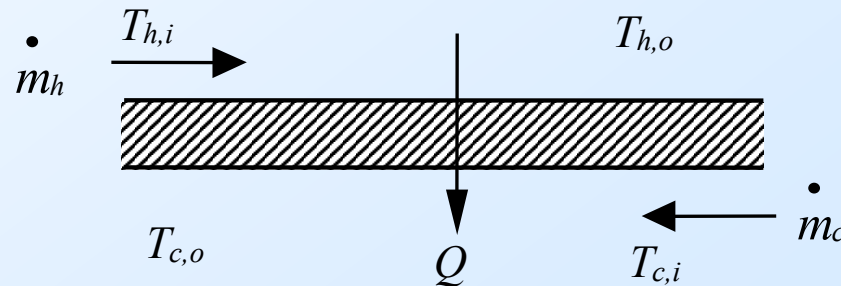
$$C_c = (\dot{m}C_p)_c$$

$C_{min}$  為兩者之間熱容量較小者

- 定義  $\varepsilon$  (effectiveness, 有效度) 與  $NTU$  (number of transfer unit, 傳遞單位), 有效度定義如下:

$$\varepsilon = \frac{\dot{Q}}{\dot{Q}_{max}}$$

其中  $Q$  為熱交換器實際熱交換量,  $Q_{max}$  為熱交換器在該操作條件下之最大可能熱交換量。



熱傳路徑示意圖

# What is $Q_{max}$ ?

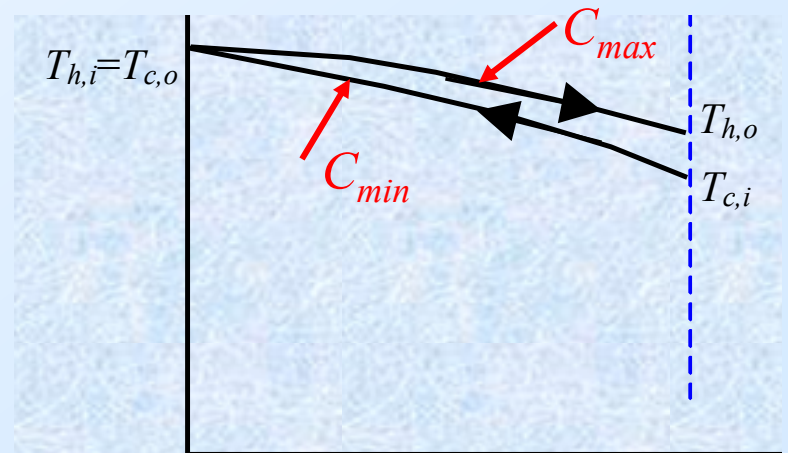
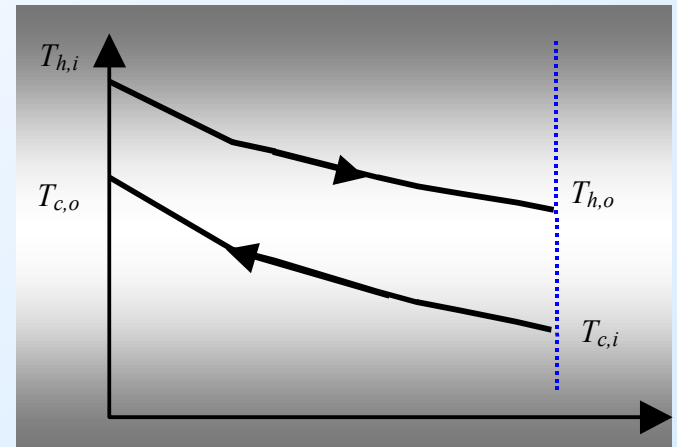
- 假設  $C_h = (\dot{m}C_p)_h$  較  $\dot{m}_c c_{p,c}$  為大，此時若我們漸漸增大熱交換器的面積，則冷側的出口溫度會逐漸地趨近熱側進口溫度，當熱交換器的面積趨近無窮大時，此時熱交換器的冷側出口溫度會等於熱側的進口溫度(溫度變化如圖所示)。因此，最大可能熱傳量為

$$\dot{Q}_{max} = C_{min} \Delta T_{max} = C_{min} (T_{hi} - T_{ci})$$

- 所以熱交換器的實際熱傳量為：

$$\dot{Q} = \epsilon \dot{Q}_{max} = \epsilon C_{min} (T_{h,i} - T_{c,i})$$

其中  $C_{min}$  為熱側與冷側流體，兩者之間熱容量(heat capacity)較小者。  
 $T_{h,i}$  和  $T_{c,i}$  分別為熱側和冷側流體的進口溫度。  
 $\epsilon$  稱為有效性 (effectiveness)。





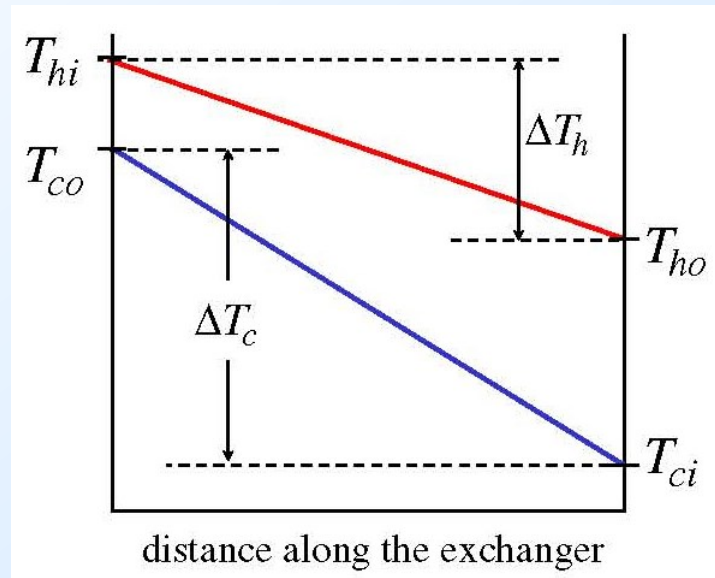
# What is $Q_{max}$ (Cont.)?

$$\dot{Q} = (\dot{m}C_{p,c})_c (T_{c,o} - T_{c,i}) = (\dot{m}C_{p,h})_h (T_{h,i} - T_{h,o})$$

其中  $C_c = (\dot{m}C_{p,c})_c$      $C_h = (\dot{m}C_{p,h})_h$

If  $C_c < C_h \Rightarrow (T_{c,o} - T_{c,i}) > (T_{h,i} - T_{h,o})$

If  $C_c > C_h \Rightarrow (T_{c,o} - T_{c,i}) < (T_{h,i} - T_{h,o})$



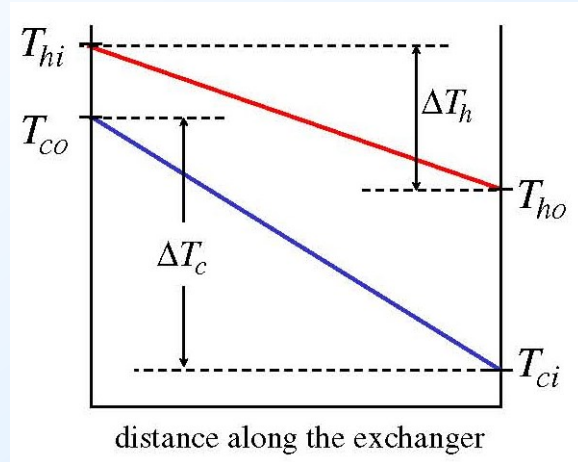


# What is $Q_{max}$ (Cont.)?

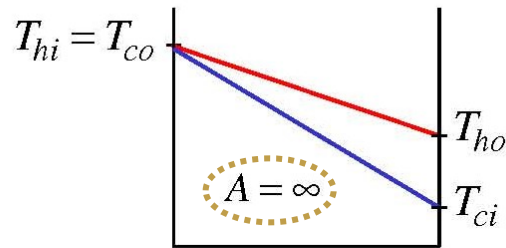
➤ **Case 1**  $\left\{ \begin{array}{l} (\dot{m}C_{p,c})_c < (\dot{m}C_{p,h})_h \\ \Delta T_c > \Delta T_h \end{array} \right.$  Cold fluid = minimum fluid

$$\dot{Q}_{max} = (\dot{m}c_{p,c})_c (T_{h,i} - T_{c,i})$$

if  $C_c < C_h$   $\xrightarrow{C_{mi}}$   
 $n$



If the heat exchanger were *perfect*,  $T_{hi} = T_{co}$



cold side:

this temperature difference only depends on inlet temperatures

distance along the exchanger

$$Q_{A=\infty} = (mC_p)_{cold} (T_{hi} - T_{ci})$$

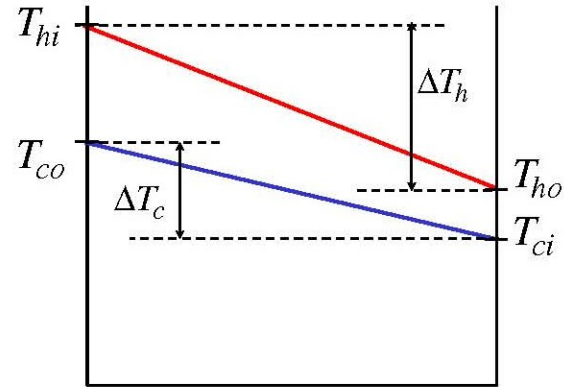


# What is $Q_{max}$ (Cont.)?

➤ Case2  $\left\{ \begin{array}{l} (\dot{m}C_{p,c})_c > (\dot{m}C_{p,h})_h \\ \Delta T_c < \Delta T_h \end{array} \right.$  *hot fluid = minimum fluid*

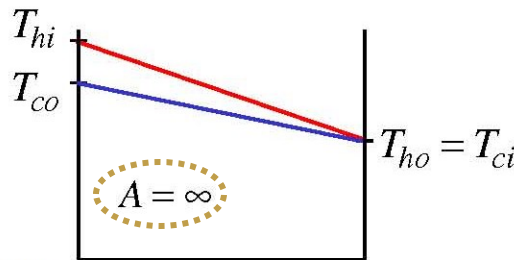
$$\dot{Q}_{max} = (\dot{m}c_{p,h})_h (T_{h,i} - T_{c,i})$$

if  $C_c > C_h$   $C_{mi}$



distance along the exchanger

If the heat exchanger were *perfect*,  $T_{hi} = T_{co}$



hot side:

this temperature difference only depends on inlet temperatures

distance along the exchanger

$$Q_{A=\infty} = (\dot{m}C_p)_{hot} (T_{hi} - T_{ci})$$



# What is $Q_{max}$ (Cont.)?

$$\left\{ \begin{array}{l} \dot{Q}_{\max} = (\dot{m}c_{p,c})_c (T_{h,i} - T_{c,i}) \quad \text{if } C_c < C_h \\ \dot{Q}_{\max} = (\dot{m}c_{p,h})_h (T_{h,i} - T_{c,i}) \quad \text{if } C_h < C_c \end{array} \right.$$

→  $\dot{Q}_{\max} = C_{\min} (T_{h,i} - T_{c,i})$

$$\dot{Q} = \varepsilon \dot{Q}_{\max} = \varepsilon C_{\min} (T_{h,i} - T_{c,i})$$

$\varepsilon$  (effectiveness, 有效度)

$$\varepsilon = \frac{\dot{Q}}{\dot{Q}_{\max}} = \frac{C_h (T_{h,i} - T_{h,o})}{C_{\min} (T_{h,i} - T_{c,i})} = \frac{C_c (T_{c,o} - T_{c,i})}{C_{\min} (T_{h,i} - T_{c,i})}$$



1.  $\varepsilon$  稱為有效性 (effectiveness)，任何形式之熱交換器， $\varepsilon$  可表示為  $NTU$  (傳遞單位，number of transfer units)、 $C^*$  ( $C_{min}/C_{max}$ )、和流體流動型態的函數

$$\varepsilon = \varepsilon(NTU, C^*, \text{流體流動型式})$$

2.

$$\dot{Q} = (\dot{m}C_{p,c})_c (T_{c,o} - T_{c,i}) = (\dot{m}C_{p,h})_h (T_{h,i} - T_{h,o}) = UA\Delta T_m$$

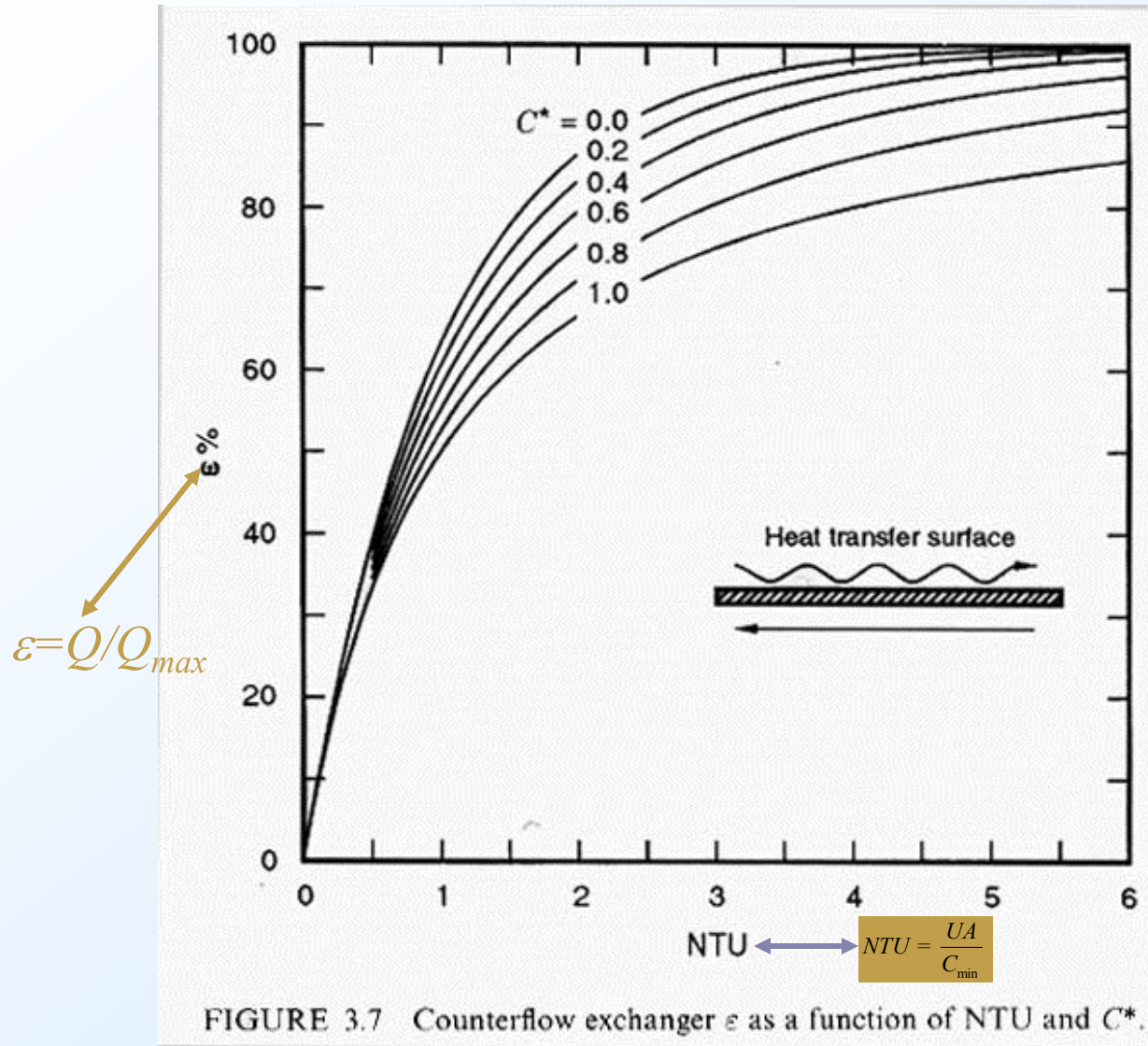
定義傳遞單位  $NTU$  為  $NTU \equiv UA/C_{min}$

其意義為熱交換器的熱傳性能的大小 (thermal size)；從定義上即可發現它是熱交換器的面積尺寸  $A$ 、總熱傳係數  $U$  與最小熱容量  $C_{min}$  的組合。

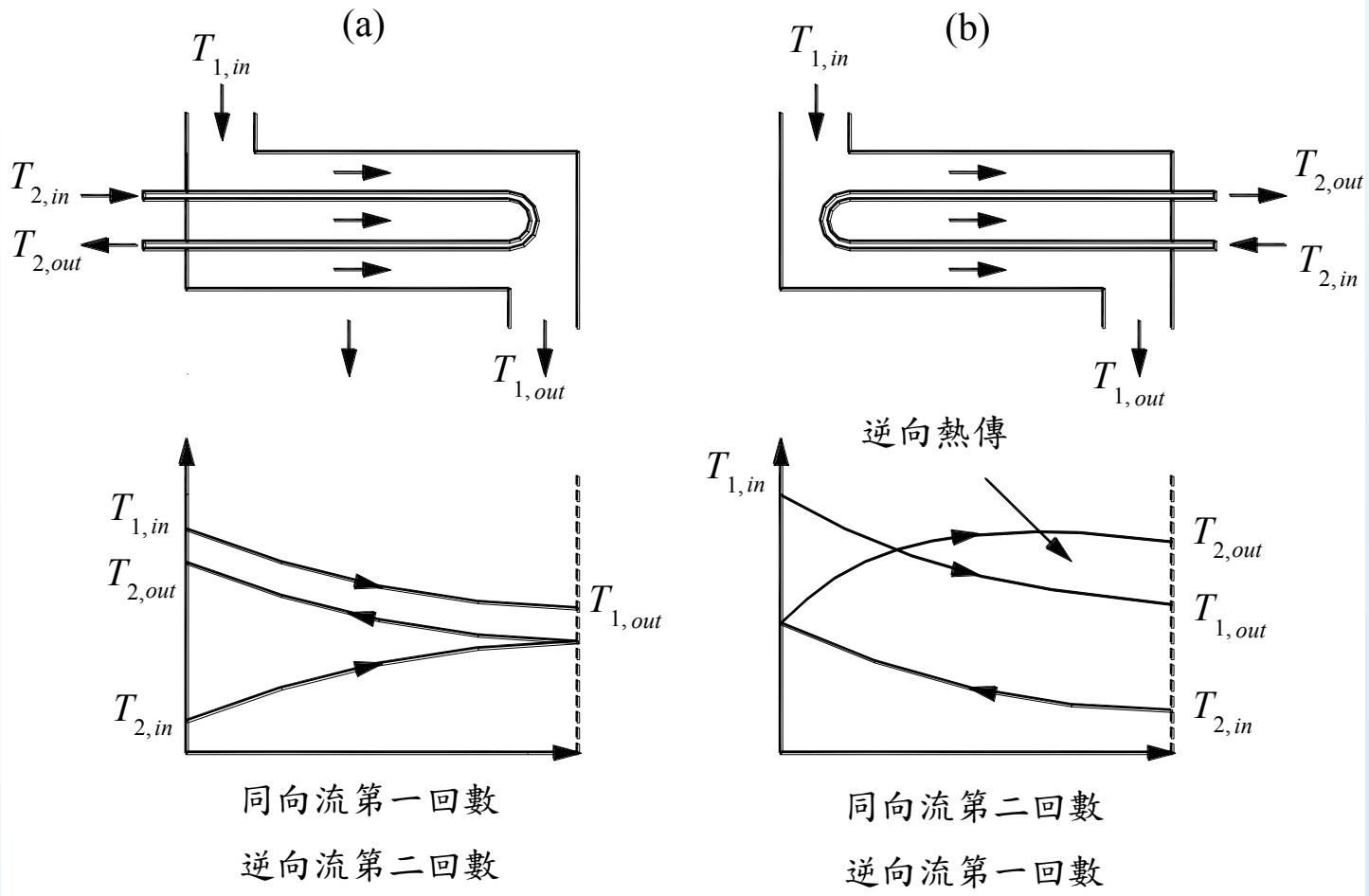
➤ 一般  $NTU$  一值在應用上多設計在  $0.0 \sim 4.0$  間；不過在許多密集式熱交換器上的  $NTU$  很可能仍會超過此一範圍。熱交換器的有效度  $\varepsilon$ ，通常會隨著  $NTU$  的增加而增加，而且增加到某個程度後，其增加幅度就會呈現飽和狀態，例如下圖A的逆向流動下  $\varepsilon$  與  $NTU$ 、 $C^*$  間的關係圖。

➤ 不過也有例外；在某些特殊的流動安排上， $\varepsilon$  會先增加再減少，例如圖B，由於熱量的逆向傳遞，當  $NTU$  大過一個值後， $NTU$  增加反而會降低  $\varepsilon$ ；這個特殊的結果告訴我們，一昧的增加熱交換器的面積不見得一定可以增加熱傳量，熱交換器的流動安排也是非常重要的因素，另外圖2-30(a) 中不會有熱量逆傳的現象。

圖A 逆向流動下，有效度與 NTU 間的關係圖



圖B 2-Pass殼管式熱交換器，溫度變化示意圖



➤ 一般而言，最後一個回數(pass)若與另一側流體保持逆向流動時，可避免熱量逆傳的現象



1. Capacity heat ratio  $C^*$ ，定義為  $C_{min}/C_{max}$ ，從定義上可知  $1 \geq C^* \geq 0$ ，若一個熱交換器中有一側牽涉到兩相蒸發(evaporation)或冷凝(condensation)，則  $C^*=0$ ，這是因為  $C = \dot{m}C_p$ ，而  $C_p = \left. \frac{\partial i}{\partial T} \right|_p$ ，在蒸發或冷凝的過程中溫度與壓力幾乎為一定值，所以  $C_p \equiv \left. \frac{\partial i}{\partial T} \right|_p \rightarrow \infty$ ，因此  $C^* \approx 0$ ；(想像一下，兩相蒸發或冷凝過程中，溫度保持不變，是否類似 heat sink 或 heat source? 故  $C_{max}$  為此有兩相流體的部分，而  $C_{min}$  就是另外的流體。)
- 若熱交換器中牽涉到兩相蒸發或冷凝的過程時，則此一熱交換器的有效度與 NTU 間的關係式將唯一決定(與熱交換器型式及流動型式無關)
- 若  $C^* \neq 0$ ，每一種型式的熱交換器都會有它的有效度與 NTU 間的關係圖，一般而言，合理的熱交換器設計點約在最大有效度的 95% 以內。



➤ Single pass heat exchanger  $C_c > C_h$

$$\Rightarrow C_h = C_{min} \text{ and } C_c = C_{max}$$

可以推得

$$\epsilon = \frac{1 - \exp[-NTU(1 - C_{min}/C_{max})]}{1 - (C_{min}/C_{max})\exp[-NTU(1 - C_{min}/C_{max})]}$$

(1). For  $C_{min}/C_{max}=1$  and Counter Flow  $\epsilon = \frac{NTU}{1 + NTU}$

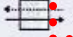





(2) .For  $C_{min}/C_{max}=1$  and Parallel Flow  $\epsilon = \frac{1}{2}(1 - e^{-2NTU})$

(3) For  $C_{min}/C_{max}=0$ , both CF and PF HXs  $\epsilon = 1 - e^{-NTU}$



## 有效度 $\epsilon$ 與 NTU 間的關係(公式計算)

TABLE 3.3  $\epsilon$ -NTU Formulas and Limiting Values of  $\epsilon$  for  $C^* = 1$  and  $NTU \rightarrow \infty$  for Various Exchanger Flow Arrangements

Flow Arrangement	$\epsilon$ -NTU Formulas	$\epsilon$ -NTU Formulas for $C^* = 1$	Asymptotic Value of $\epsilon$ When $NTU \rightarrow \infty$
 Counterflow	$\epsilon = \frac{1 - \exp[-NTU(1 - C^*)]}{1 - C^* \exp[-NTU(1 + C^*)]}$	$\epsilon = \frac{NTU}{1 + NTU}$	$\epsilon = 1$ for all $C^*$
 Parallelflow	$\epsilon = \frac{1 - \exp[-NTU(1 + C^*)]}{1 + C^*}$	$\epsilon = \frac{1}{2}[1 - \exp(-NTU)]$	$\epsilon = \frac{1}{1 + C^*}$
 Crossflow, both fluids unmixed	$\epsilon = 1 - \exp(-NTU) - \exp[-(1 + C^*)NTU] \sum_{n=1}^{\infty} C^{*n} P_n(NTU)$	Same as general formula with $C^* = 1$	$\epsilon = 1$ for all $C^*$
 Crossflow, one fluid mixed, other unmixed	$P_n(y) = \frac{1}{(n+1)!} \sum_{j=1}^n \frac{(n+1-j)}{j!} y^{n+j}$	For $C_{min}$ mixed, $C_{max}$ unmixed, $\epsilon = 1 - \exp\{-[1 - \exp(-NTU \cdot C^*)]/C^*\}$	For $C_{min}$ mixed, $\epsilon = 1 - \exp(-1/C^*)$
 Crossflow, both fluids mixed	For $C_{max}$ mixed, $C_{min}$ unmixed, $\epsilon = \frac{1}{C^*} (1 - \exp\{-C^*[1 - \exp(-NTU)]\})$	$\epsilon = 1 - \exp\{-[1 - \exp(-NTU)]\}$	For $C_{max}$ mixed, $\epsilon = [1 - \exp(-C^*)]/C^*$
 1-2 shell-and-tube exchanger; shell fluid mixed; TEMA E shell	$\epsilon = \frac{1}{\frac{1}{1 - \exp(-NTU)} + \frac{1}{1 - \exp(-NTU \cdot C^*)} - \frac{1}{NTU}}$	$\epsilon = \frac{1}{2/[1 - \exp(-NTU)] - 1/NTU}$	$\epsilon = \frac{1}{1 + C^*}$
	$\epsilon = \frac{2}{(1 + C^*) + (1 + C^{*2})^{1/2} \coth(\Gamma/2)}$ where $\Gamma = NTU(1 + C^{*2})^{1/2}$ $\coth(\Gamma/2) = (1 + e^{-\Gamma})/(1 - e^{-\Gamma})$	$\epsilon = \frac{2}{2 + \sqrt{2} \coth(\Gamma/2)}$ where $\Gamma = \sqrt{2} NTU$	$\epsilon = \frac{2}{(1 + C^*) + (1 + C^{*2})^{1/2}}$



有效度  $\epsilon$  與 NTU 間的關係(公式計算整理)

Type	$\epsilon(NTU, C^*)$	$NTU(\epsilon, C^*)$
Counter Flow	$\epsilon = \frac{1 - \exp\left[-(1 - C^*)NTU\right]}{1 - C^* \exp\left[-(1 - C^*)NTU\right]}$	$NTU = \frac{1}{1 - C^*} \ln\left(\frac{1 - \epsilon C^*}{1 - \epsilon}\right)$
Parallel	$\epsilon = \frac{1}{1 + C^*} \left[ 1 - \exp\left[-(1 + C^*)NTU\right] \right]$	$NTU = -\frac{1}{1 + C^*} \ln\left[1 + \epsilon(1 + C^*)\right]$
Cross flow, $C_{\min}$ mixed	$\epsilon = 1 - \exp\left[\frac{1 - \exp(-C^* NTU)}{C^*}\right]$	$NTU = -\frac{1}{C^*} \ln\left[1 + C^* \ln(1 - \epsilon)\right]$
Cross flow, $C_{\max}$ mixed	$\epsilon = \frac{1}{C^*} \left[ 1 - \exp\left\{-C^* \left[1 - \exp(-NTU)\right]\right\}\right]$	$NTU = -\ln\left[1 + \frac{1}{C^*} \ln(1 - \epsilon C^*)\right]$
1-2 shell-and-tube heat exchanger	$\epsilon = \frac{2}{1 + C^* + (1 + C^{*2})^{1/2} \frac{1 + \exp\left\{-NTU(1 + C^{*2})^{1/2}\right\}}{1 - \exp\left\{-NTU(1 + C^{*2})^{1/2}\right\}}}$	$NTU = \frac{1}{(1 + C^{*2})^{1/2}} \ln \frac{2 - \epsilon \left\{1 + C^* - (1 + C^{*2})^{1/2}\right\}}{2 - \epsilon \left\{1 + C^* + (1 + C^{*2})^{1/2}\right\}}$



# Summary for $\varepsilon$ -NTU & UA-LMTD-F

## UA-LMTD-F

$$\dot{Q} = (UA)F(\Delta T_{lm})$$

$$LMTD = \Delta T_{lm} = \frac{(\Delta T_1 - \Delta T_2)}{\ln\left(\frac{\Delta T_1}{\Delta T_2}\right)}$$

$$\Delta T_1 = T_{h,i} - T_{c,o}$$

$$\Delta T_2 = T_{h,o} - T_{c,i}$$

$$P = \frac{T_{c,o} - T_{c,i}}{T_{h,i} - T_{c,i}} = \frac{\Delta T_c}{\Delta T_{max}}$$

$$R = \frac{C_c}{C_h} = \frac{T_{h,i} - T_{h,o}}{T_{c,o} - T_{c,i}}$$

$$F = \text{fn}(P, R, \text{流體流動型式})$$

## $\varepsilon$ -NTU

$$\dot{Q} = \varepsilon(\dot{m}c_p)_{\min}(T_{h,i} - T_{c,i})$$

$$\varepsilon = \frac{\dot{Q}_{actual}}{\dot{Q}_{max}} = \frac{C_h(T_{h,i} - T_{h,o})}{C_{\min}(T_{h,i} - T_{c,i})} = \frac{C_c(T_{c,o} - T_{c,i})}{C_{\min}(T_{h,i} - T_{c,i})}$$

$$C^* = \frac{C_{\min}}{C_{\max}} = \frac{(\dot{m}c_p)_{\min}}{(\dot{m}c_p)_{\max}}, \quad (0 \leq C^* \leq 1)$$

$$NTU = \frac{UA}{C_{\min}}$$

$$\varepsilon = \text{fn}(NTU, C^*, \text{流體流動型式})$$



## Rating by $\varepsilon$ -NTU Method

1. 從已知的熱交換器幾何尺寸、操作條件(冷熱流體進口條件)、熱傳係數及流體輸送性質，冷熱流體出口狀態未知，來計算  $NTU$  與  $C^*$ 。

$$\Rightarrow NTU \equiv UA/C_{min}, C^* = C_{min}/C_{max}$$

2. 由已知的  $NTU$ 、 $C^*$  與流動型式；再根據相關的  $\varepsilon$ - $NTU$  的圖表或方程式來算出有效度  $\varepsilon$ 。  $\Rightarrow \varepsilon = \varepsilon(NTU, C^*, \text{流體流動型式})$

Note :  $0 < \varepsilon < 1$

3. 由  $\dot{Q} = \varepsilon \dot{Q}_{max} = \varepsilon C_{min} (T_{h,i} - T_{c,i})$ ，來算出熱交換量  $\dot{Q}$

$\Rightarrow \dot{Q} = C_h (T_{h,i} - T_{h,o}) = C_c (T_{c,o} - T_{c,i})$ ，然後可一併算出冷熱側之出口溫度如下：

$$T_{h,o} = T_{h,i} - \dot{Q} / C_h$$

$$T_{c,o} = T_{c,i} + \dot{Q} / C_c$$



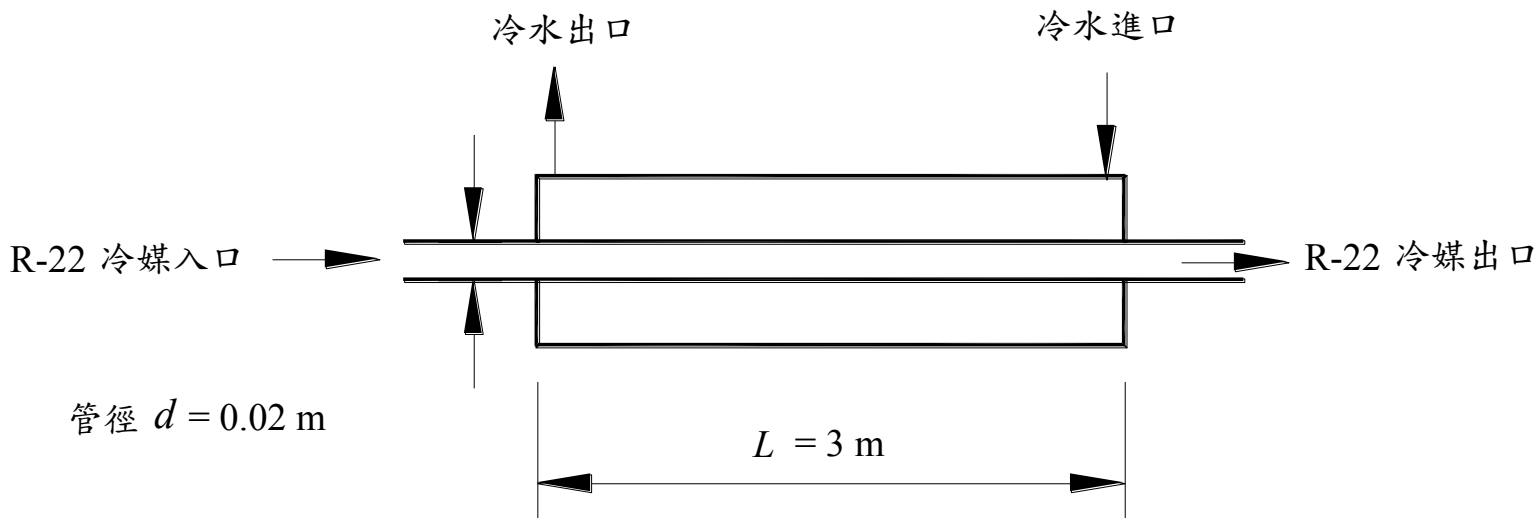
## Rating by UA-LMTD-F

1. 先猜一個熱側出口溫度 $T_{h,o}$ 或冷側出口溫度 $T_{c,o}$ 。
  2. 由 $R = C_c/C_h$ 算出R值。再由 $P = (T_{c,o} - T_{c,i}) / (T_{h,i} - T_{c,i})$ ，可算出P值。  
由熱側和冷側的進出口溫度得 $\Delta T_{lm}$ 。
  3. 由P、R值再搭配相關圖表或方程可得到校正因子F。
  4. 由  $\dot{Q} = (UA)F(\Delta T_{lm})$ ，算出熱傳量 $\dot{Q}$ 。
  5.  $\dot{Q}$ 值可推算出口溫度， $T_{h,o} = T_{h,i} - \dot{Q}/C_h$  或  $T_{c,o} = T_{c,i} + \dot{Q}/C_c$   
然後再比較此一出口溫度是否與原先假設一致？
  6. 若與假設值不同，則需重新假設熱側或冷側出口溫度，再重複步驟(2)-(5)，直至出口溫度相符合為止。
- Rating for UA-LMTD-F Method need to iterate a outlet temperature.



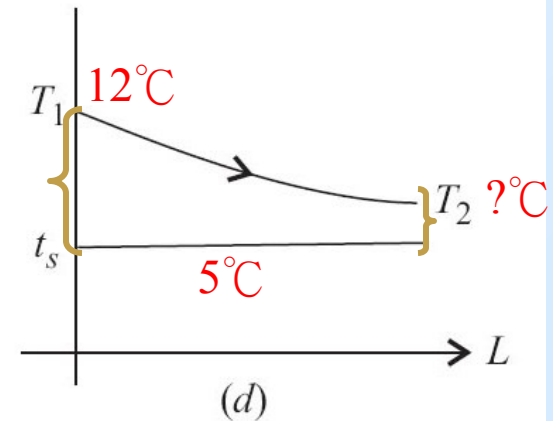
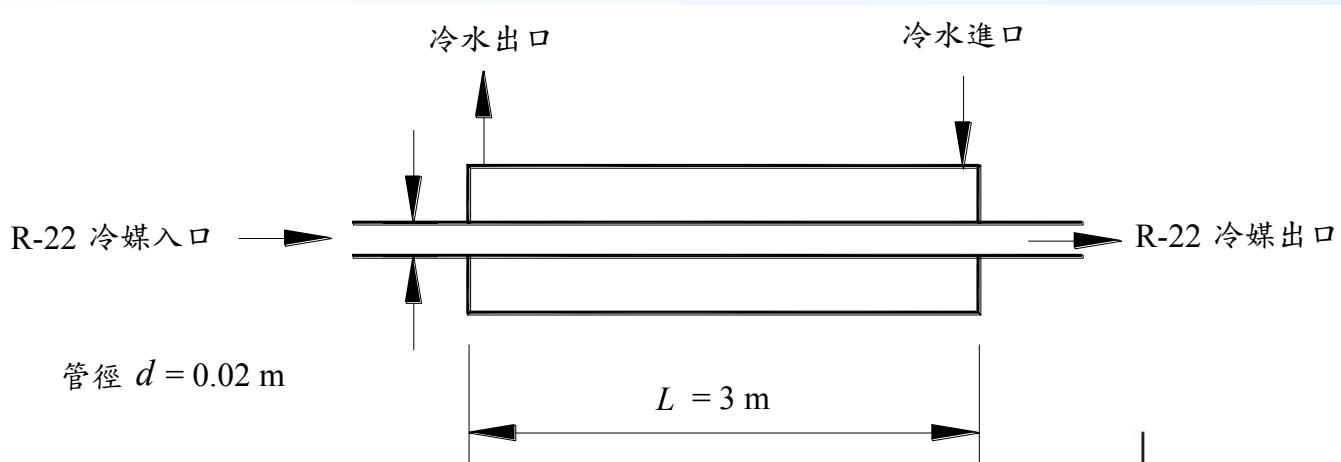
## 一個Rating計算實例

例題：一雙重管蒸發器，管內為R-22冷媒，其蒸發溫度為  $5\text{ }^{\circ}\text{C}$ ，環側為冷水，水入口溫度為  $12\text{ }^{\circ}\text{C}$ ，水流量為  $0.1\text{ kg/s}$ ，比熱為  $4180\text{ J/kg}\cdot\text{K}$ ，蒸發器之總熱傳係數  $U$  為  $2000\text{ W/m}^2\cdot\text{K}$ 。熱交換器總長度  $3\text{ m}$ ，管徑為  $2\text{ cm}$ ，試問冷水出口溫度為何？



## 一個Rating計算實例

例題：一雙重管蒸發器，管內為R-22冷媒，其蒸發溫度為  $5\text{ }^{\circ}\text{C}$ ，環側為冷水，水入口溫度為  $12\text{ }^{\circ}\text{C}$ ，水流量為  $0.1\text{ kg/s}$ ，比熱為  $4180\text{ J/kg}\cdot\text{K}$ ，蒸發器之總熱傳係數  $U$  為  $2000\text{ W/m}^2\cdot\text{K}$ 。熱交換器總長度  $3\text{ m}$ ，管徑為  $2\text{ cm}$ ，試問冷水出口溫度為何？





## A Rating Example

### (1) Solution By $UA-LMTD-F$

$$UA \cdot LMTD \cdot F = \dot{m}c_p \Delta T$$

Counter flow ,  $F = 1$

$$A = \pi \times 0.02 \times 3 = 0.189 \text{ m}^2$$

$$\Delta T_1 = 12 - 5 = 7 \text{ }^\circ\text{C}$$

$$\Delta T_2 = x - 5 \text{ (assume outlet water is } x \text{ }^\circ\text{C)}$$

$$LMTD = \frac{\Delta T_1 - \Delta T_2}{\ln\left(\frac{\Delta T_1}{\Delta T_2}\right)} = \frac{7 - (x - 5)}{\ln\left(\frac{7}{x - 5}\right)}$$

$$2000 \times 0.189 \times \frac{12 - x}{\ln\left(\frac{7}{x - 5}\right)} = 0.1 \times 4180 \times (12 - x)$$

$$\ln \frac{7}{x - 5} = 0.9043 \rightarrow x = 7.83 \text{ }^\circ\text{C}$$

$$\begin{aligned} \dot{Q} &= 0.1 \times 4180 \times (12 - 7.83) \\ &= 1741.6 \text{ W} \end{aligned}$$

### (2) Solution by $\varepsilon-NTU$

$$C_{min} = 0.1 \times 4180 = 418 \text{ W/K}$$

$$NTU = \frac{UA}{C_{min}} = \frac{2000 \times 0.189}{418} = 0.9043$$

$$C^* = \frac{C_{min}}{C_{max}} = 0$$

$$\varepsilon = 1 - \exp(-NTU) = 0.5952$$

$$\dot{Q}_{max} = C_{min} \Delta T_{max} = 418 \times (12 - 5) = 2926 \text{ W}$$

$$\dot{Q} = \varepsilon \dot{Q}_{max} = 0.5952 \times 2926 = 1741.6 \text{ W}$$

$$T_{c,out} = 12 - 1741.6 / 418 = 7.83 \text{ }^\circ\text{C}$$

結論：

不管是使用  $UA-LMTD-F$  或  $\varepsilon-NTU$  法，其計算結果應相同。



## Sizing Problem

### Sizing by UA-LMTD-F

1. 由於熱傳量  $Q$  為已知，故可算出出口溫度、 $P$  與  $R$  值。
2. 由  $P$ 、 $R$  算出該設計條件的校正因子  $F$ 。
3. 由端點溫度算出對數平均溫差  $LMTD$ ； $\Delta T_{lm}$ 。
4. 由  $A=Q/(UF\Delta T_{lm})$ ，算出所需要的熱交換器面積。

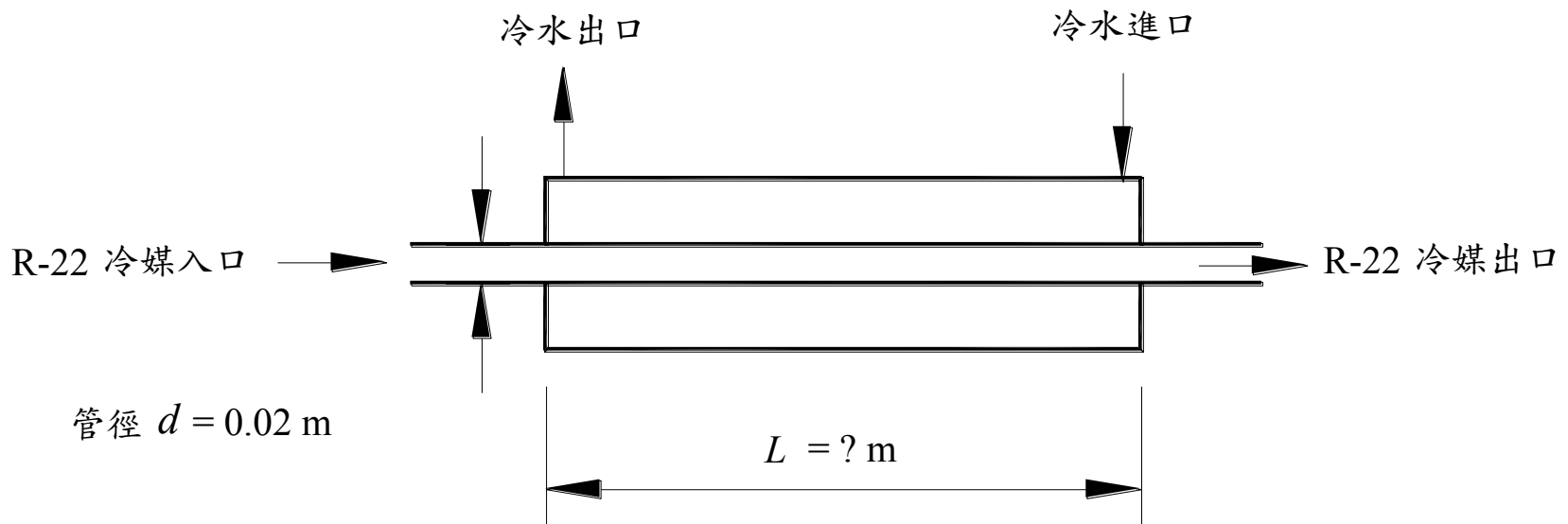
### Sizing by $\varepsilon$ -NTU Method

1. 由於熱傳量  $Q$  為已知，故可算出熱側出口溫度  $T_{h,o}$  和冷側出口溫度  $T_{c,o}$  與  $\varepsilon=Q/Q_{max}$ ，同時也算出  $C^*=C_{min}/C_{max}$ 。
2. 根據已知的  $\varepsilon$ -NTU 的關係式，可算出此一設計點的 NTU 值(可能需要疊代)。
- 3 由  $A=NTU \cdot C_{min}/U$ ，算出所需要的熱交換器面積。



## 一個Sizing計算實例

例題：雙重管蒸發器，管內為R-22冷媒，其蒸發溫度為  $5\text{ }^{\circ}\text{C}$ ，環側為冷水，水流量為  $0.1\text{ kg/s}$ ，水入出口溫度分別為  $12\text{ }^{\circ}\text{C}$  與  $7\text{ }^{\circ}\text{C}$ ，比熱為  $4180\text{ J/kg}\cdot\text{K}$ ，蒸發器之總熱傳係數  $U$  為  $2000\text{ W/m}^2\cdot\text{K}$ 。試問雙重管熱交換器的長度要多長才足以滿足此一條件？





## A Sizing Example

### (1) Solution By $UA-LMTD-F$

$$Q = \dot{m}c_p\Delta T = 0.1 \times 4180 \times (12 - 7) = 2090 \text{ W}$$

$$UA \cdot LMTD \cdot F = \dot{m}c_p\Delta T$$

$$\Delta T_1 = 12 - 5 = 7 \text{ }^\circ\text{C}$$

$$\Delta T_2 = 7 - 5 = 2 \text{ }^\circ\text{C}$$

$$LMTD = \frac{\Delta T_1 - \Delta T_2}{\ln\left(\frac{\Delta T_1}{\Delta T_2}\right)} = \frac{7 - 2}{\ln\left(\frac{7}{2}\right)} = 3.99 \text{ }^\circ\text{C}$$

counterflow,  $F = 1$

$$\therefore UA \cdot LMTD = \dot{Q}$$

$$A = \dot{Q} / LMTD / U$$

$$= 2090 / 3.99 / 2000 = 0.2618 \text{ m}^2$$

$$A = \pi \times 0.02 \times L \Rightarrow L = 4.167 \text{ m}$$

### (2) Solution by $\varepsilon-NTU$

$$Q = \dot{m}c_p\Delta T = 0.1 \times 4180 \times (12 - 7) = 2090 \text{ W}$$

$$C_{min} = 0.1 \times 4180 = 418 \text{ W/K}$$

$$\dot{Q}_{max} = C_{min}\Delta T_{max} = 418 \times (12 - 5) = 2926 \text{ W}$$

$$\varepsilon = \frac{\dot{Q}}{\dot{Q}_{max}} = \frac{2090}{2926} = 0.7143 \quad , \text{ Also}$$

$$\varepsilon = 1 - \exp(-NTU) = 0.7143$$

$$\therefore NTU = -\ln(1 - \varepsilon) = -\ln(1 - 0.7143) = 1.253$$

$$NTU = \frac{UA}{C_{min}} \Rightarrow A = \frac{NTU \times C_{min}}{U} = \frac{1.253 \times 418}{2000} = 0.2618$$

$$A = \pi \times 0.02 \times L \Rightarrow L = 4.167 \text{ m}$$

結論：

不管是Rating或Sizing使用  
 $UA-LMTD-F$  或  $\varepsilon-NTU$  法，其  
計算結果應相同。

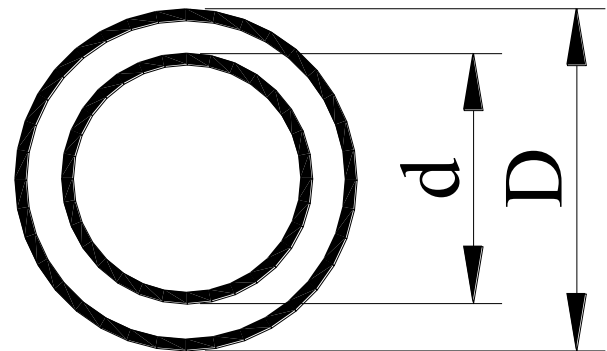


1.  $\varepsilon$ -NTU 法為完全無因次化。
2.  $\varepsilon$  代表能量的效率， $\varepsilon$  較高代表熱交換器的熱傳效率指標較高， $F$  值則否，較大的  $F$  值代表流動型式較接近逆向流，並不代表其效率較高。
3. 使用  $\varepsilon$ -NTU 法時，使用者必須隨時掌握  $C_{min}$  究竟在熱側或冷側。
4.  $\varepsilon$ -NTU 圖表較  $F$  圖表容易查詢。
5. 在rating時，使用UA-LMTD-F法需要疊代， $\varepsilon$ -NTU法則不需要。
6. 在sizing時，UA-LMTD-F較直接，由於熱傳量與進出口溫度均為已知，所以熱交換器面積可以較為迅速的算出，即 $A = Q/(UF\Delta T_{lm})$ 。

# 換你了...

- Sizing case: (假設管壁厚度為1.5 mm)
  - 同Rating case，但管內外側工作流体為水，入口溫度同樣為12 °C與5°C，管內外水流分別為1 kg/s & 2 kg/s，熱水出口溫度為7°C，假設U 仍為2000 W/m<sup>2</sup>·K，則熱傳管長度為何？
  - 如果僅知水量為 0.2 kg/s & 0.4 kg/s，則長度為何？(該如何估算U?)
  - 這個設計好嗎？(從 $\epsilon$ -NTU chart)

$D_o = 3 \text{ cm}$   
 $d_o = 2 \text{ cm}$  管壁厚度 = 1.5 mm





**END of  
the First Talk,  
Questions?**